



SOLCA
Sociedad de Lucha Contra
el Cáncer del Ecuador
1951

Cáncer en Guayaquil, 2016

REGISTRO DE TUMORES SOLCA - GUAYAQUIL

Dr. Juan Tanca Campozano
Dr. Jhony Real Cotto
Ing. Leyda Jaramillo Feijoo

PRODUCCIÓN

Registro de Tumores SOLCA Matriz - Guayaquil

EDITORES

Dr. Juan Tanca Campozano

Dr. Jhony Real Cotto

Ing. Leyda Jaramillo Feijoo

COLABORACIÓN

Dr. Gonzalo Puga Peña

8va. Publicación

Guayaquil – Ecuador

Marzo de 2022

Consejo Directivo Nacional Sociedad de Lucha contra el Cáncer del Ecuador SOLCA

Ing. José Ramón Jouvín Vernaza
Presidente

Sr. Francisco Xavier Solá Tanca
Vicepresidente

Ab. César Ignacio Drouet Candel
Síndico

Ing. Olmedo Xavier Ycaza Ruperti
Secretario

Dr. Guillermo Alejandro Paulson Vernaza
Sub-Secretario

Sra. Mirabel María Estrada de Suarez
Presidenta Comité de Damas

Miembros del Consejo Directivo Nacional

Dr. Juan Pablo Tanca Campozano

Ing. José Luis Suárez Arosemena

Dr. Gabriel Abelardo Rovayo Vera

Dr. Ramón Eduardo Villacreses Peña

Dr. Juan Diego Peña Carrasco

Ing. José Antenor Macchiavello Almeida

Dr. Luis Antonio Plaza Febres-Cordero

Ing. Carlos Alberto Andrade González

Abg. María Caterina Costa von Buchwald

Dr. Carlos Ernesto Ortega Maldonado

Ing. Juan Antonio González Portes

Dr. Lenín Eduardo Salmon Alvarado

Ing. Bruno Antonio Leone Pignataro

Ing. Sixto Domingo Cuesta Compán

Sr. Francisco José Manfredi Trullas

Dr. Oswaldo José Molestina Zavala

Ing. Fernando Vicente Jiménez Carbo

Dignidades de SOLCA Matriz Guayaquil

Presidente: Ing. José Jouvín Vernaza

Presidente Consejo Hospitalario: Dr. Ramón Villacreses Peña

Gerente General: Ing. Ernesto Burbano De Lara Plaza

Gerente Hospitalario: Dr. Gonzalo Puga Peña

Director Médico: Dr. Guido Panchana Egüez

**REGISTRO DE TUMORES SOLCA GUAYAQUIL
DEPARTAMENTO DE BIOESTADÍSTICA**

DIRECTOR DE REGISTRO DE TUMORES
Dr. Juan Tanca Campozano, Esp.

JEFE DE DEPARTAMENTO DE BIOESTADÍSTICA
Dr. Jhony Real Cotto, PhD.

JEFE DE GESTIÓN DE LA INFORMACIÓN Y PRODUCTIVIDAD
Ing. Leyda Jaramillo Feijoo, MSc.

REGISTRADORES

Sr. Ronny Toaza Cepeda
Econ. Mariuxi Quimís Marcillo
Sr. Rolando Guamán Zamora

ANALISTAS ESTADÍSTICOS

Ing. Ana Roha Ochoa
Ing. Jackeline Herrera Pacheco

AGRADECIMIENTO

Nuestro profundo agradecimiento a toda Red Pública Integral de Salud y la Red Complementaria de Salud, conformada por: hospitales y clínicas; así como al Instituto Nacional de Estadísticas y Censos INEC, Médicos Especialistas y personal que no constan en este listado, pero que de manera desinteresada colaboran con el Registro de Tumores, que proporcionan la información de los casos de cáncer y que se ve reflejada en este informe.

¡A Ustedes muchas gracias!

Patólogos

Dra. Andrade Rendon Jessica
Dra. Auncancela Sánchez Jinna
Dra. Bautista Litardo Mariana
Dr. Camacho Alvares Fernando
Dr. Castillo Rodríguez Abel
Dr. Cedeño Navarrete Carlos
Dra. Cevallos De Sánchez María Elena
Dr. Cozarelli Mera Cellini
Dra. Díaz Cevallos Linda
Dr. Estrada Morales Allan
Dr. Franco Estrella Walter
Dr. Garcés Santos Juan Carlos
Dra. Guerrero Cedeño Maritza
Dr. Hidrovo Barreiro Rubén
Dra. Jurado Barahona Kerly
Dra. Kuri González Margarita
Dr. Ledesma Lavayen Mauricio
Dr. Leone Stay Aldo
Dr. Loayza Sánchez Enrique
Dr. Mendoza Moran José
Dr. Miranda Vargas Freddy
Dra. Moran Pareja Eufemia
Dra. Noboa Cercado Andrea
Dra. Nuques Martínez María
Dra. Pérez Cepeda Carolina
Dr. Pérez Merizalde Juan
Dr. Plaza Vélez Luis Enrique
Dr. Ramírez Gaona Alex
Dra. Ramírez Rosero Ana
Dra. Rodas Suarez Patricia
Dra. Romero Coronel Aurora
Dra. Romero García Nelly
Dr. Rubio Coronel Gustavo
Dr. Rubio Sotomayor Alfonso
Dra. Saltos Viteri Diana
Dra. Sánchez Jaramillo Gianella
Dr. Solórzano José Luis
Dra. Soria Arteaga Laura
Dra. Triana Castro Tania
Dra. Urrea Terán Isabel
Dra. Van Isschot De Leone Monserrathe
Dr. Von Buchwald Jervis Carlos

Clínicas

Alborada
Alcívar
Alfa
Altamirano Barcia
Aprofe
Cemoplaf
Domínguez
Fiallos
Galeno
Génesis
Gentile
Gil
Guayaquil
Idrovo
Kennedy
Kennedy Norte
Moderna
Ortiz
Panamericana
Parker
Pasteur
Pediátrica
Proaño
Rendón
San Francisco
San Gabriel
San Marcos
Sánchez Villalta
Santa Ana
Santa Marianita
Sotomayor
Sudamericana
Tamayo Ortega
Universitario
Urdenor
Vargas Ortega
Omni Hospital
Sur Hospital

Instituciones

Coordinación Zonal 8 - Salud
Fuerzas Armadas del Ecuador
Instituto Ecuatoriano de Seguridad Social
Instituto Nacional Estadísticas y Censos del Ecuador
Junta de Beneficencia de Guayaquil
Ministerio de Gobierno del Ecuador
Ministerio de Salud Pública del Ecuador
Registro Civil del Guayas
Sociedad de Lucha Contra el Cáncer del Ecuador
Sociedad Protectora de la Infancia de Guayaquil

Hospitales

Del Niño "Dr. Francisco de Icaza Bustamante"	Ministerio de Salud Pública del Ecuador
Del niño "Dr. Roberto Gilbert Elizalde"	Junta de Beneficencia de Guayaquil
General "Luis Vernaza"	Junta de Beneficencia de Guayaquil
De la mujer Alfredo G. Paulson"	Junta de Beneficencia de Guayaquil
Guayaquil "Abel Gilbert Pontón"	Ministerio de Salud Pública del Ecuador
Infectología "José Rodríguez Maridueña"	Ministerio de Salud Pública del Ecuador
Instituto Nacional de Investigación en Salud Pública "Leopoldo Izquieta Pérez"	Ministerio de Salud Pública del Ecuador
Instituto Oncológico Nacional "Dr. Juan Tanca Marengo"	Sociedad de Lucha Contra el Cáncer Sociedad
León Becerra	Sociedad Protectora de Infancia de Guayaquil
Materno Infantil del Guasmo "Matilde Hidalgo de Procel"	Ministerio de Salud Pública del Ecuador
Naval	Fuerzas Armadas del Ecuador
Neumológico "Alfredo J. Valenzuela"	Ministerio de Salud Pública del Ecuador
Policía Nacional G-2	Ministerio de Gobierno del Ecuador
Psiquiátrico "Instituto de Neurociencias"	Junta de Beneficencia de Guayaquil
Regional "Teodoro Maldonado Carbo"	Instituto Ecuatoriano de Seguridad Social
Territorial	Fuerzas Armadas del Ecuador
Universitario	Ministerio de Salud Pública del Ecuador
Del Día "Dr. Efrén Jurado"	Instituto Ecuatoriano de Seguridad Social
Madre Berenice.	Red de Dispensarios Médicos de la Arquidiócesis de Guayaquil
Sagrada Familia	Privado

CONTENIDO

Introducción	1
Metodología	2
Pirámide poblacional de guayaquil.	4
Pirámide poblacional de guayaquil. 2016.....	5
Comparación de pirámide poblacional de guayaquil.....	6
Resumen de todas las localizaciones de cáncer, residentes en la ciudad de guayaquil. 2016	7
Todos los sitios	8
Tumores en todos los sitios: ranking, tasas y porcentaje	9
Tumores en todos los sitios menos piel: ranking, tasas y porcentaje	10
Principales localizaciones de cáncer, residentes en la ciudad de guayaquil. 2016.....	11
Estómago	12
Colon	13
Recto	14
Hígado.....	15
Bronquios y pulmón	16
Piel	17
Mama.....	18
Cuello del útero.....	19
Cuerpo del útero	20
Ovario.....	21
Próstata.....	22
Riñon	23
Encéfalo.....	24
Tiroides.....	25
Linfoma no hodgkin.....	26
Leucemias.....	27
Cáncer infantil residentes en la ciudad de guayaquil. 2016	28
Cáncer infantil de 0 a 19 años	29
Cáncer infantil de 0 a 19 años: gráficos según diagnóstico	30
Anexos.....	31
Tasas de incidencia del cáncer infantil de 0 a 19 años en niños. Residentes en guayaquil.....	32
Tasas de incidencia del cáncer infantil de 0 a 19 años en niñas. Residentes en guayaquil	32
Número de casos según tipo de cancer y grupo etario en hombres residentes de guayaquil. Año 2016.....	33
Número de casos según tipo de cancer y grupo etario en mujeres residentes de guayaquil. Año 2016.....	35
Tasas de incidencia según tipo de cáncer y grupo etario en hombres residentes de guayaquil. Año 2016.....	37
Tasas de incidencia según tipo de cáncer y grupo etario en mujeres residentes de guayaquil. Año 2016.....	39
Localización topográfica según diagnóstico histológico y sexo. Residentes en guayaquil 2016	41
Incidencia de cáncer determinado por institución y por sexo.....	51
Trabajos, pósteres y contribuciones científicas realizadas	52

INTRODUCCIÓN

La Sociedad de Lucha Contra el Cáncer - SOLCA y sus núcleos, son los responsables del registro de las neoplasias en el Ecuador; por el cual, se tienen sistemas de vigilancia que recolectan, almacenan, procesan y analizan de forma continua y sistemática datos sobre los casos de cáncer que se producen en una población, estos son los denominados "Registros de Tumores".

Los registros de cáncer de base poblacional, recolectan en forma continua y sistemática todos los casos nuevos de cáncer que se diagnostican entre los habitantes de un área geográfica bien definida a partir de una fecha determinada; y como producto final se efectúan estas publicaciones.

El Ministerio de Salud Pública a finales del año 2011 inició un proceso de desarrollo de un Sistema Integrado de Vigilancia Epidemiológica cuyo objetivo es proveer información necesaria a los actores de todos los niveles de salud para planificar y evaluar el impacto de sus intervenciones.

En Guayaquil el registro de tumores depende de SOLCA Matriz; es de anotar, que esta ciudad se localiza en la costa del Pacífico del Ecuador, se divide en 16 parroquias urbanas, y 10 distritos; siendo la ciudad con mayor densidad poblacional en el país y capital de la provincia del Guayas.

Con la investigación epidemiológica realizada de carácter observacional, se puede describir con exactitud la residencia del caso investigado y se construyen indicadores con mayor precisión; contribuyendo a la vigilancia epidemiológica y por ende al mejoramiento en la respuesta de la prestación de servicios de salud, que constituye

la segunda función esencial de la salud pública, reportándose al Ministerio de Salud Pública del Ecuador.

El Registro en Guayaquil inicia sus actividades en 1990 hasta la actualidad, aportando en este tiempo con 8 publicaciones las cuales han comprendido periodos de estudios de: 1990 a 1996, 1997 a 2000, 2001 a 2002, 2003 a 2006, 2007 a 2009, 2010 a 2014, 2015 y esta última 2016.

En este año se mantiene la relación de aproximadamente de 0,97 / 1 (hombres / mujeres).

Siguiendo la comparación de los tres últimos periodos de publicación, es decir 1999 a 2002; 2003 a 2006; 2007 a 2009, 2010 a 2014, 2015 y del 2016 se observa lo siguiente:

Aunque la relación se mantiene en el porcentaje de cáncer por sexo, en las diferentes localizaciones no se presentan de forma igual; este último año los cánceres con mayor frecuencia en **hombres** fueron: (C44) Piel no Melanoma, seguido de (C61) Tumor maligno de Próstata; (C16) Tumor maligno de Estómago; (C42) Sistema hematopoyético y reticuloendotelial; (C34) Tumor maligno de los Bronquios y del Pulmón; (C18) Tumor maligno de Colon - Recto; entre otros.

En cuanto a los Tumores en las **mujeres** se tuvo al (C50) Tumor maligno de Mama, seguido de (C44) Piel no Melanoma; (C53) Tumor maligno de Cuello de Útero Invasor; (C16) Tumor maligno de Estómago; (C42) Sistema hematopoyético y reticuloendotelial; (C73) Tumor maligno de la Glándula Tiroides; entre otros.

Dr. Juan Tanca Campozano
Director del Registro de Tumores SOLCA Guayaquil

METODOLOGÍA

El Registro de Tumores de SOLCA, es un registro de base poblacional y su área geográfica es la ciudad de Guayaquil.

La metodología consiste en una recolección activa de casos de cáncer diagnosticados en las distintas fuentes de información, tales como: laboratorios de patología, hematología, citología, establecimientos de salud públicos y privados, donde los registradores revisan las historias clínicas para completar los datos clínicos y demográficos del paciente. Además, se visitan otras fuentes de información, tales como: Instituto Nacional de Estadísticas y Censos INEC, para los egresos hospitalarios y certificados de defunción.

El análisis de la información se realiza a través de las medidas epidemiológicas: proporción, porcentaje, tasas de incidencia (cruda, específicas por edad, estandarizada, truncada). Además de indicadores de calidad razón incidencia/mortalidad, porcentaje de casos conocidos por certificado de defunción y verificación histológica.

Para garantizar exhaustividad y calidad de los datos, se confronta la base del registro con los certificados de defunción enviados por el departamento de estadística de la Coordinación Zonal 8 - Salud en Guayaquil.

Los certificados de defunción por cáncer que no se encuentran en la base de datos del registro, son sometidos a una investigación retrospectiva, donde se rastrean las actas de defunción identificando el hospital y médico que certifica la defunción y luego se visita para confirmar la base de diagnóstico del certificado.

BASE DE DATOS

El registro de tumores recolecta información desde el año 1990, la cual se ingresa a través del sistema informático desarrollado por el departamento de cómputo de SOLCA Guayaquil en plataforma ORACLE. El registro lleva más de 20 años almacenando información de casos de cáncer en hombres y mujeres en Guayaquil de forma permanente.

CÓDIGO DE CLASIFICACIÓN

Las tabulaciones en este informe comprenden todos los nuevos casos de cáncer. El carcinoma in situ del cérvix uterino, se lo clasificó separadamente, los cánceres invasivos se clasifican en los sitios respectivos. Se omiten lesiones precancerosas de los otros sitios, y se clasifican a todas las neoplasias malignas del sistema nervioso central.

TOPOGRAFÍA Y MORFOLOGÍA DEL TUMOR

En este informe todos los casos tanto la topografía como la morfología se presentan en el formato de ICD-O-III: se clasifican los tumores sólidos según el órgano de origen. Los tumores no sólidos (los linfomas malignos, leucemias y mieloma) se presentan según la categoría de la enfermedad independiente del órgano de origen, la gran mayoría de linfomas se encuentra en la codificación alfa-numérica C77 y las leucemias y los mielomas están en C42.

EXTENSIÓN DE LA ENFERMEDAD

IN SITU: Posición en que la neoplasia no es invasiva.

LOCALIZADO: Neoplasia invasiva confinada completamente al órgano de origen

REGIONAL: La neoplasia se ha extendido más allá de los límites del órgano de origen en los ganglios linfáticos regionales (clínico o histológico) o directamente en el tejido circundante u órganos.

DISTANTE: La neoplasia se ha extendido a otros ganglios linfáticos, metástasis a los órganos remotos (al hígado, pulmón, al cerebro, a la piel, al hueso, sistema nervioso central).

SIN ESTADIO: La información es desconocida o insuficiente para asignar una fase.

BASE DEL DIAGNÓSTICO

La base del diagnóstico es:

- 0 Defunción
- 1 Clínica
- 2 Rayos x y otros
- 3 Cirugía
- 4 Citología
- 5 Hematología
- 6 Histología de metástasis
- 7 Histología del tumor primario
- 8 Autopsia

TUMORES MÚLTIPLES

Los tumores múltiples en los diferentes órganos son registrados como enfermedades separadas según los criterios establecidos por la IACR, donde se indica que el tumor múltiple es aquel que se origina en un tejido o localización primaria y no es una extensión, recidiva o metástasis. Debe estar localizado en diferente sitio anatómico o, si está en la misma localización, su morfología debe pertenecer a una familia histopatológica distinta.

CALIDAD DE LOS DATOS

Para garantizar la calidad de los casos de cáncer ocurridos en la ciudad de Guayaquil y recolectados por el Registro de tumores, se deben medir los indicadores de exhaustividad y validez, además debe permitir comparación con los datos de otros registros de cáncer.

En exhaustividad, se calcula la razón mortalidad/incidencia. En promedio en todas las localizaciones del 2010-2014 excluyendo cáncer de piel no melanoma y los tumores in situ, se obtuvieron índices de mortalidad/incidencia del 43.8% en hombres y 40.9% en mujeres.

La Validez, se determina por el porcentaje de casos conocidos por los certificados de defunción, el porcentaje de casos con verificación histológica y el porcentaje de casos sin edad. En el periodo 2010-2014 el porcentaje de casos que ingresaron por certificado de defunción fue del 3,7% y con porcentaje de verificación histológica fue del 83%.

DEFINICIONES

Edad. Es la edad en años al momento del diagnóstico.

Residencia. Es la municipalidad de residencia en el momento del diagnóstico.

Proporción. Es la comparación de dos variables con características similares y se obtiene al realizar la variable estudiada en el numerador y en el denominador la variable estudiada más el resto de la población en estudio.

Razón. Es la comparación de dos variables que tienen características distintas.

Incidencia. Es el número de los casos nuevos de cáncer en una población definida dentro un periodo de tiempo especificado.

Tasa de Incidencia. Es el número de los casos nuevos de cáncer que se informaron dentro de un periodo definido de tiempo dividido para la población en riesgo en el mismo periodo (persona-años) de tiempo (generalmente expresado como la tasa por 100.000 personas por años).

Tasa Estandarizada. Son las tasas totales de incidencia que se ajustaron a la edad por medio del método directo y de la población mundial estándar.

Las tasas más altas de cáncer se presentan entre la población adulta, de ahí que las tasas crudas o brutas se vean afectadas por la estructura poblacional del lugar que se analiza. La manera de eliminar esta distorsión y por lo tanto volverlas comparables con otros registros de cáncer nacionales e internacionales es la estandarización, para lo cual existen varios métodos estadísticos. En este registro al igual que otros registros del Ecuador se utiliza el método directo, que consiste en aplicar las tasas específicas de cada grupo de edad en la distribución de la población mundial sugerida por la Agencia Internacional de Registros de Cáncer.

Tasa Cruda o Bruta. Es el número total de casos nuevos en un año, dividido para la población en estudio multiplicado por la constante de 100.000 y se expresa en tasas por 100.000 habitantes.

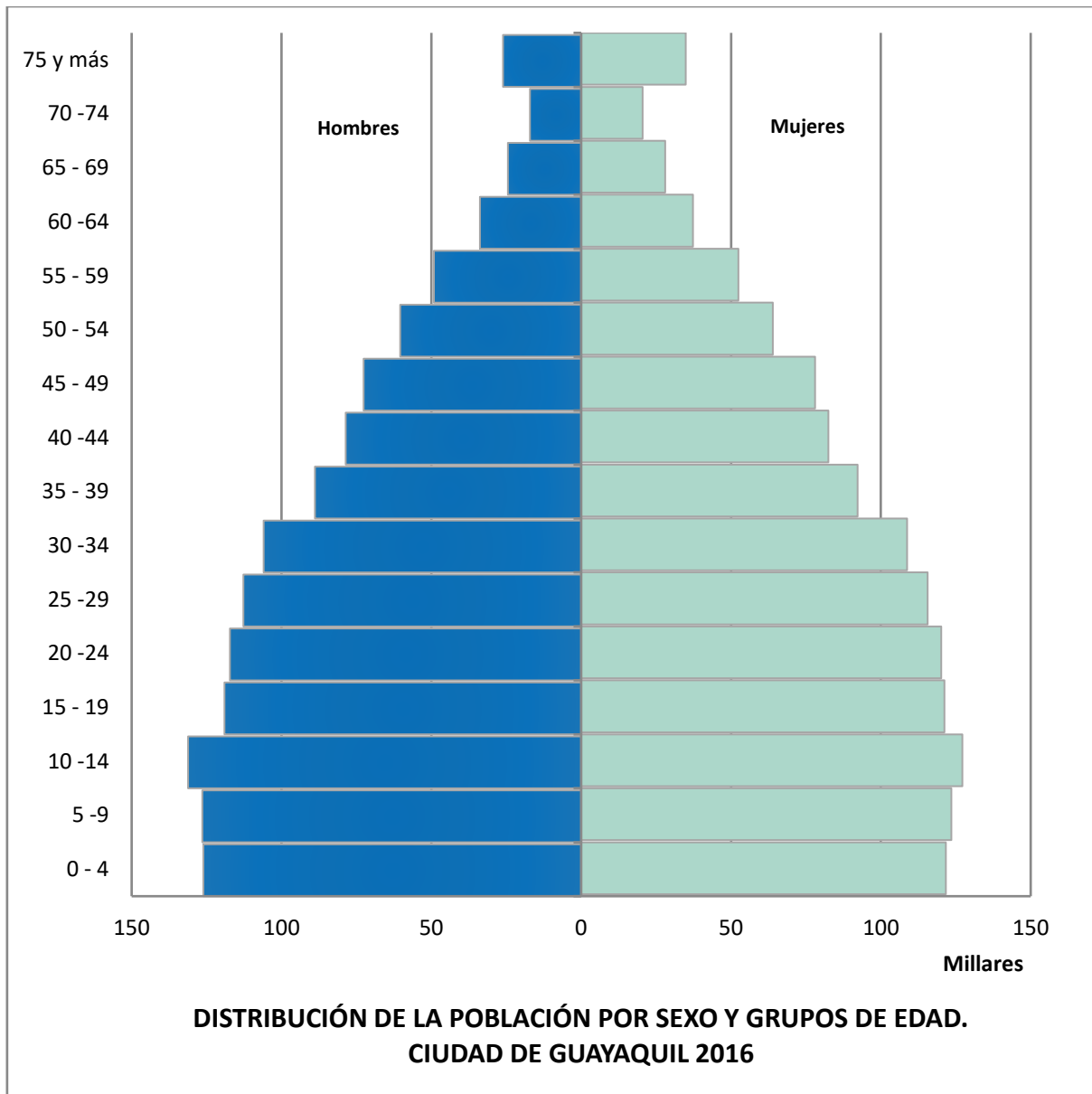
Tasa de Edad-Específica. Es la tasa de incidencia para los casos y la población de referencia en una edad especificada (grupo etario).

Tasa de Mortalidad. Es la relación entre el número de muertes ocurrido por cáncer y la población de riesgo dentro de un periodo definido de tiempo, multiplicando por el factor de amplificación 100.000.

Tendencia. Representa la direccionalidad de las tasas en los diferentes años. Utilizándose regresión lineal simple y la significación se realizó mediante análisis de varianza.

PIRÁMIDE POBLACIONAL DE GUAYAQUIL.

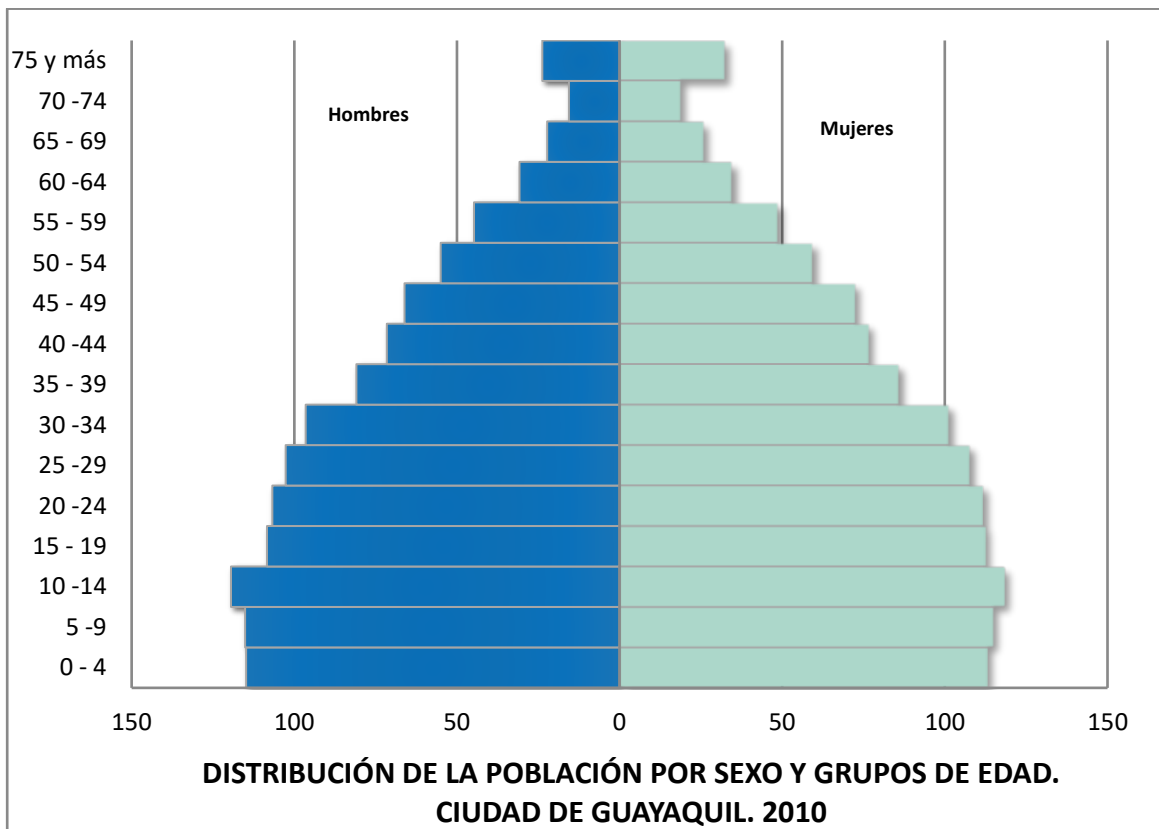
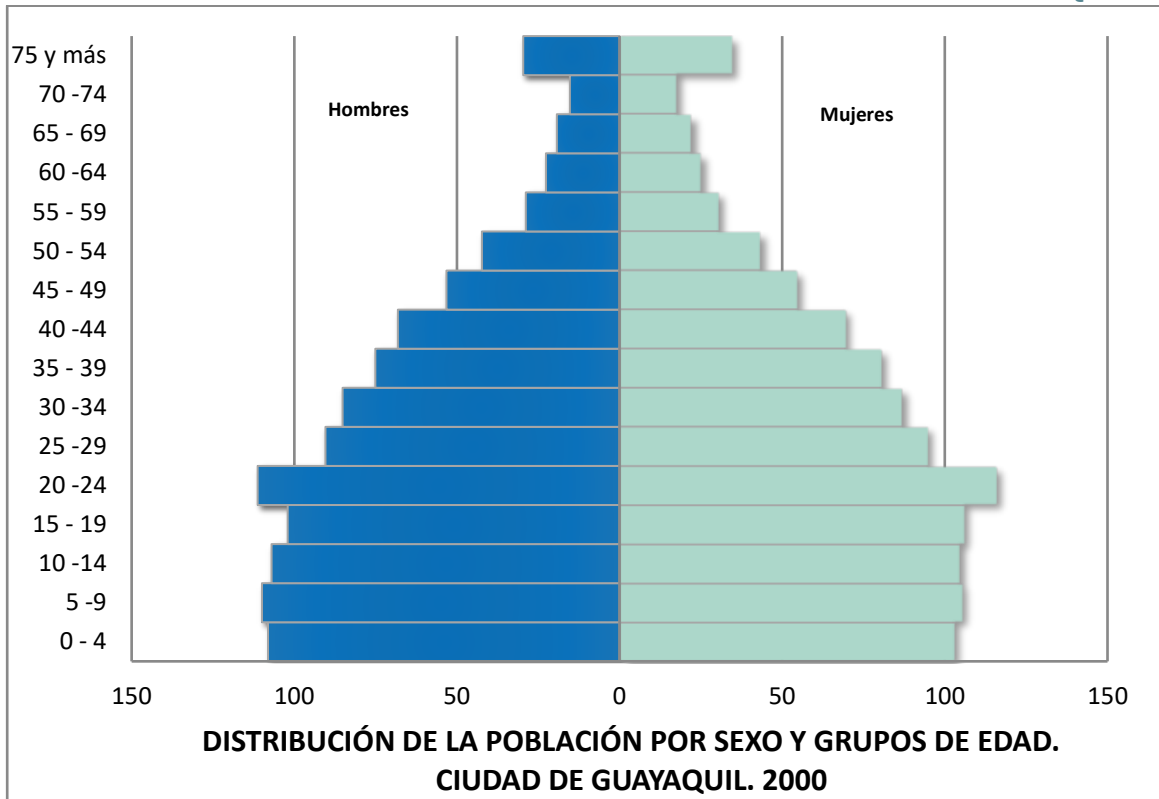
PIRÁMIDE POBLACIONAL DE GUAYAQUIL. 2016



Hombres 1'289.486

Mujeres 1'327.865

COMPARACIÓN DE PIRÁMIDE POBLACIONAL DE GUAYAQUIL

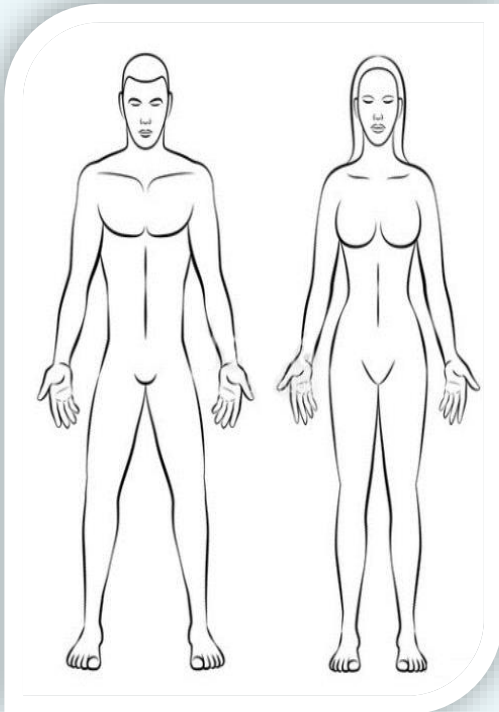


En los gráficos de población se puede observar un incremento en la población en el grupo etario de 10 a 14 años tanto para hombres como para mujeres.

RESUMEN DE TODAS LAS LOCALIZACIONES DE CÁNCER, RESIDENTES EN GUAYAQUIL. 2016

TODOS LOS SITIOS

GUAYAQUIL



En Guayaquil, se diagnosticaron un total anual de **4 112** casos nuevos de cáncer, siendo el **42,85%** en hombres y **57,15%** en mujeres. La tasa cruda de incidencia es de **136,64** en hombres y **176,98** en mujeres por cada 100.000 habitantes. La tasa cruda de mortalidad es de **73,21** en hombres y **84,12** en mujeres por cada 100.000 habitantes.

Los grupos etarios con mayor afectación en mujeres fueron de 65 a 69 años, 70 a 74 años y de mayores a 75 años, y en los hombres de 70 a 74 años y mayores a 75 años. El **92,68%** de los casos fue con base histológica primaria.

Se observa que la incidencia de cáncer en hombres viene incrementándose en mayor proporción que en mujeres en categoría de adulto mayor (65 años y más); sin embargo, la mortalidad por cáncer presenta un aumento en el año 2005 y se encuentra estable hasta el 2009 que presenta otro incremento hasta el 2012 y desde ese punto empieza a decrecer.

Tabla: Síntesis de Incidencia y Mortalidad

	Incidencia		Mortalidad	
	Hombre	Mujer	Hombre	Mujer
Número de casos	1762	2350	944	1117
% del total de casos	42,85	57,15	45,80	54,20
Tasa cruda	136,64	176,98	73,21	84,12
Tasa estandarizada	164,00	186,38	86,15	88,21

Tasa por 100.000 hab.

Tabla: Base de Diagnóstico

N° CASOS	MÉTODO	PORCENTAJE
4 112	HISTOLOGÍA DEL TUMOR PRIMARIO	92,68%
	HEMATOLOGIA	2,09%
	DEFUNCIONES	1,80%
	CITOLOGIA	1,43%
	HISTOLOGÍA DE METÁSTASIS	1,09%
	RX Y OTROS	0,68%
	CLÍNICA SOLAMENTE	0,19%
	CIRUGÍA	0,02%

Gráfico de Tasas por Grupos de Edad y Sexo

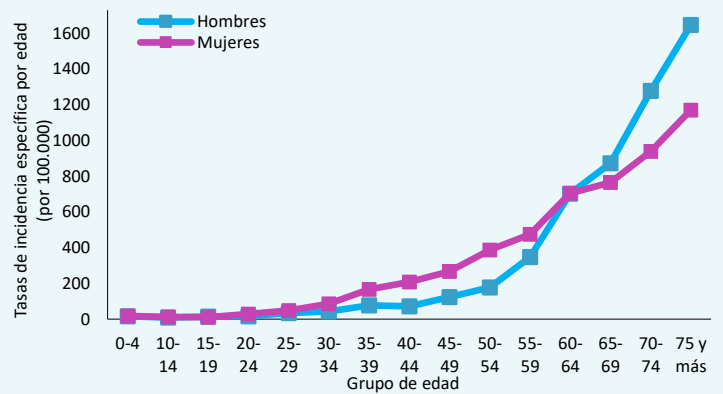
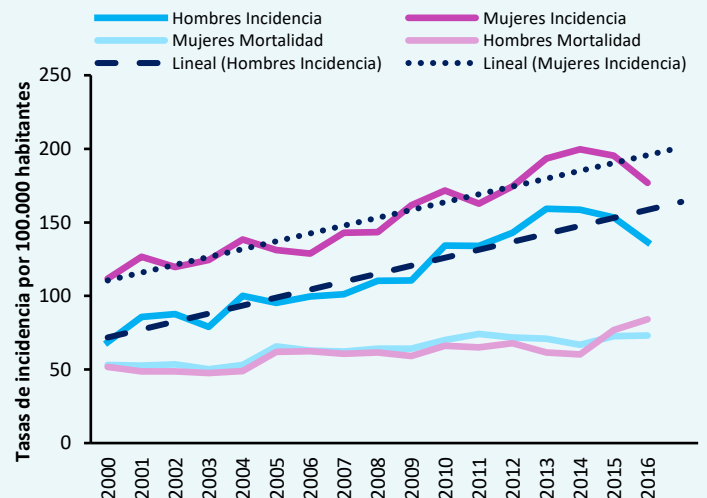


Gráfico de Tendencia de la Incidencia y Mortalidad



TUMORES EN TODOS LOS SITIOS: Ranking, tasas y porcentaje

Para el sexo masculino se puede observar que las tasa que ocupan los 5 primeros puestos son: C44: Piel no melanoma, C61: Próstata, C16: Estómago, C42: Sistema hematopoyético y reticuloendotelial y C18: Colon.

Tabla: Top 15 de las tasas crudas en hombres

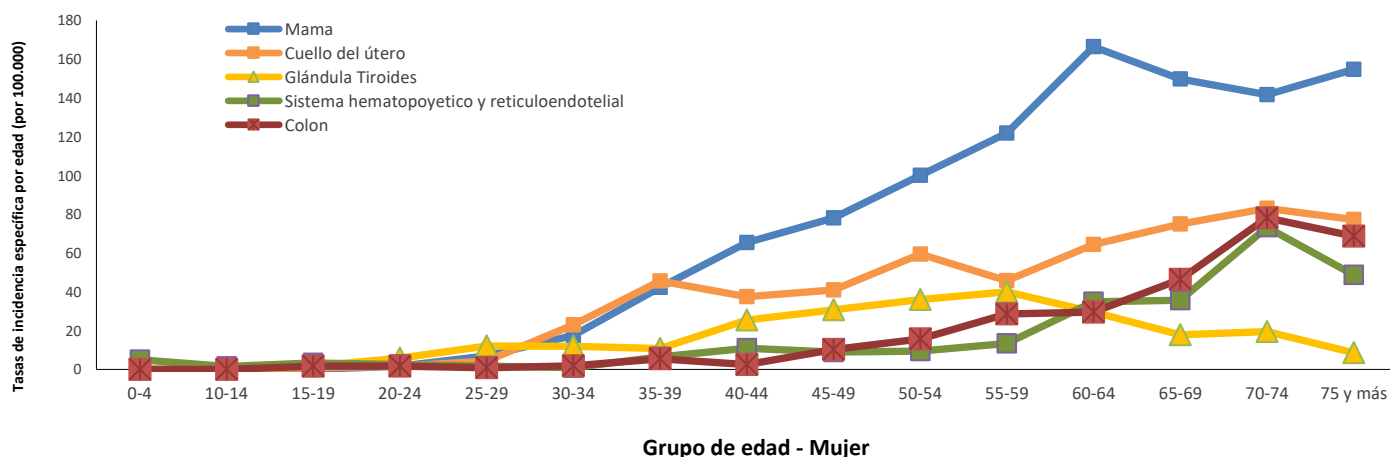
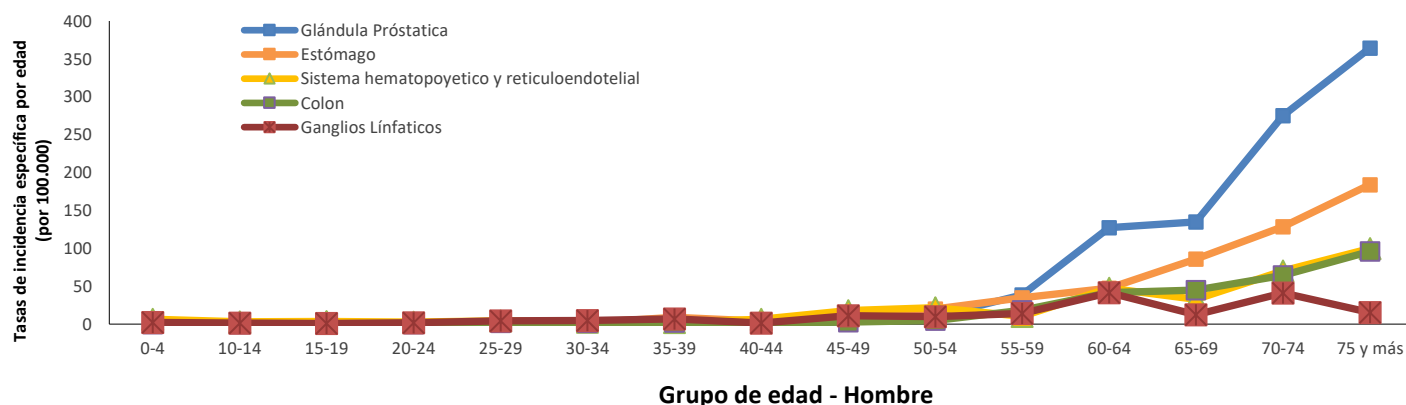
CIEO	Tipo de Cáncer	Casos	%	Tasa Cruda	Tasa Estándar ASR
C44	Piel no melanoma	400	22,70	31,02	37,32
C61	Glándula Prostática	247	14,02	19,15	24,29
C16	Estómago	161	9,14	12,49	14,94
C42	Sistema hematopoyético y reticuloendotelial	133	7,55	10,31	11,89
C18	Colon	82	4,65	6,36	7,83
C77	Ganglios Linfáticos	75	4,26	5,82	6,71
C71	Encéfalo	60	3,41	4,65	5,17
C64	Riñón	59	3,35	4,58	5,64
C34	Bronquios y Pulmón	58	3,29	4,50	6,01
C22	Hígado y conductos Biliares	40	2,27	3,10	3,96
C49	Tejido conjuntivo, subcutáneo y de otros tejidos blandos	40	2,27	3,10	3,38
C20	Recto	34	1,93	2,64	3,10
C67	Vejiga urinaria	33	1,87	2,56	3,26
C73	Glándula Tiroides	32	1,82	2,48	2,76
C62	Testículos	30	1,70	2,33	2,10
Otros		278	16,62	< 1,80	< 2,05
Todos los sitios		1762	100,00	136,64	164,00

Para el sexo femenino se puede observar que las tasas que ocupan los 5 primeros puestos son: C50: Mama, C44: Piel no melanoma, C53: Cuello del útero, C73: Tiroides y C42 Sistema hematopoyético y reticuloendotelial.

Tabla: Top 15 de las tasas crudas en mujeres

CIEO	Tipo de Cáncer	Casos	%	Tasa Cruda	Tasa Estándar ASR
C50	Mama	498	21,19	37,50	39,86
C44	Piel no melanoma	375	15,96	28,24	28,97
C53	Cuello del útero	289	12,30	21,76	22,22
C73	Glándula Tiroides	158	6,72	11,90	12,00
C42	Sistema hematopoyético y reticuloendotelial	112	4,77	8,43	9,24
C18	Colon	111	4,72	8,36	8,98
C16	Estómago	91	3,87	6,85	7,29
C56	Ovario	77	3,28	5,80	6,17
C54	Cuerpo uterino	71	3,02	5,35	6,05
C77	Ganglios Linfáticos	69	2,94	5,20	5,63
C34	Bronquios y Pulmón	48	2,04	3,61	4,00
C20	Recto	46	1,96	3,46	3,48
C71	Encéfalo	42	1,79	3,16	3,39
C22	Hígado y conductos Biliares	31	1,32	2,33	2,38
C64	Riñón	30	1,28	2,26	2,66
Otros		303	12,89	< 1,67	< 1,65
Todos los sitios		2350	100,00	176,98	186,38

Gráfico: Top 5 Tasa Cruda por Sexo y por Grupo de edad



TUMORES EN TODOS LOS SITIOS MENOS PIEL: Ranking, tasas y porcentaje

Para el sexo masculino se puede observar que las tasas que ocupan los 5 primeros puestos excluyendo piel no melanoma son: C61: Próstata, C16: Estómago y C42: Sistema hematopoyético y reticuloendotelial, C18: Colon y C77: Ganglios Linfáticos

Tabla: Top 15 de las tasas en hombres

CIEO	Tipo de Cáncer	Casos	Tasa Cruda	Tasa Estándar ASR
C61	Glándula Prostática	247	19,15	24,29
C16	Estómago	161	12,49	14,94
C42	Sistema hematopoyético y reticuloendotelial	133	10,31	11,89
C18	Colon	82	6,36	7,83
C77	Ganglios Linfáticos	75	5,82	6,71
C71	Encéfalo	60	4,65	5,17
C64	Riñón	59	4,58	5,64
C34	Bronquios y Pulmón	58	4,50	6,01
C22	Hígado y conductos Biliares	40	3,10	3,96
C49	Tejido conjuntivo, subcutáneo y de otros tejidos blandos	40	3,10	3,38
C20	Recto	34	2,64	3,10
C67	Vejiga urinaria	33	2,56	3,26
C73	Glándula Tiroides	32	2,48	2,76
C62	Testículos	30	2,33	2,10
C15	Esófago	23	1,78	2,04
Otros sin piel		255	< 1,48	< 1,89
Todos los sitios		1762	136,64	164,00
Todos los sitios menos piel		1362	105,62	126,68

Para el sexo femenino se puede observar que las tasas que ocupan los 5 primeros puestos excluyendo piel no melanoma son: C50: Mama, C53: Cuello del útero, C73: Tiroides, C42: Sistema hematopoyético y reticuloendotelial Y C18: Colon.

Tabla: Top 15 de las tasas en mujeres

CIEO	Tipo de Cáncer	Casos	Tasa Cruda	Tasa Estándar ASR
C50	Mama	498	37,50	39,86
C53	Cuello del útero	289	21,76	22,22
C73	Glándula Tiroides	158	11,90	12,00
C42	Sistema hematopoyético y reticuloendotelial	112	8,43	9,24
C18	Colon	111	8,36	8,98
C16	Estómago	91	6,85	7,29
C56	Ovario	77	5,80	6,17
C54	Cuerpo uterino	71	5,35	6,05
C77	Ganglios Linfáticos	69	5,20	5,63
C34	Bronquios y Pulmón	48	3,61	4,00
C20	Recto	46	3,46	3,48
C71	Encéfalo	42	3,16	3,39
C22	Hígado y conductos Biliares	31	2,33	2,38
C64	Riñón	30	2,26	2,66
C49	Tejido conjuntivo, subcutáneo y de otros tejidos blandos	22	1,66	1,63
Otros sin piel		281	< 1,60	< 1,60
Todos los sitios		2350	176,98	186,38
Todos los sitios menos piel		1975	148,73	157,41

Tabla: Top 15 del peso en porcentaje en hombres

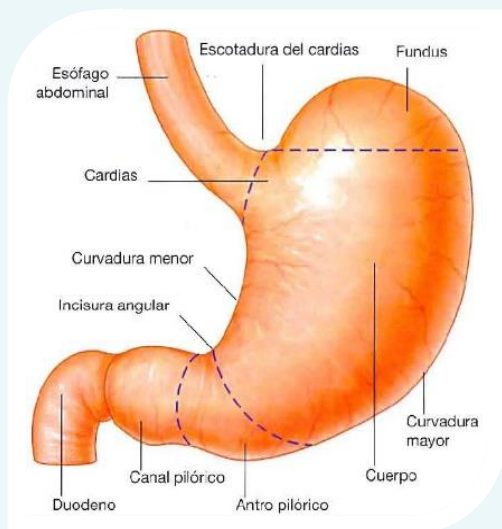
CIEO	Tipo de Cáncer	No.	%	% Acum.	Rank
C61	Glándula Prostática	247	18,14	18,14	1
C16	Estómago	161	11,82	29,96	2
C42	Sistema hematopoyético y reticuloendotelial	133	9,77	39,72	3
C18	Colon	82	6,02	45,74	4
C77	Ganglios Linfáticos	75	5,51	51,25	5
C71	Encéfalo	60	4,41	55,65	6
C64	Riñón	59	4,33	59,99	7
C34	Bronquios y Pulmón	58	4,26	64,24	8
C22	Hígado y conductos Biliares	40	2,94	67,18	9
C49	Tejido conjuntivo, subcutáneo y de otros tejidos blandos	40	2,94	70,12	10
C20	Recto	34	2,50	72,61	11
C67	Vejiga urinaria	33	2,42	75,04	12
C73	Glándula Tiroides	32	2,35	77,39	13
C62	Testículos	30	2,20	79,59	14
C15	Esófago	23	1,69	81,28	15
Otros sin piel		255	18,72	100,00	16
Todos los sitios		1762			
Todos los sitios menos piel		1362	100,00		

Tabla: Top 15 del peso en porcentaje en mujeres

CIEO	Tipo de Cáncer	No.	%	% Acum.	Rank
C50	Mama	498	25,22	25,22	1
C53	Cuello del útero	289	14,63	39,85	2
C73	Glándula Tiroides	158	8,00	47,85	3
C42	Sistema hematopoyético y reticuloendotelial	112	5,67	53,52	4
C18	Colon	111	5,62	59,14	5
C16	Estómago	91	4,61	63,75	6
C56	Ovario	77	3,90	67,65	7
C54	Cuerpo uterino	71	3,59	71,24	8
C77	Ganglios Linfáticos	69	3,49	74,73	9
C34	Bronquios y Pulmón	48	2,43	77,16	10
C20	Recto	46	2,33	79,49	11
C71	Encéfalo	42	2,13	81,62	12
C22	Hígado y conductos Biliares	31	1,57	83,19	13
C64	Riñón	30	1,52	84,71	14
C49	Tejido conjuntivo, subcutáneo y de otros tejidos blandos	22	1,11	85,82	15
Otros sin piel		280	14,18	100,00	16
Todos los sitios		2350			
Todos los sitios menos piel		1975	100,00		

PRINCIPALES LOCALIZACIONES DE CÁNCER, RESIDENTES EN LA CIUDAD DE GUAYAQUIL. 2016

ESTÓMAGO



En este año se diagnosticaron **252** casos nuevos de cáncer de estómago, siendo el **63,89%** en hombres y **36,11%** mujeres.

La tasa cruda de incidencia es de **12,49** en hombres y **6,85** en mujeres por cada 100.000 habitantes, la tasa cruda de mortalidad es de **9,85** en hombres y **7,38** en mujeres.

Los grupos etarios con mayor afectación en mujeres fueron en mayores de 75 años y en hombres de 60 a 74 años. El **95,63%** de los casos fue con base de diagnóstico histológico primaria. En el año 2000 las tasas de incidencia en mujeres fue 8.36 al año 2016 fue de 6.85 y en hombre para el año 2000 la incidencia fue 11.89 al año 2016 fue de 12.49; En tanto que la mortalidad muestra ligero decrecimiento en hombres de **10,20** a **9,85** entre los años 2000 y 2016, mientras que en mujeres incrementa de **5,55** en el año 2000 a **7,38** en el año 2016.

Tabla: Síntesis de Incidencia y Mortalidad

	Incidencia		Mortalidad	
	Hombre	Mujer	Hombre	Mujer
Número de casos	161	91	127	98
% del total de casos	9,14	3,87	13,45	8,77
Tasa cruda	12,49	6,85	9,85	7,38
Tasa estandarizada	14,94	7,29	11,60	7,62

Tasa por 100.000 hab.

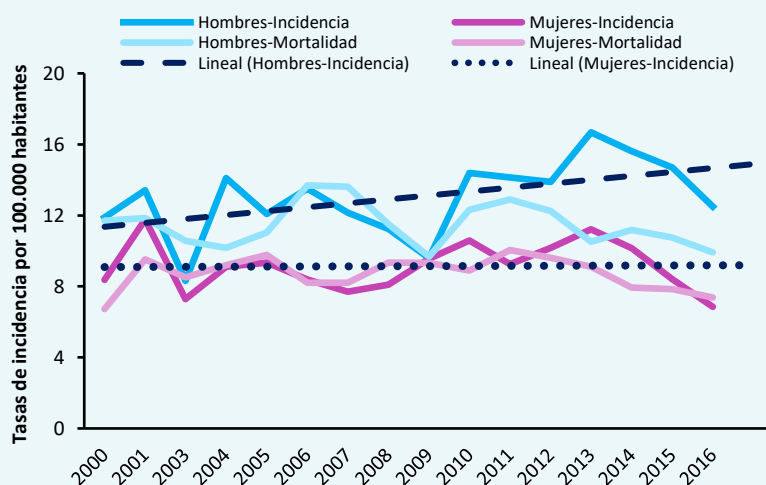
Gráfico de tendencia por Grupos de Edad y Sexo



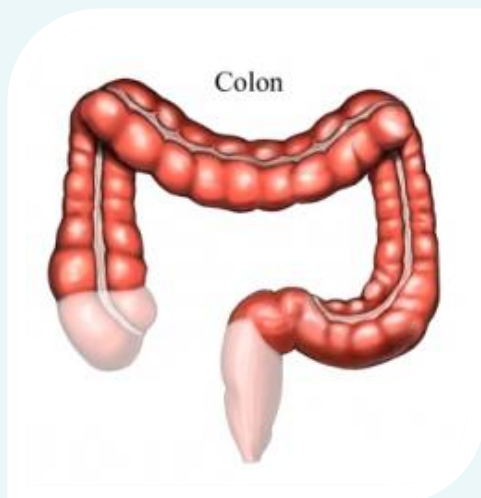
Tabla: Base de Diagnóstico

N° CASOS	MÉTODO	PORCENTAJE
252	HISTOLOGIA DEL TUMOR PRIMARIO	95,63%
	DEFUNCIONES	2,78%
	HISTOLOGIA DE METASTASIS	0,79%
	RX Y OTROS	0,40%
	CLINICA SOLAMENTE	0,40%

Gráfico de Tendencia de la Incidencia y Mortalidad



COLON



Se diagnosticaron en este año **193** casos nuevos de cáncer de colon, **42,49%** en hombres y **57,51%** mujeres. La tasa cruda de incidencia fue 6.36 en hombres y 8.36 en mujeres por cada 100.000 habitantes. La tasa cruda de mortalidad fue **5,12** en hombres y **6,02** en mujeres.

Los grupos etarios con mayor afectación en mujeres fueron en 60 a 74 años y mayores de 75 años, y en hombres de 60 a 74 años. El **97,93%** de los casos tuvo base de diagnóstico histológico. En las tasas de incidencia muestra tendencia creciente, siendo así el año 2000 en mujeres fue de **4,00** al año 2016 fue de **8,36** y en hombre para el año 2000 la incidencia fue **3,18** al año 2016 fue de **6,36**; En tanto que la mortalidad muestra ligero decrecimiento en hombres de **3,18** a **5,12** entre los años 2000 y 2016, mientras que en mujeres incrementa de **4,18** en el año 2000 a **6,02** en el año 2016.

Tabla: Síntesis de Incidencia y Mortalidad

	Incidencia		Mortalidad	
	Hombre	Mujer	Hombre	Mujer
Número de casos	82	111	66	80
% del total de casos	4,65	4,72	6,99	7,16
Tasa cruda	6,36	8,36	5,12	6,02
Tasa estandarizada	7,83	8,98	6,11	5,93

Tasa por 100.000 hab.

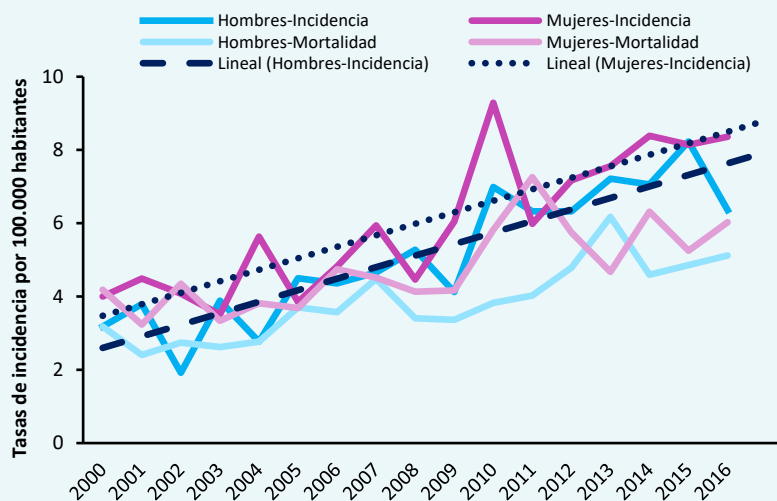
Gráfico de tendencia por Grupos de Edad y Sexo



Tabla: Base de Diagnóstico

Nº CASOS	MÉTODO	PORCENTAJE
193	HISTOLOGIA DEL TUMOR PRIMARIO	97,93%
	DEFUNCIONES	1,55%
	HISTOLOGIA DE METASTASIS	0,52%

Gráfico de Tendencia de la Incidencia y Mortalidad



RECTO



Se diagnosticaron en este año 80 casos nuevos de cáncer de recto, **42,5%** en hombres y **57,5%** mujeres. La tasa cruda de incidencia fue **2,64** en hombres y **3,46** en mujeres por cada 100.000 habitantes. La tasa cruda de mortalidad fue **1,24** en hombres y **1,43** en mujeres.

Los grupos etarios con mayor afectación en mujeres fueron en 60 a 74 años y mayores de 75 años, y en hombres de 60 a 74 años. El **95%** de los casos tuvo base de diagnóstico histológico. En las tasas de incidencia muestra tendencia creciente, siendo así el año 2000 en mujeres fue de **1,00** al año 2016 fue de **3,46** y en hombre para el año 2000 la incidencia fue **1,03** al año 2016 fue de **2,64**; En tanto que la mortalidad muestra ligero crecimiento ambos sexos, en hombres de **0,37** a **1,24** entre los años 2000 y 2016, mientras que en mujeres de **0,73** en el año 2000 a **1,43** en el año 2016.

Tabla: Síntesis de Incidencia y Mortalidad

	Incidencia		Mortalidad	
	Hombre	Mujer	Hombre	Mujer
Número de casos	34	46	16	19
% del total de casos	1,93	1,96	1,69	1,70
Tasa cruda	2,64	3,46	1,24	1,43
Tasa estandarizada	3,10	3,48	1,39	1,58

Tasa por 100.000 hab.

Gráfico de tendencia por Grupos de Edad y Sexo

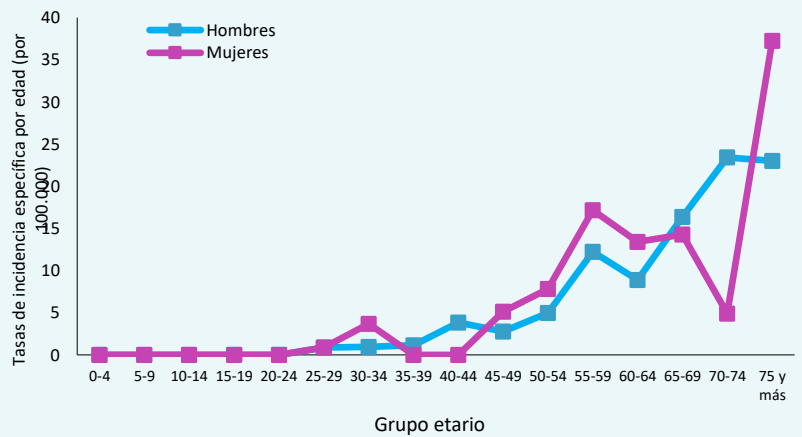
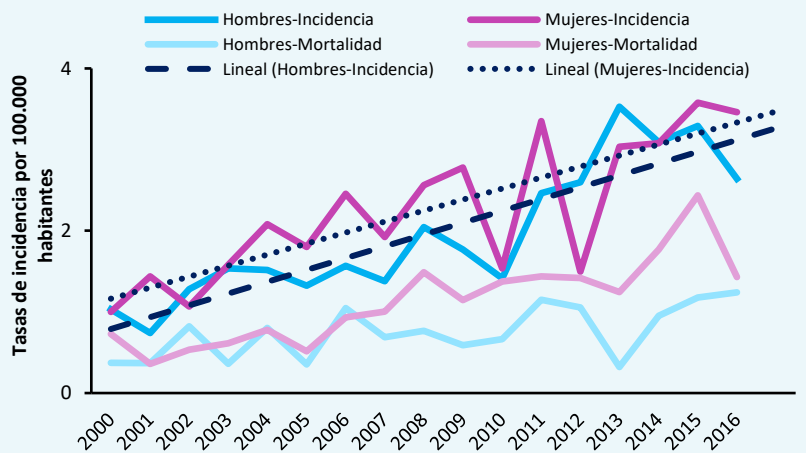


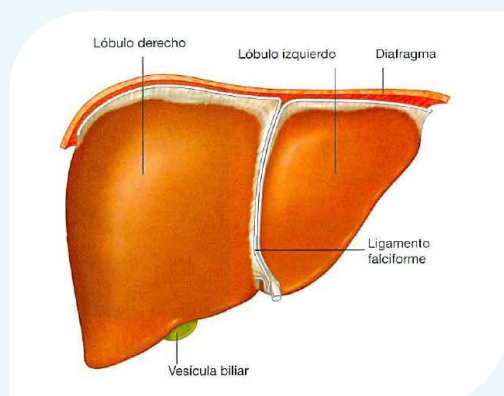
Tabla: Base de Diagnóstico

N° CASOS	MÉTODO	PORCENTAJE
80	HISTOLOGIA DEL TUMOR PRIMARIO	95,00%
	DEFUNCIONES	2,50%
	RX Y OTROS	1,25%
	HISTOLOGIA DE METASTASIS	1,25%

Gráfico de Tendencia de la Incidencia y Mortalidad



HÍGADO



Se diagnosticaron en este año **71** casos nuevos de cáncer de hígado, siendo el **57,75%** en hombres y **42,25%** en mujeres. La tasa cruda de incidencia fue **3,10** en hombres y **2,33** en mujeres por cada 100.000 habitantes. La tasa cruda de mortalidad fue **3,64** en hombres y **4,44** en mujeres.

Los grupos etarios con mayor afectación en mujeres fueron en mayores de 75 años y en hombres de 60 a 74 años. El **67,61%** de los casos fue con base de diagnóstico histológico y un **14,08%** por certificado de defunción. En las tasas de incidencia muestra tendencia variable, siendo así el año 2000 en mujeres fue de **1,00** y al año 2016 fue de **2,33** y en hombre para el año 2000 fue **1,59** y al año 2016 fue de **3,10**; En tanto que la mortalidad es fluctuante ambos sexos, en hombres fue de **4,12** a **3,64** entre los años 2000 y 2016, mientras que en mujeres fue de **3,09** en el año 2000 a **4,44** en el año 2016.

Tabla: Síntesis de Incidencia y Mortalidad

	Incidencia		Mortalidad	
	Hombre	Mujer	Hombre	Mujer
Número de casos	40	31	47	59
% del total de casos	2,27	1,32	4,98	5,28
Tasa cruda	3,10	2,33	3,64	4,44
Tasa estandarizada	3,96	2,38	4,51	4,53

Tasa por 100.000 hab.

Gráfico de tendencia por Grupos de Edad y Sexo

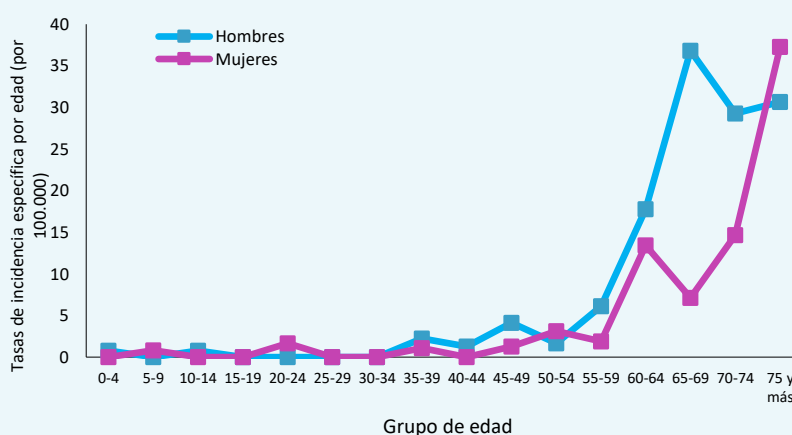
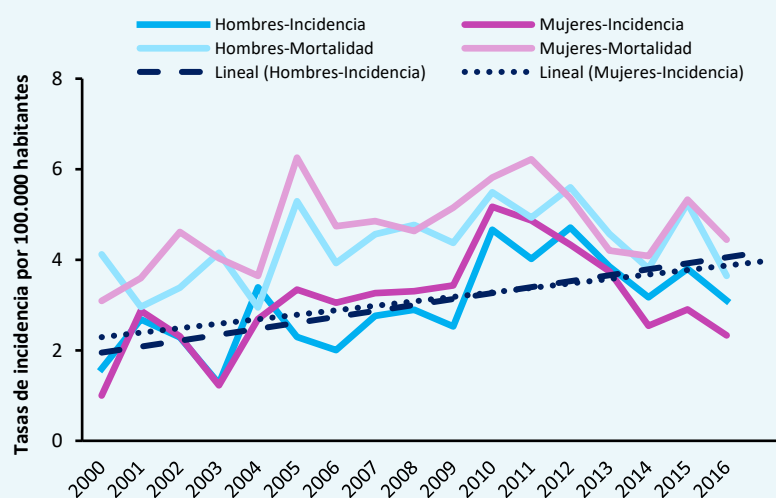


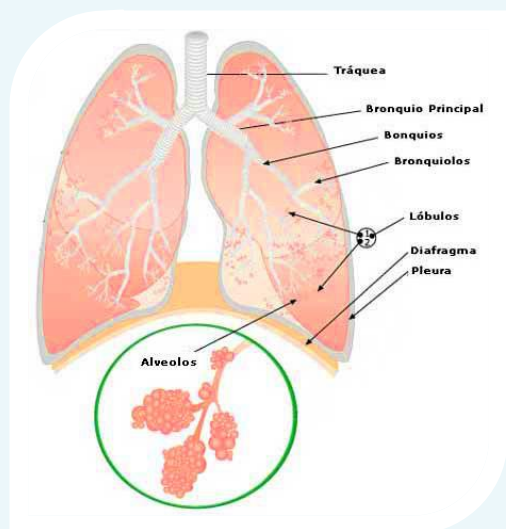
Tabla: Base de Diagnóstico

N° CASOS	MÉTODO	PORCENTAJE
71	HISTOLOGIA DEL TUMOR PRIMARIO	67,61%
	DEFUNCIONES	14,08%
	CITOLOGIA	7,04%
	RX Y OTROS	7,04%
	HISTOLOGIA DE METASTASIS	2,82%
	CIRUGIA	1,41%

Gráfico de Tendencia de la Incidencia y Mortalidad



BRONQUIOS Y PULMÓN



Se diagnosticaron en este año **106** casos nuevos de cáncer de pulmón, siendo el **54,72%** en hombres y **45,28%** en mujeres. La tasa cruda de incidencia fue **4,50** en hombres y **3,61** en mujeres por cada 100.000 habitantes. La tasa cruda de mortalidad fue **6,20** en hombres y **6,18** en mujeres.

Los grupos etarios con mayor afectación tanto en hombres y mujeres fueron los de 60 a 74 años seguido por los mayores de 75 años. El **82,08%** de los casos fue con base de diagnóstico histológico de tumor primario. En el año 2000 la incidencia en mujeres fue **2,27** al año 2016 fue de **3,61** y en hombre para el año 2000 la incidencia fue **5,15** al año 2016 fue de **4,50**; En tanto que la mortalidad muestra ligero decrecimiento en hombres de **7,30** a **6,20** entre los años 2000 y 2016, mientras que en mujeres incrementa de **3,36** en el año 2000 a **6,18** en el año 2016.

Tabla: Síntesis de Incidencia y Mortalidad

	Incidencia		Mortalidad	
	Hombre	Mujer	Hombre	Mujer
Número de casos	58	48	80	82
% del total de casos	3,29	2,04	8,47	7,34
Tasa cruda	4,50	3,61	6,20	6,18
Tasa estandarizada	6,01	4,00	7,78	6,50

Tasa por 100.000 hab.

Gráfico de tendencia por Grupos de Edad y Sexo

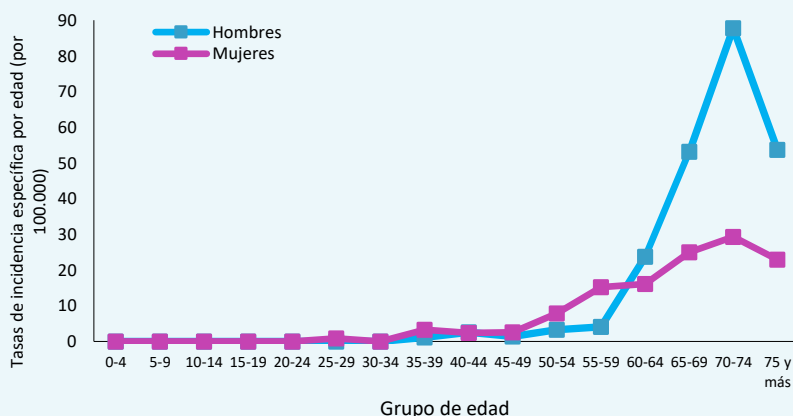
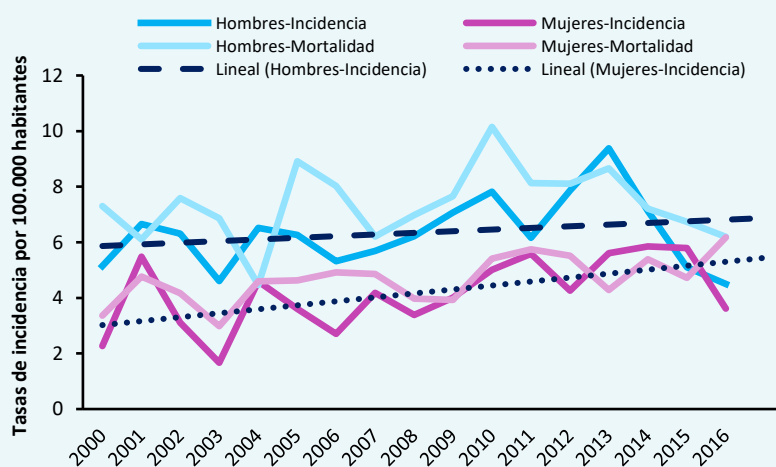


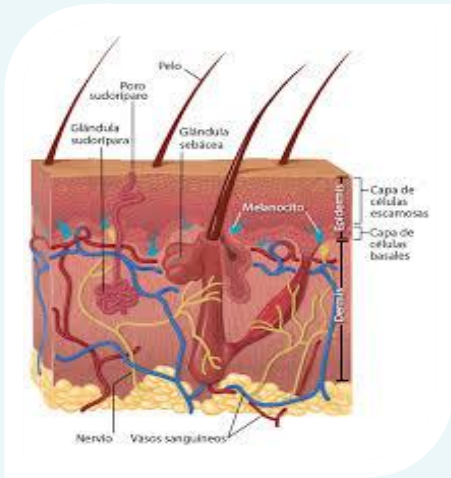
Tabla: Base de Diagnóstico

Nº CASOS	MÉTODO	PORCENTAJE
106	HISTOLOGIA DEL TUMOR PRIMARIO	82,08%
	DEFUNCIONES	10,38%
	CITOLOGIA	4,72%
	HISTOLOGIA DE METASTASIS	1,89%
	RX Y OTROS	0,94%
	HISTOLOGIA DEL TUMOR PRIMARIO	82,08%

Gráfico de Tendencia de la Incidencia y Mortalidad



PIEL



Se diagnosticaron en este año **775** casos nuevos de cáncer de piel, siendo el **51,61%** en hombres y **48,39%** en mujeres. La tasa cruda de incidencia fue **31,02** en hombres y **28,24** en mujeres por cada 100.000 habitantes. La tasa cruda de mortalidad **0,54** en hombres y **0,30** en mujeres.

El grupo etario con mayor afectación tanto en mujeres como en hombres fueron los mayores de 60 años. El **99,48%** de los casos fue con base de diagnóstico histológico del tumor primario. Se observa una tendencia creciente en la incidencia del cáncer de piel tanto en hombres con **8,33** al año 2000 y con el **31,02** al año 2016, mientras que en mujeres con **8,27** al 2000 y con el **28,24** al 2016. La tendencia de la tasa de mortalidad se mantiene en la década, para ambos sexos, inferior a **1**.

Tabla: Síntesis de Incidencia y Mortalidad

	Incidencia		Mortalidad	
	Hombre	Mujer	Hombre	Mujer
Número de casos	400	375	7	4
% del total de casos	22,70	15,96	0,74	0,36
Tasa cruda	31,02	28,24	0,54	0,30
Tasa estandarizada	37,32	28,97	0,63	0,25

Tasa por 100.000 hab.

Gráfico de tendencia por Grupos de Edad y Sexo

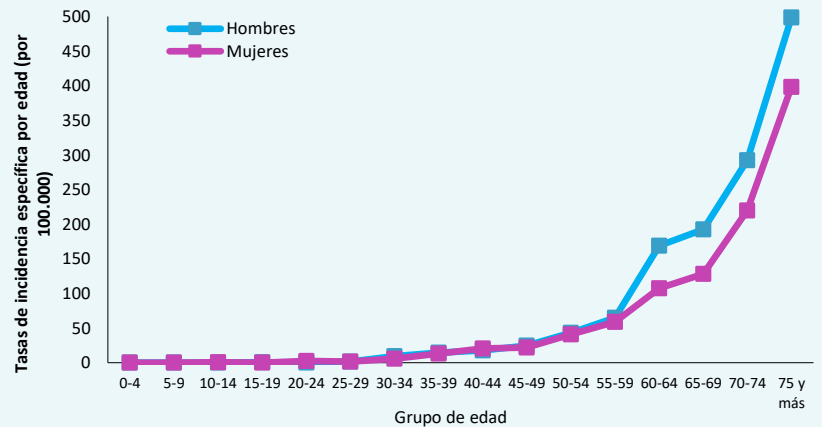
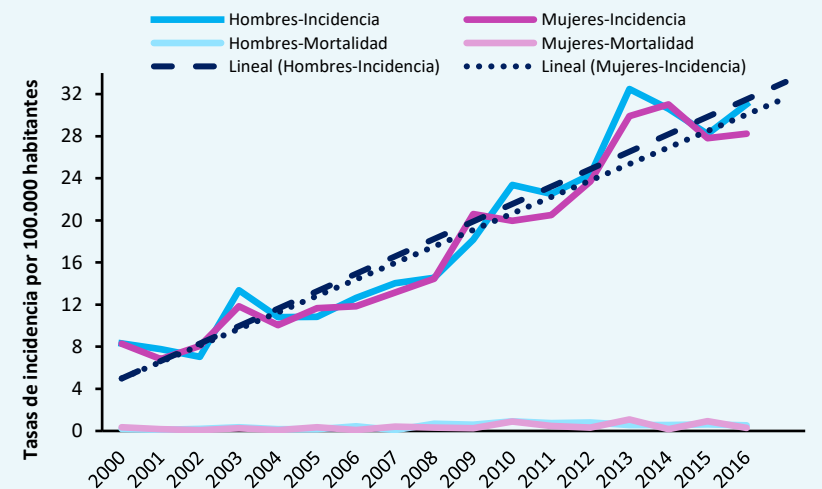


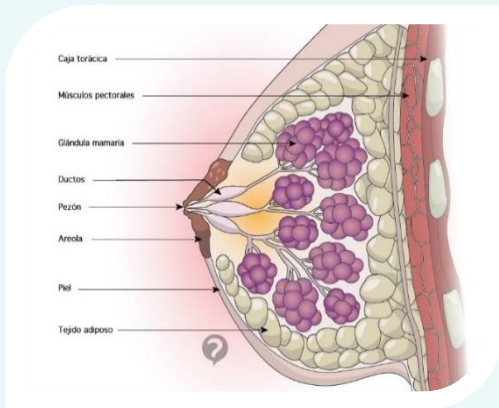
Tabla: Base de Diagnóstico

N° CASOS	MÉTODO	PORCENTAJE
775	HISTOLOGIA DEL TUMOR PRIMARIO	99,48%
	HISTOLOGIA DE METASTASIS	0,39%
	CLINICA SOLAMENTE	0,13%

Gráfico de Tendencia de la Incidencia y Mortalidad



MAMA



Se diagnosticaron en este año **498** casos nuevos de cáncer de mama en mujeres. La tasa cruda de incidencia fue **37,50** por cada 100.000 mujeres. La tasa cruda de mortalidad de **14,76**.

El grupo etario con mayor afectación fue de 45 a 59 años. El **98,39%** de los casos fue con base de diagnóstico histológico de tumor primario. La tasa de incidencia del cáncer de mama incrementó de **20,00** en el año 2000 a **37,50** en el año 2016, así también, la mortalidad incrementó de **7,55** en el año 2000 a **14,76** en el año 2016.

Tabla: Síntesis de Incidencia y Mortalidad

	Incidencia	Mortalidad
	Mujer	Mujer
Número de casos	498	195
% del total de casos	21,19	17,46
Tasa cruda	37,50	14,76
Tasa estandarizada	39,86	15,91

Tasa por 100.000 hab.

Gráfico de tendencia por Grupos de Edad y Sexo



Gráfico de Tendencia de la Incidencia y Mortalidad

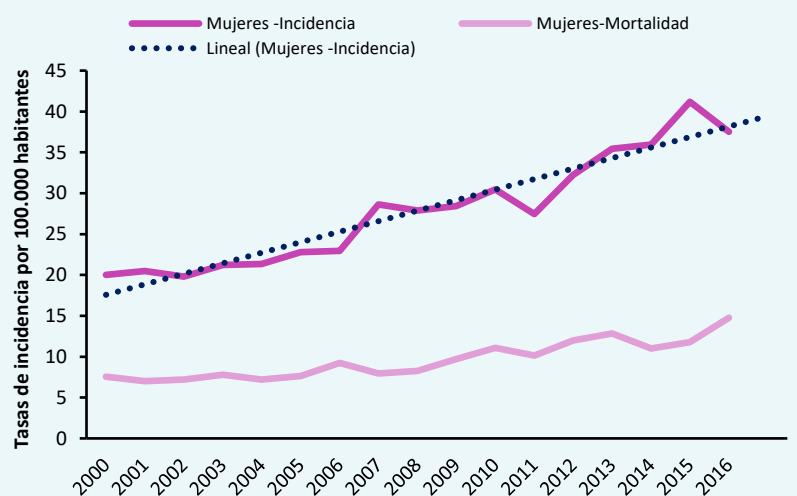
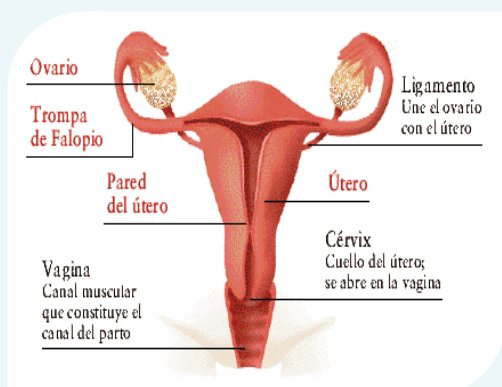


Tabla: Base de Diagnóstico

N° CASOS	MÉTODO	PORCENTAJE
498	HISTOLOGIA DEL TUMOR PRIMARIO	98,39%
	HISTOLOGIA DE METASTASIS	0,60%
	CITOLOGIA	0,60%
	CLINICA SOLAMENTE	0,40%

CUELLO DEL ÚTERO



Se diagnostican en este año **289** casos nuevos de cáncer de cuello del útero invasor e in situ. La tasa cruda de incidencia fue **21,76** por cada 100.000 mujeres y la tasa cruda de mortalidad de **5,72**.

El grupo etario con mayor afectación a partir de 60 a 64 años. El **97,74%** de los casos fue con base de diagnóstico histológico de tumor primario. La tasa cruda de incidencia de cáncer de cuello del útero incrementó de **20,45** en el año 2000 a **21,76** en el año 2016 y la tasa cruda de mortalidad decreció de **5,27** en el año 2000 a **5,72** en el año 2016.

Tabla: Síntesis de Incidencia y Mortalidad

	Incidenia	Mortalidad
	Mujer	Mujer
Número de casos	289	76
% del total de casos	12,30	6,80
Tasa cruda	21,76	5,72
Tasa estandarizada	22,22	6,01

Tasa por 100.000 hab.

Gráfico de tendencia por Grupos de Edad y Sexo

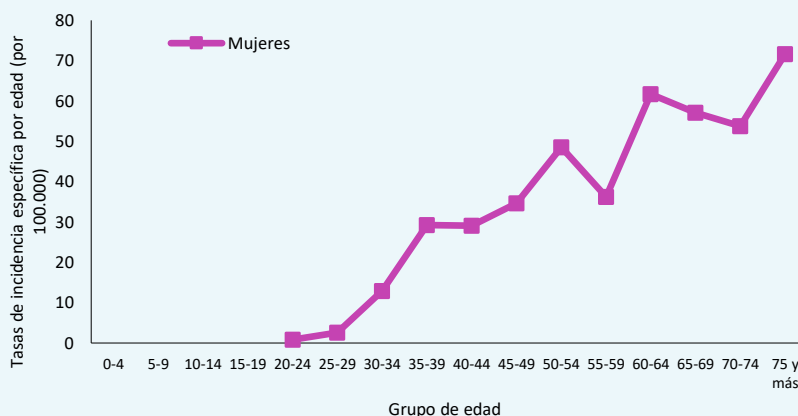


Gráfico de Tendencia de la Incidencia y Mortalidad

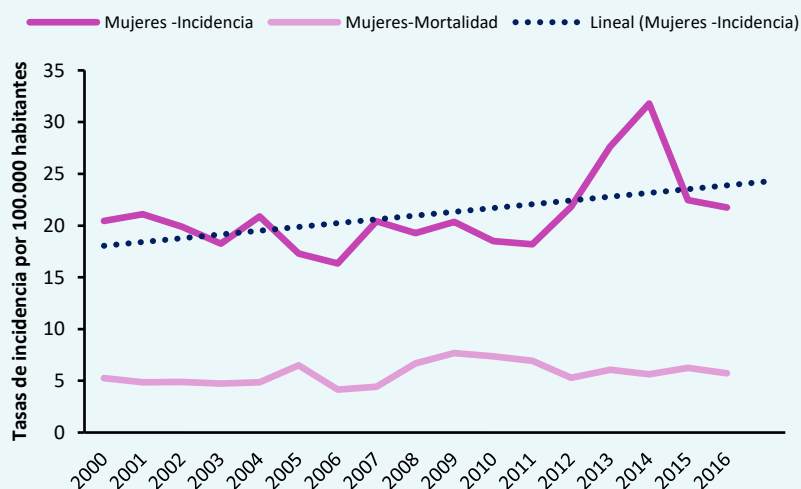
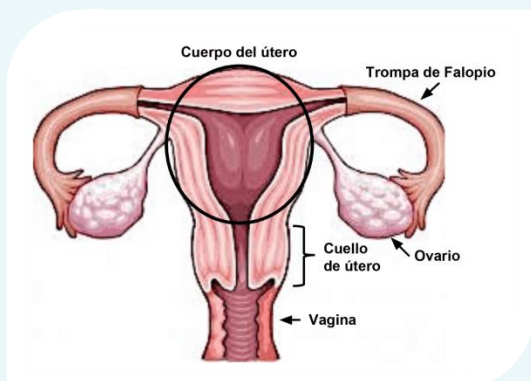


Tabla: Base de Diagnóstico

N° CASOS	MÉTODO	PORCENTAJE
289	HISTOLOGIA DEL TUMOR PRIMARIO	97,74%
	CITOLOGIA	1,81%
	HISTOLOGIA DE METASTASIS	0,45%

CUERPO DEL ÚTERO



Se diagnostican en este año **71** casos nuevos de cáncer de cuerpo del útero. La tasa cruda de incidencia fue **5,35** por cada 100.000 mujeres y la tasa cruda de mortalidad **1,51**.

El grupo etario con mayor afectación fue de 65 a 69 años. El **98,59%** de los casos fue con base de diagnóstico histológico de tumor primario. La tasa cruda de incidencia de cáncer de cuerpo del útero incrementó de **1,36** en el año 2000 a **5,35** en el año 2016 y la tasa cruda de mortalidad incrementó de **0,36** en el año 2000 a **1,51** en el año 2016.

Tabla: Síntesis de Incidencia y Mortalidad

	Incidencia	Mortalidad
	Mujer	Mujer
Número de casos	71	20
% del total de casos	3,02	1,79
Tasa cruda	5,35	1,51
Tasa estandarizada	6,05	1,70

Tasa por 100.000 hab.

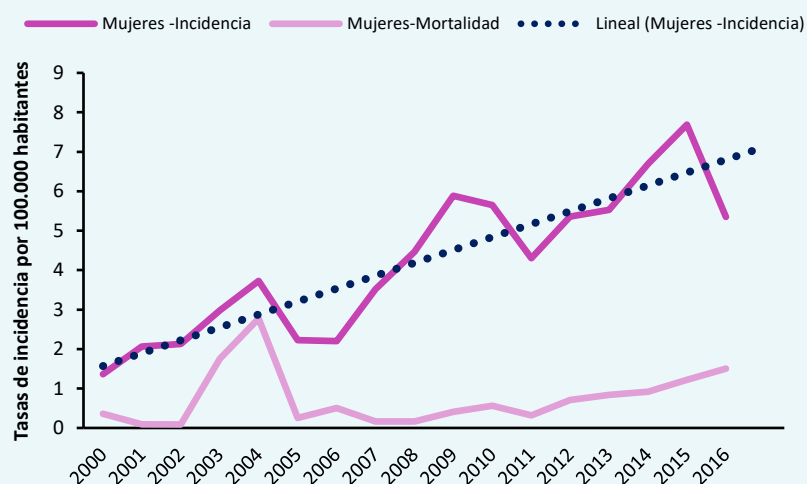
Gráfico de tendencia por Grupos de Edad y Sexo



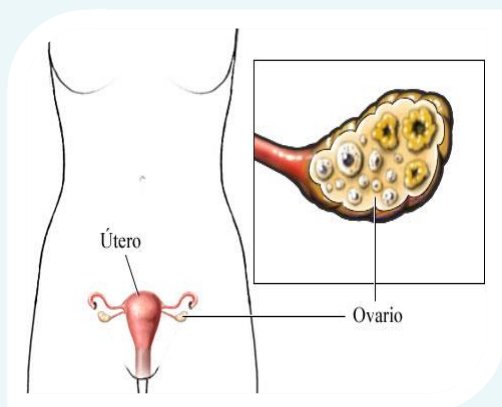
Tabla: Base de Diagnóstico

N° CASOS	MÉTODO	PORCENTAJE
71	HISTOLOGIA DEL TUMOR PRIMARIO	98,59%
	HISTOLOGIA DE METASTASIS	1,41%

Gráfico de Tendencia de la Incidencia y Mortalidad



OVARIO



Se diagnostican en este año **77** casos nuevos de cáncer de ovario. La tasa cruda de incidencia fue **5,80** por cada 100.000 mujeres y la tasa cruda de mortalidad **3,61**.

El grupo etario con mayor afectación fue de 45 a 64 años. El **96,10%** de los casos fue con base de diagnóstico histológico del tumor primario. La tasa cruda de incidencia de cáncer de ovario incrementó de **2,55** en el año 2000 a **5,80** en el año 2016 y la tasa cruda de mortalidad decreció de **2,45** en el año 2000 a **3,61** en el año 2016.

Tabla: Síntesis de Incidencia y Mortalidad

	Incidencia	Mortalidad
	Mujer	Mujer
Número de casos	77	48
% del total de casos	3,28	4,30
Tasa cruda	5,80	3,61
Tasa estandarizada	6,17	3,93

Tasa por 100.000 hab.

Gráfico de tendencia por Grupos de Edad y Sexo

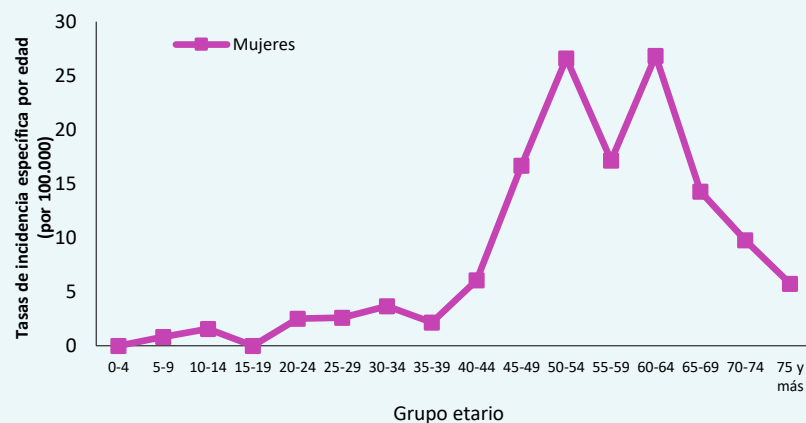


Gráfico de Tendencia de la Incidencia y Mortalidad

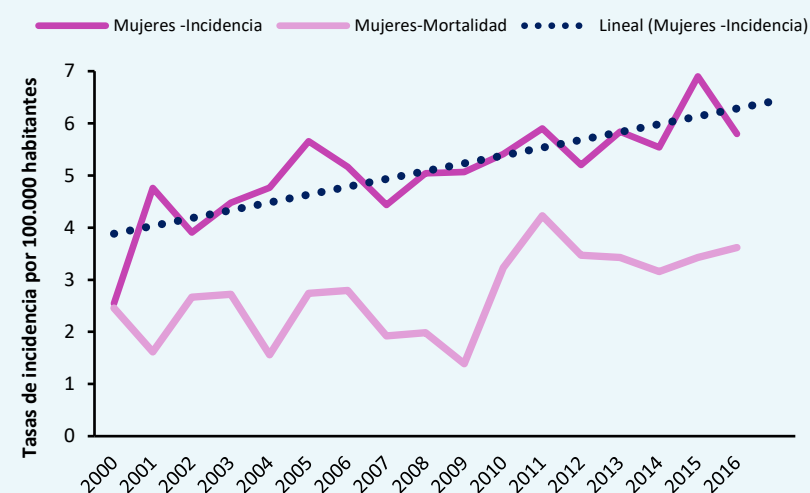
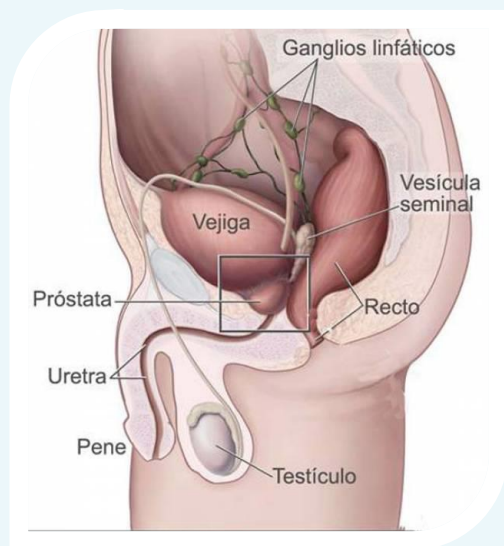


Tabla: Base de Diagnóstico

N° CASOS	MÉTODO	PORCENTAJE
77	HISTOLOGIA DEL TUMOR PRIMARIO	96,10%
	CITOLOGIA	2,60%
	CLINICA SOLAMENTE	1,30%

PRÓSTATA



Se diagnosticaron en este año **247** casos nuevos de cáncer de próstata. La tasa cruda de incidencia fue **19,15** por cada 100.000 hombres y la tasa cruda de mortalidad **10,78**.

Los grupos etarios con mayor afectación fueron mayores de 75 años y de 60 a 74 años. El **100%** de los casos fue con base de diagnóstico histológico del tumor primario. Se observa una tendencia creciente en la incidencia del cáncer de próstata, incrementando de **14,23** en el año 2000 a **19,08** en el año 2016; de igual manera la mortalidad muestra un ligero incremento de **9,74** en el año 2000 a **10,78** en el año 2016.

Tabla: Síntesis de Incidencia y Mortalidad

	Incidencia	Mortalidad
	Hombre	Hombre
Número de casos	247	138
% del total de casos	14,02	14,62
Tasa cruda	19,15	10,78
Tasa estandarizada	24,29	12,62

Tasa por 100.000 hab.

Gráfico de tendencia por Grupos de Edad y Sexo



Gráfico de Tendencia de la Incidencia y Mortalidad

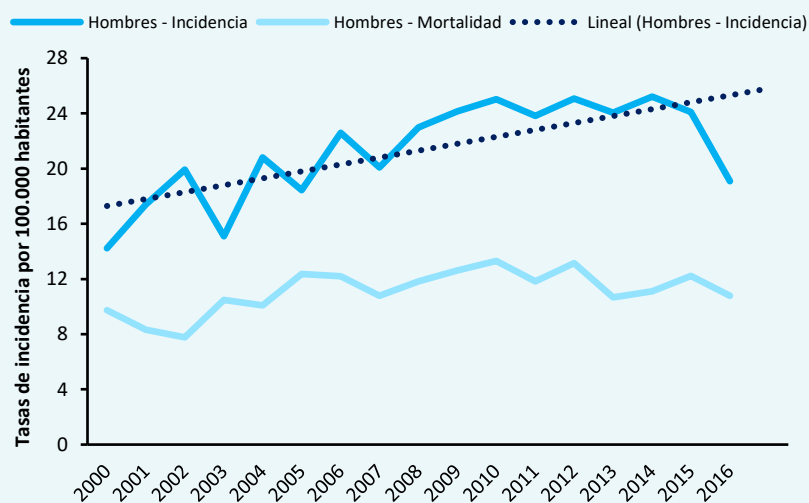
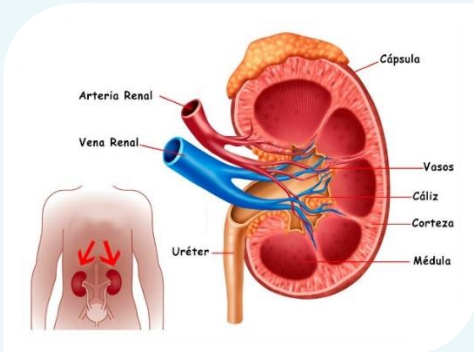


Tabla: Base de Diagnóstico

N° CASOS	MÉTODO	PORCENTAJE
247	HISTOLOGIA DEL TUMOR PRIMARIO	100%

RIÑÓN



Se diagnosticaron en este año **89** casos nuevos de cáncer de riñón, siendo el **66,29%** en hombres y **33,71%** en mujeres. La tasa cruda de incidencia fue **4,58** en hombres y **2,26** en mujeres por cada 100.000 habitantes. La tasa cruda de mortalidad **1,71** en hombres y **0,83** en mujeres.

Los grupos etarios con mayor afectación tanto en mujeres como en hombres fueron los mayores de 60 años. El **91,01%** de los casos fue con base de diagnóstico histológico del tumor primario. Se observa una tendencia creciente en la incidencia del cáncer de riñón, incrementando en hombres de **1,12** en el año 2000 a **4,58** en el año 2016 y en mujeres de **1,00** en el año 2000 a **2,26** en el 2016; de igual manera la mortalidad muestra una ligera variabilidad en hombres de **0,94** en el año 2000 a **1,71** en el año 2016 y mujeres de **0,82** en el 2000 a **0,83** en el 2016.

Tabla: Síntesis de Incidencia y Mortalidad

	Incidencia		Mortalidad	
	Hombre	Mujer	Hombre	Mujer
Número de casos	59	30	22	11
% del total de casos	3,35	1,28	2,33	0,98
Tasa cruda	4,58	2,26	1,71	0,83
Tasa estandarizada	5,64	2,66	2,16	1,05

Tasa por 100.000 hab.

Gráfico de tendencia por Grupos de Edad y Sexo

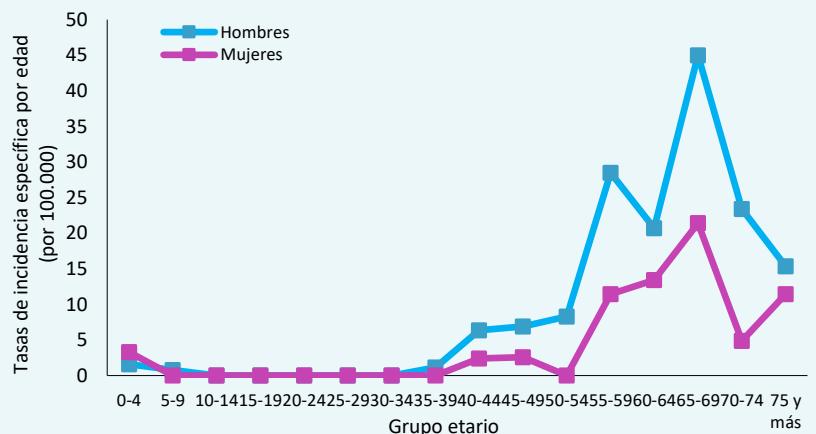
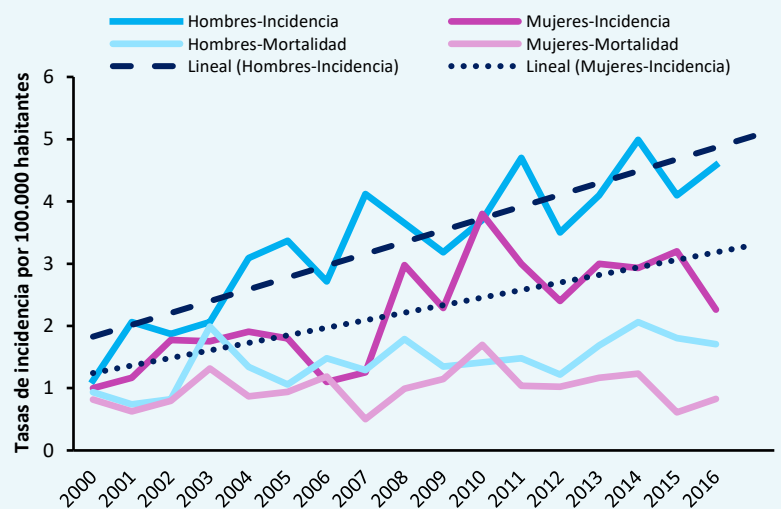


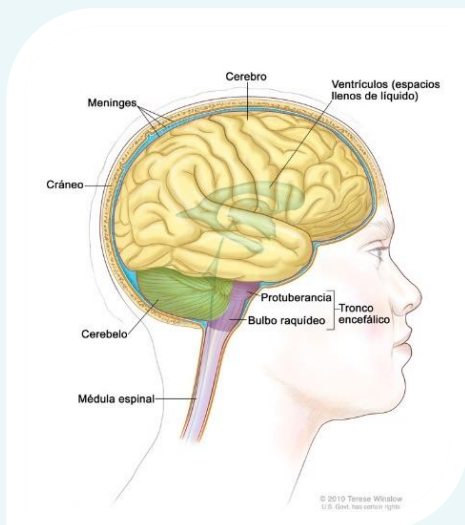
Tabla: Base de Diagnóstico

N° CASOS	MÉTODO	PORCENTAJE
89	HISTOLOGIA DEL TUMOR PRIMARIO	91,01%
	DEFUNCIONES	3,37%
	RX Y OTROS	2,25%
	HISTOLOGIA DE METASTASIS	2,25%
	CITOLOGIA	1,12%

Gráfico de Tendencia de la Incidencia y Mortalidad



ENCÉFALO



Se diagnosticaron en este año **102** casos nuevos de cáncer de encéfalo, siendo el **58,82%** en hombres y **41,18%** mujeres. La tasa cruda de incidencia fue **4,65** en hombres y **3,16** en mujeres por cada 100.000 habitantes. La tasa cruda de mortalidad **3,02** en hombres y **3,01** en mujeres.

Los grupos etarios con mayor afectación en hombres son de 70 a 74 años y en mujeres fueron de 75 y más años. El **94,12%** de los casos fue con base de diagnóstico histológico del tumor primario. Se observa una tendencia creciente en hombres más que en mujeres, dando la incidencia en hombres de **0,84** en el 2000 a **4,65** en el 2016 y en mujeres de **1,45** en 2000 a **3,16** en el 2016. La mortalidad por cáncer de encéfalo tiene un comportamiento fluctuante a lo largo del periodo en ambos sexos, en hombre fue de **1,68** en el 2000 y **3,02** en el 2016 mientras que en mujeres fue de **1,09** en el 2000 y **3,01** en el 2016.

Tabla: Síntesis de Incidencia y Mortalidad

	Incidencia		Mortalidad	
	Hombre	Mujer	Hombre	Mujer
Número de casos	60	42	39	40
% del total de casos	3,41	1,79	4,13	3,58
Tasa cruda	4,65	3,16	3,02	3,01
Tasa estandarizada	5,17	3,39	3,56	3,24

Tasa por 100.000 hab.

Gráfico de tendencia por Grupos de Edad y Sexo

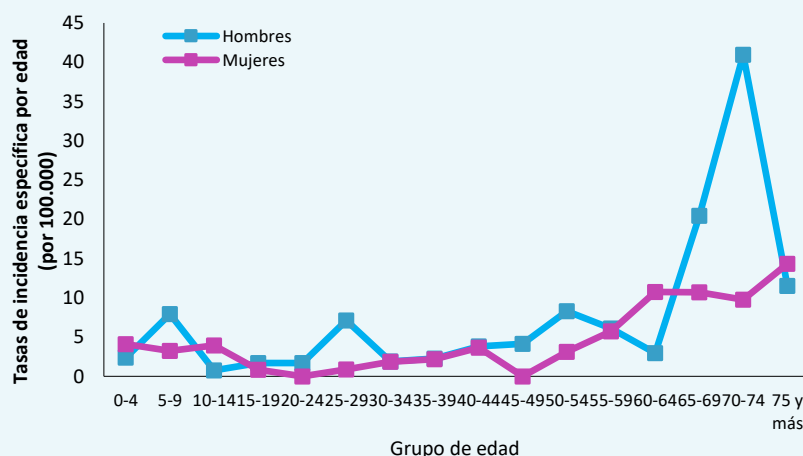
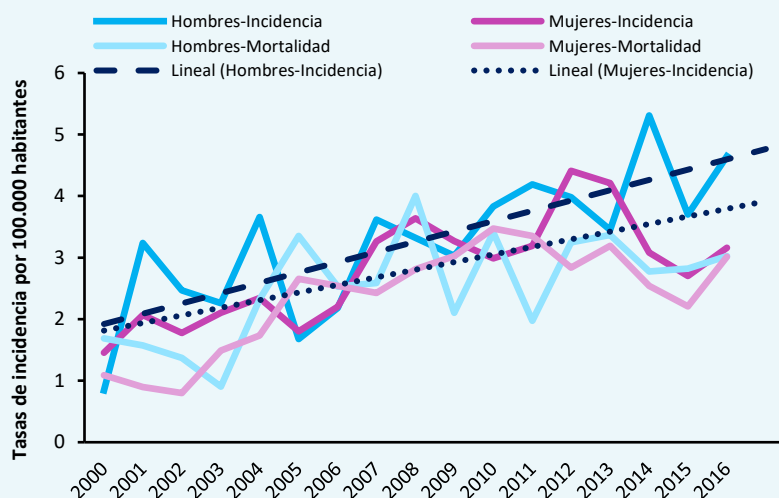


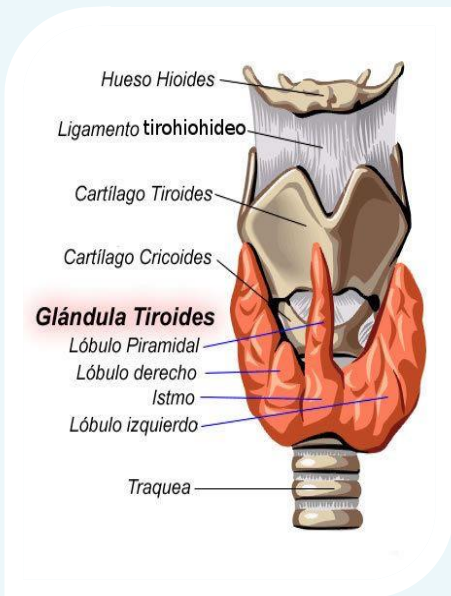
Tabla: Base de Diagnóstico

Nº CASOS	MÉTODO	PORCENTAJE
102	HISTOLOGIA DEL TUMOR PRIMARIO	94,12%
	DEFUNCIONES	2,94%
	CITOLOGIA	1,96%
	RX Y OTROS	0,98%

Gráfico de Tendencia de la Incidencia y Mortalidad



TIROIDES



Se diagnosticaron en este año **190** casos nuevos de cáncer de tiroides, siendo el **9,47%** en hombres y **90,53%** mujeres. La tasa cruda de incidencia fue **2,48** en hombres y **11,90** en mujeres por cada 100.000 habitantes. La tasa cruda de mortalidad **0,62** en hombres y **0,98** en mujeres.

Los grupos etarios con mayor afectación en mujeres fueron de 40 a 59 años y en hombres son de 65 a 69 años. El **86,84%** de los casos fue con base de diagnóstico histológico del tumor primario. Se observa una tendencia creciente en la incidencia del cáncer de tiroides en mujeres, de **1,91** en el año 2000 a **11,90** en el año 2016; en hombres la incidencia se mantiene estable en casi todo el periodo, en el año 2000 fue de **0,47** a **2,48** al año 2016. La mortalidad por cáncer de tiroides tiene el mismo comportamiento a lo largo del periodo en ambos sexos.

Tabla: Síntesis de Incidencia y Mortalidad

	Incidencia		Mortalidad	
	Hombre	Mujer	Hombre	Mujer
Número de casos	32	158	8	13
% del total de casos	1,82	6,72	0,85	1,16
Tasa cruda	2,48	11,90	0,62	0,98
Tasa estandarizada	2,76	12,00	0,65	0,95

Tasa por 100.000 hab.

Gráfico de tendencia por Grupos de Edad y Sexo

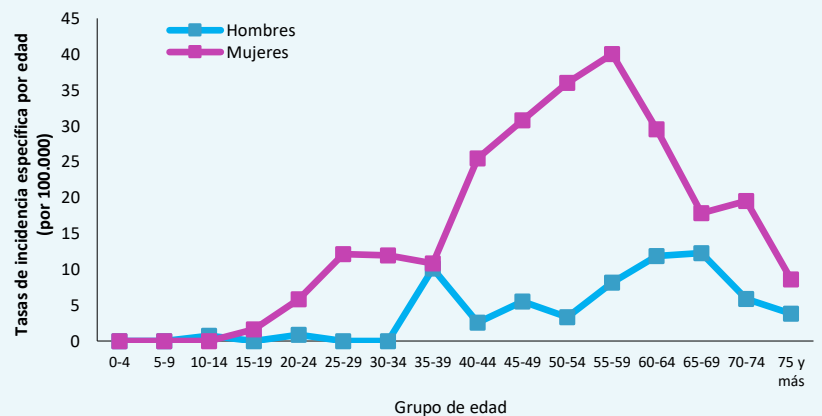
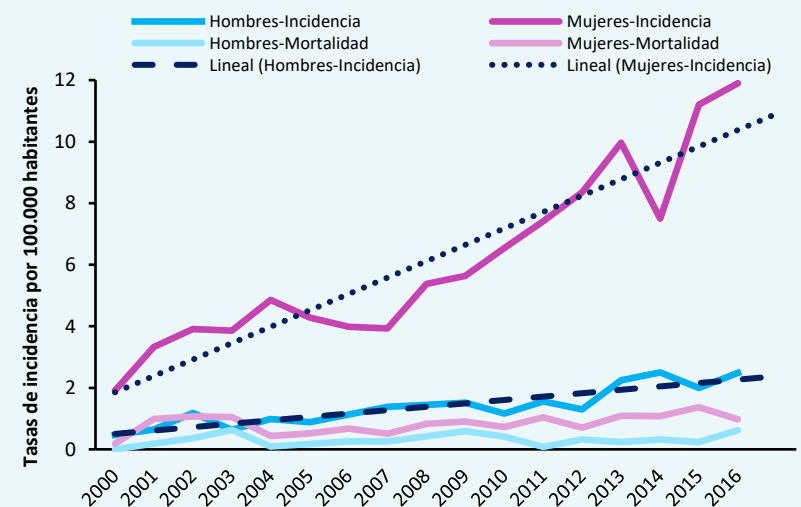


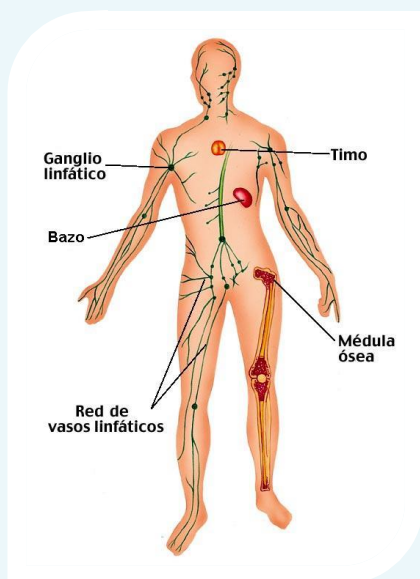
Tabla: Base de Diagnóstico

N° CASOS	MÉTODO	PORCENTAJE
190	HISTOLOGIA DEL TUMOR PRIMARIO	86,84%
	CITOLOGIA	12,11%
	HISTOLOGIA DE METASTASIS	0,53%
	CLINICA SOLAMENTE	0,53%

Gráfico de Tendencia de la Incidencia y Mortalidad



LINFOMA NO HODGKIN



Se diagnosticaron en este año **144** casos nuevos de cáncer de linfoma no Hodgking, siendo el **52,08%** en hombres y **47,92%** mujeres. La tasa cruda de incidencia fue **5,82** en hombres y **5,20** en mujeres por cada 100.000 habitantes. La tasa cruda de mortalidad **2,79** en hombres y **1,66** en mujeres.

Los grupos etarios con mayor afectación en hombres fueron de 60 a 64 años y en mujeres son de 65 a 69 años. El **94,20%** de los casos fue con base de diagnóstico histológico del tumor primario. Se observa una tendencia creciente en la incidencia del cáncer de Linfoma No Hodgkin en hombres de **3,84** en el año 2000 a **5,82** en el año 2016; en mujeres la incidencia incrementa de **0,18** en 2000 a **5,20** al 2016. La mortalidad en hombres de **2,15** en el año 2000 a **2,79** en el año 2016 y en mujeres de **2,27** en el año 2000 a **1,66** en el año 2016.

Tabla: Síntesis de Incidencia y Mortalidad

	Incidencia		Mortalidad	
	Hombre	Mujer	Hombre	Mujer
Número de casos	75	69	36	22
% del total de casos	4,26	2,94	3,80	2,00
Tasa cruda	5,82	5,20	2,79	1,66
Tasa estandarizada	6,71	5,63	3,35	1,84

Tasa por 100.000 hab.

Gráfico de tendencia por Grupos de Edad y Sexo

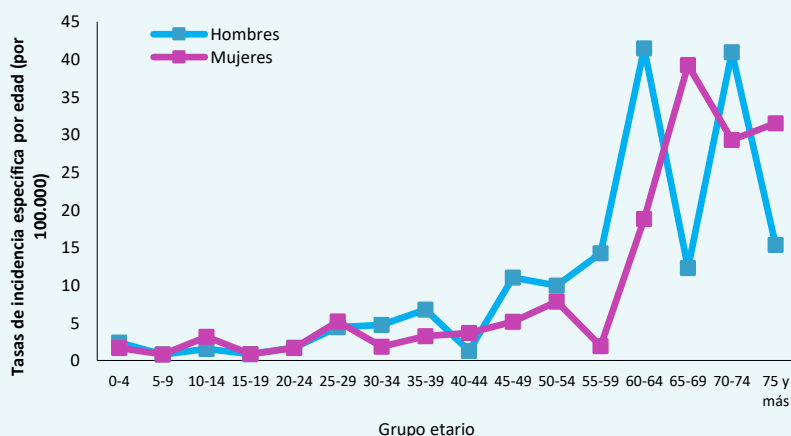


Gráfico de Tendencia de la Incidencia y Mortalidad

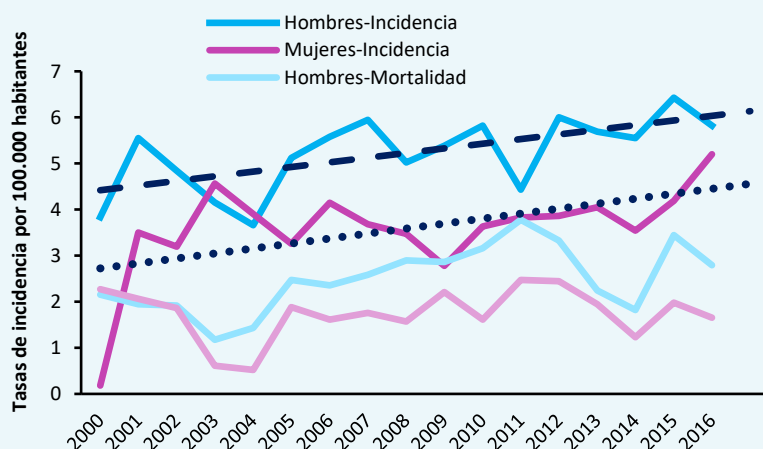
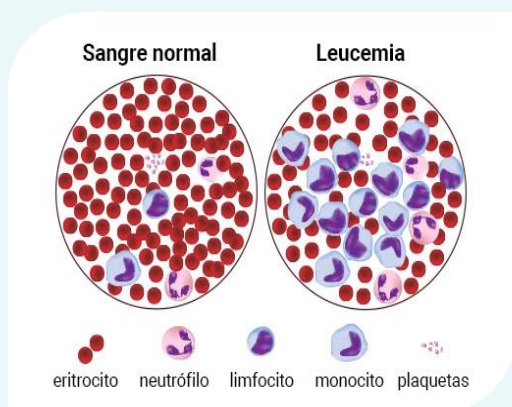


Tabla: Base de Diagnóstico

Nº CASOS	MÉTODO	PORCENTAJE
144	HISTOLOGIA DEL TUMOR PRIMARIO	94,20%
	CITOLOGIA	2,90%
	HISTOLOGIA DE METASTASIS	1,45%
	DEFUNCIONES	1,45%

LEUCEMIAS



Se diagnosticaron en este año **245** casos nuevos de leucemias, **54,29%** en hombres y **45,71%** mujeres. La tasa cruda de incidencia fue **10,31** en hombres y **8,43** en mujeres por cada 100.000 habitantes. La tasa cruda de mortalidad **6,44** en hombres y **6,18** en mujeres.

Los grupos etarios con mayor afectación en ambos sexos fueron niños de 0 a 14 años. El **64,40%** de los casos fue con base hematológica y **32,54%** con base histológica. Se observa una tendencia creciente en la incidencia de las leucemias, en hombres de **3,56** en el año 2000 a **10,31** en el año 2016 y en mujeres de **3,91** en el año 2000 a **8,43** en el año 2016; la mortalidad presenta un ligero aumento, en mujeres de **3,09** en el 2000 a **6,18** en el 2016, y en hombres de **4,31** en el 2000 a **6,44** en el 2016.

Tabla: Síntesis de Incidencia y Mortalidad

	Incidencia		Mortalidad	
	Hombre	Mujer	Hombre	Mujer
Número de casos	133	112	83	82
% del total de casos	7,55	4,77	8,80	7,30
Tasa cruda	10,31	8,43	6,44	6,18
Tasa estandarizada	11,89	9,24	6,66	6,29

Tasa por 100.000 hab.

Gráfico de Distribución por Grupos de Edad y Sexo

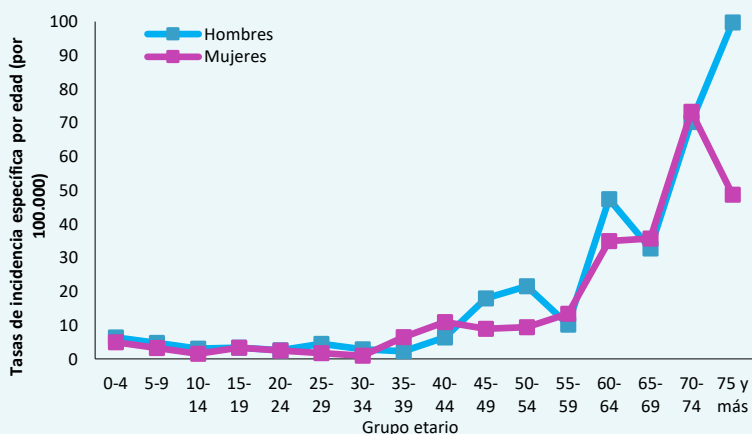


Gráfico de Tendencia de la Incidencia y Mortalidad

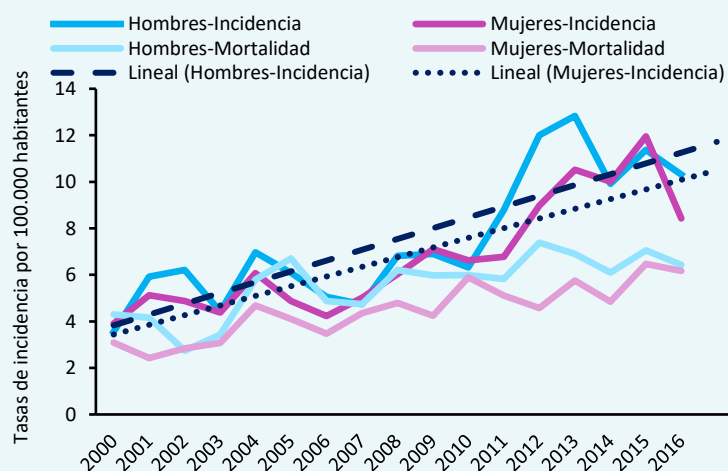


Tabla: Base de Diagnóstico

N° CASOS	MÉTODO	PORCENTAJE
245	HEMATOLOGÍA	66,40%
	HISTOLOGÍA PRIMARIO	32,54%
	RX Y OTROS	0,53%
	CLÍNICA	0,40%
	DEFUNCIONES	0,13%

CÁNCER INFANTIL RESIDENTES EN LA CIUDAD DE GUAYAQUIL. 2016

Cáncer infantil de 0 a 19 años

Se diagnostican en este año **133** casos nuevos de cáncer infantil, siendo el **51,88%** en niños y **48,12%** en niñas. La tasa cruda de incidencia fue **137,26** en niños y **129,66** en niñas por cada 1.000.000 de habitantes. La tasa cruda de mortalidad **127,40** en niños y **95,22** en niñas.

Los grupos etarios con mayor afectación tanto en niñas y niños son de 0 a 4 años con **30,43%** y **32,81%** respectivamente. Se observa una tendencia creciente en la incidencia de cáncer infantil en niñas y niños entre 0 a 19 años. En niños incrementó de **114,75** en el año 2000 a **137,26** en el 2016 y en niñas en mayor proporción de **73,72** en el 2000 a **129,66** en el 2016. La mortalidad por cáncer infantil presenta un ligero aumento en ambos sexos.

Tabla. Síntesis de Incidencia y Mortalidad

	Incidencia		Mortalidad	
	Hombre	Mujer	Hombre	Mujer
Número de casos	69	64	64	47
% del total de casos	3,92%	2,72%	7%	4%
Tasa cruda	137,26	129,66	127,40	95,22
Tasa estandarizada	140,53	132,55	125,40	94,05

Tasa por 1.000.000 de habitantes

Grupo de edad	Incidencia					
	Niños		Niñas		Total	
	No.	%	No.	%	No.	%
0-4	21	30,43	21	32,81	42	31,58
5-9	20	28,99	14	21,88	34	25,56
10-14	11	15,94	16	25,00	27	20,30
15-19	17	24,64	13	20,31	30	22,56
Total	69	100,00	64	100,00	133	100,00

Gráfico. Distribución por Grupos Etarios y Sexo

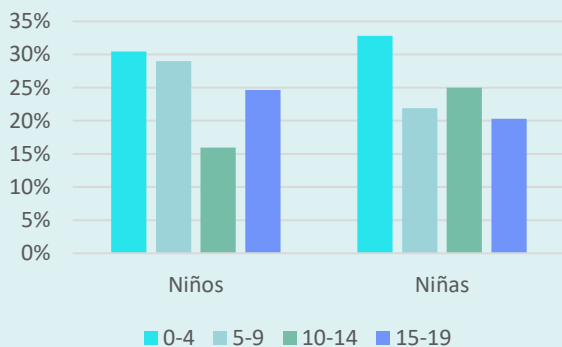


Gráfico. Distribución por Sexo.

Distribución del cáncer infantil por sexo. Residentes en Guayaquil. 2016

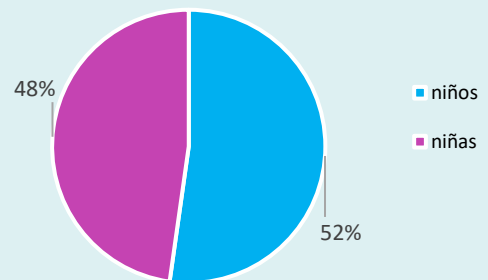
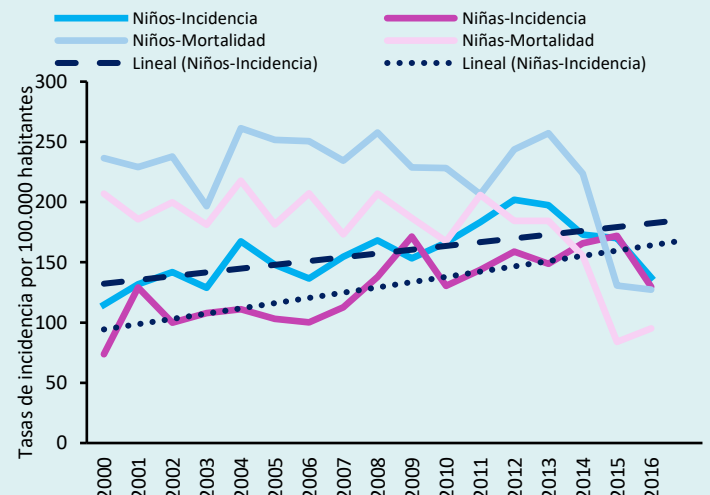


Gráfico. Tendencia de la Incidencia y Mortalidad



Cáncer infantil de 0 a 19 años: Gráficos según diagnóstico

Gráfico 1. Cáncer infantil de 0 a 19 años según diagnóstico. Ambos sexos



Gráfico 2. Cáncer infantil de 0 a 19 años según diagnóstico. Niños

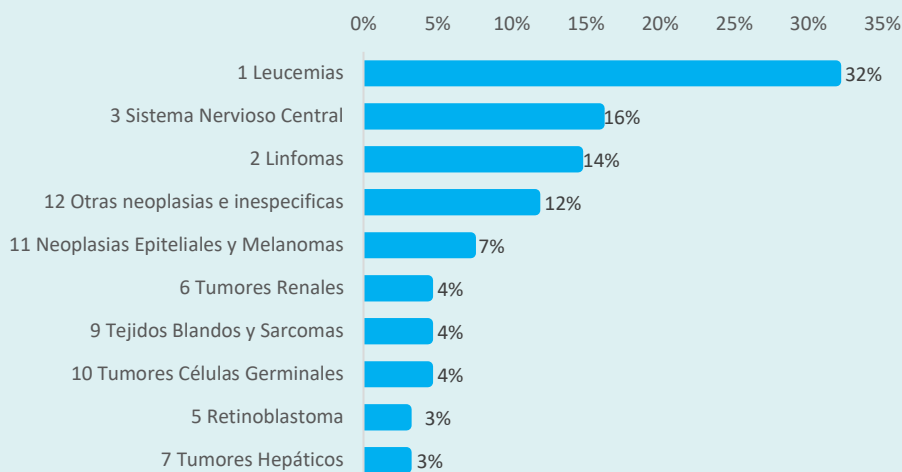


Gráfico 3. Cáncer infantil de 0 a 19 años según diagnóstico. Niñas



ANEXOS

TASAS DE INCIDENCIA DEL CÁNCER INFANTIL DE 0 A 19 AÑOS EN NIÑOS. RESIDENTES EN GUAYAQUIL

GRUPO DIAGNÓSTICO	GRUPOS DE EDAD				CASOS	TASA CRUDA
	0-4	5-9	10-14	15-19		
I. Leucemias	63,46	47,46	30,49	33,61	22,00	43,76
II. Linfomas	31,73	7,91	30,49	8,40	10,00	19,89
III. Sistema Nervioso Central	7,93	47,46	7,62	25,20	11,00	21,88
V. Retinoblastoma	15,86	0,00	0,00	0,00	2,00	3,98
VI. Tumores Renales	15,86	7,91	0,00	0,00	3,00	5,97
VII. Tumores Hepáticos	7,93	0,00	7,62	0,00	2,00	3,98
IX. Tejidos Blandos y Sarcomas	0,00	7,91	0,00	16,80	3,00	5,97
X. Tumores Células Germinales	0,00	0,00	0,00	25,20	3,00	5,97
XI. Neoplasias Epiteliales y Melanomas	0,00	7,91	7,62	25,20	5,00	9,95
XII. Otras neoplasias e inespecíficas	23,80	31,64	0,00	8,40	8,00	15,91
Total	166,57	158,21	83,86	142,82	69	137,26

Tasa por 1.000.000 habitantes

TASAS DE INCIDENCIA DEL CÁNCER INFANTIL DE 0 A 19 AÑOS EN NIÑAS. RESIDENTES EN GUAYAQUIL

GRUPO DIAGNÓSTICO	GRUPOS DE EDAD				CASOS	TASA CRUDA
	0-4	5-9	10-14	15-19		
I. Leucemias	49,31	32,39	15,72	24,76	15,00	30,39
II. Linfomas	8,22	16,20	31,44	8,25	8,00	16,21
III. Sistema Nervioso Central	41,09	40,49	39,30	8,25	16,00	32,42
IV. Neuroblastoma	8,22	0,00	0,00	0,00	1,00	2,03
V. Retinoblastoma	16,44	0,00	0,00	0,00	2,00	4,05
VI. Tumores Renales	24,65	0,00	0,00	0,00	3,00	6,08
VIII. Tumores de Hueso	8,22	8,10	0,00	0,00	2,00	4,05
IX. Tejidos Blandos y Sarcomas	0,00	0,00	15,72	0,00	2,00	4,05
X. Tumores Células Germinales	0,00	8,10	7,86	0,00	2,00	4,05
XI. Neoplasias Epiteliales y Melanomas	0,00	0,00	7,86	49,52	7,00	14,18
XII. Otras neoplasias e inespecíficas	16,44	8,10	7,86	16,51	6,00	12,16
Total	172,57	113,37	125,76	107,28	64	129,66

Tasa por 1.000.000 habitantes

NÚMERO DE CASOS SEGÚN TIPO DE CANCER Y GRUPO ETARIO EN HOMBRES RESIDENTES DE GUAYAQUIL. AÑO 2016

CIE-O	LOCALIZACIÓN TOPOGRÁFICA	GRUPO DE EDAD															TOTAL CASOS	
		0-4	5-9	10-14	15-19	20-24	25-29	30-34	35-39	40-44	45-49	50-54	55-59	60-64	65-69	70-74		75 y más
C01	Base de la lengua	0	0	0	0	0	0	0	0	0	0	1	0	1	0	1	3	
C02	Otras partes y las no especificadas de la lengua	0	0	0	0	0	0	0	0	0	0	1	0	1	0	3	5	
C03	Encía	0	0	0	0	0	0	0	0	1	0	0	0	0	0	0	1	
C04	Piso de la boca	0	0	0	0	0	0	0	0	0	0	0	0	0	1	0	1	
C05	Paladar	1	0	0	1	0	1	0	0	0	1	0	2	1	1	1	9	
C06	Otras partes y las no especificadas de la boca	0	0	0	0	0	0	0	0	1	0	0	0	0	0	0	1	
C07	Glándula parótida	0	0	0	1	0	0	1	0	0	0	0	0	2	1	1	6	
C08	Otras glándulas salivales mayores y las no especificadas	0	0	0	0	0	0	0	1	0	0	0	1	1	0	0	3	
C09	Amígdala	0	0	0	0	0	0	1	2	2	0	1	3	2	0	2	15	
C11	Nasofaringe	0	0	0	0	0	0	1	1	0	0	1	1	1	0	0	5	
C13	Hipo faringe	0	0	0	0	0	0	0	0	0	1	0	0	0	0	0	1	
C15	Esófago	0	0	0	0	0	1	0	0	0	1	4	3	2	1	11	23	
C16	Estomago	0	0	0	0	1	2	2	8	3	9	12	17	16	21	22	48	161
C17	Intestino delgado	0	0	0	0	0	1	0	0	1	1	0	1	1	0	1	7	
C18	Colon	0	0	0	0	0	2	2	2	1	2	3	9	14	11	11	25	82
C19	Unión recto sigmoidea	0	0	0	0	1	0	1	1	1	4	1	3	2	2	0	17	
C20	Recto	0	0	0	0	0	1	1	1	3	2	3	6	3	4	4	34	
C21	Ano y conducto anal	0	0	0	0	0	0	0	0	0	2	0	2	0	1	1	7	
C22	Hígado y conductos biliares	1	0	1	0	0	0	0	2	1	3	1	3	6	9	5	40	
C23	Vesícula biliar	0	0	0	0	0	0	0	0	0	0	0	0	0	1	0	1	
C24	Otras partes y las no especificadas de las vías biliares	0	0	0	0	0	0	0	0	0	2	2	1	2	0	1	11	
C25	Páncreas	0	0	0	0	0	0	0	0	1	2	1	4	2	4	3	19	
C26	Otros sitios y mal definidos de los órganos digestivos	0	0	0	0	0	0	0	0	1	0	0	1	0	1	0	5	
C30	Cavidad nasal y oído medio	0	0	0	0	0	0	0	0	0	0	0	0	0	0	1	1	
C31	Senos paranasales	0	0	0	0	0	0	0	0	0	0	1	0	1	0	0	2	
C32	Laringe	0	0	0	0	0	0	1	1	0	2	3	5	4	3	3	23	
C34	Bronquios y pulmón	0	0	0	0	0	0	0	1	2	1	2	2	8	13	15	58	
C38	Corazón, mediastino y pleura	0	0	0	0	1	0	2	0	1	0	1	0	5	2	2	17	
C40	Huesos, articulaciones y carilargos articulares de los miembros	0	0	0	1	3	0	0	1	0	0	0	1	0	1	1	8	
C41	Huesos, articulaciones y carilargos articulares de otros sitios y de los no especificados	1	0	2	0	0	0	0	0	0	0	1	0	2	0	0	8	
C42	Sistema hematopoyético y reticuloendotelial	8	6	4	4	3	5	3	2	5	13	13	5	16	8	12	26	133

NÚMERO DE CASOS SEGÚN TIPO DE CANCER Y GRUPO ETARIO EN HOMBRES RESIDENTES DE GUAYAQUIL. AÑO 2016

CIE-O	LOCALIZACIÓN TOPOGRÁFICA	GRUPO DE EDAD																TOTAL CASOS
		0-4	5-9	10-14	15-19	20-24	25-29	30-34	35-39	40-44	45-49	50-54	55-59	60-64	65-69	70-74	75 y más	
C44	Piel	0	0	0	1	0	2	10	13	14	18	26	32	57	47	50	130	400
C47	Nervios periféricos y sistema nervioso autónomo	0	0	0	0	0	0	0	1	0	0	0	0	0	0	0	0	1
C48	Peritoneo y retroperitoneal	0	0	0	1	0	0	0	0	1	0	2	1	3	0	2	2	12
C49	Tejido conjuntivo, subcutáneo y de otros tejidos blandos	0	0	0	1	2	3	3	3	2	3	6	5	4	4	0	4	40
C50	Mama	0	0	0	0	0	0	0	0	0	0	0	0	2	0	0	0	2
C60	Pene	0	1	0	0	1	0	0	2	2	0	0	2	3	3	1	4	19
C61	Glándula prostática	0	0	0	0	0	0	0	0	1	2	6	19	43	33	47	96	247
C62	Testículos	0	0	0	3	2	8	10	3	0	0	0	1	2	0	0	1	30
C63	Otros órganos genitales masculinos y los no especificados	0	0	0	0	0	0	0	0	0	0	0	0	0	0	0	1	1
C64	Riñón	2	1	0	0	0	0	0	1	5	5	5	14	7	11	4	4	59
C67	Vejiga urinaria	0	0	0	0	0	0	0	3	0	0	0	3	4	8	5	10	33
C68	Otros órganos urinarios y los no especificados	0	0	0	0	0	0	0	0	0	0	0	0	0	0	0	2	2
C69	Ojo y anexos	2	1	0	1	0	0	0	1	0	0	0	4	0	0	0	3	12
C70	Meninges	0	0	0	0	0	0	0	0	1	0	0	0	0	0	1	0	2
C71	Encéfalo	3	10	1	2	2	8	2	2	3	3	5	3	1	5	7	3	60
C72	Medula espinal, nervios craneales y de otras partes del sistema nervioso central	0	0	0	0	0	0	1	0	0	0	0	0	0	1	0	0	2
C73	Glándula tiroides	0	0	1	0	1	0	0	9	2	4	2	4	4	3	1	1	32
C74	Glándula suprarrenal (adrenal)	0	0	0	0	0	0	0	0	0	0	1	0	0	0	0	0	1
C76	Sitios mal definidos y otros	0	0	0	0	0	0	0	0	1	1	2	1	1	0	1	1	8
C77	Ganglios linfáticos	3	1	2	1	2	5	5	6	1	8	6	7	14	3	7	4	75
C80	Sitio primario desconocido	0	0	0	0	0	0	0	1	0	0	0	4	2	4	4	2	17
Todos los sitios		21	20	11	17	19	39	46	68	56	89	107	171	237	213	218	430	1762
Todos los sitios menos piel		21	20	11	16	19	37	36	55	42	71	81	139	180	166	168	300	1362

NÚMERO DE CASOS SEGÚN TIPO DE CANCER Y GRUPO ETARIO EN MUJERES RESIDENTES DE GUAYAQUIL. AÑO 2016

CIE-O	LOCALIZACIÓN TOPOGRÁFICA	GRUPO DE EDAD															TOTAL CASOS
		0-4	5-9	10-14	15-19	20-24	25-29	30-34	35-39	40-44	45-49	50-54	55-59	60-64	65-69	70-74	
C01	Base de la lengua	0	0	0	0	0	0	0	0	0	1	1	0	0	0	0	2
C02	Otras partes y las no especificadas de la lengua	0	0	0	0	0	0	0	0	0	1	1	0	3	0	3	11
C03	Encía	0	0	0	0	0	0	0	0	0	0	0	0	0	1	0	1
C04	Piso de la boca	0	0	0	0	0	0	0	0	0	0	0	0	0	0	1	1
C05	Paladar	0	0	0	1	0	0	0	0	1	1	0	0	0	1	1	6
C06	Otras partes y las no especificadas de la boca	0	0	0	0	0	0	0	0	0	0	0	0	0	0	2	2
C07	Glándula parótida	0	0	0	0	0	2	0	0	0	0	0	0	0	0	1	3
C08	Otras glándulas salivales mayores y las no especificadas	0	0	0	0	0	0	0	0	0	1	0	0	0	0	0	1
C09	Amígdala	0	0	0	0	0	0	0	1	1	0	0	1	0	1	0	4
C11	Nasofaringe	0	0	0	0	1	0	0	0	1	1	0	0	0	0	0	3
C14	Otros sitios y mal definidos del labio, la cavidad bucal y la faringe	0	0	0	0	0	0	0	0	0	1	0	0	0	0	0	1
C15	Esófago	0	0	0	0	0	0	0	1	0	0	1	1	0	0	1	4
C16	Estomago	0	0	0	0	0	1	1	8	2	8	9	11	11	11	8	91
C17	Intestino delgado	0	1	0	0	0	0	1	1	0	1	2	2	1	0	2	12
C18	Colon	0	0	0	2	2	1	2	5	2	8	10	15	11	13	16	111
C19	Unión recto sigmoidea	0	0	0	0	0	0	0	2	0	1	2	2	3	0	1	18
C20	Recto	0	0	0	0	0	1	4	0	0	4	5	9	5	4	1	46
C21	Ano y conducto anal	0	0	0	0	0	0	1	1	2	0	0	2	2	2	3	19
C22	Hígado y conductos biliares	0	1	0	0	2	0	0	1	0	1	2	1	5	2	3	31
C23	Vesícula biliar	0	0	0	0	0	0	0	0	1	2	5	1	3	2	2	17
C24	Otras partes y las no especificadas de las vías biliares	0	0	0	0	0	1	1	0	0	0	0	1	3	0	0	8
C25	Páncreas	0	0	0	1	1	0	0	0	2	0	1	1	3	4	4	21
C26	Otros sitios y mal definidos de los órganos digestivos	0	0	0	0	0	0	0	0	1	0	0	0	0	0	0	2
C30	Cavidad nasal y oído medio	0	0	0	0	0	0	0	0	0	0	1	1	1	0	0	4
C31	Senos paranasales	0	0	0	0	0	0	0	0	0	1	0	0	0	0	1	2
C32	Laringe	0	0	0	0	0	0	0	0	0	0	1	0	0	1	0	3
C34	Bronquios y pulmón	0	0	0	0	0	1	0	3	2	2	5	8	6	7	6	48
C38	Corazón, mediastino y pleura	0	0	0	0	0	0	2	1	0	1	0	3	1	4	0	17
C40	Huesos, articulaciones y carilargos articulares de los miembros	1	1	0	0	0	0	0	0	1	1	1	1	2	0	0	8
C41	Huesos, articulaciones y carilargos articulares de otros sitios y de los no especificados	0	0	0	0	1	0	0	2	0	1	0	2	0	0	1	7
C42	Sistema hematopoyético y reticuloendotelial	6	4	2	4	3	2	1	6	9	7	6	7	13	10	15	112

NÚMERO DE CASOS SEGÚN TIPO DE CANCER Y GRUPO ETARIO EN MUJERES RESIDENTES DE GUAYAQUIL. AÑO 2016

CIE-O	LOCALIZACIÓN TOPOGRÁFICA	GRUPO DE EDAD															TOTAL CASOS	
		0-4	5-9	10-14	15-19	20-24	25-29	30-34	35-39	40-44	45-49	50-54	55-59	60-64	65-69	70-74		75 y más
C44	Piel	0	0	1	0	3	2	6	12	17	17	26	31	40	36	45	139	375
C47	Nervios periféricos y sistema nervioso autónomo	1	0	0	0	1	0	0	0	0	0	0	0	0	0	0	1	3
C48	Peritoneo y retroperitoneal	0	1	1	0	0	0	1	1	2	2	1	0	0	1	0	2	12
C49	Tejido conjuntivo, subcutáneo y de otros tejidos blandos	0	0	1	0	1	0	3	1	1	2	1	4	3	0	1	4	22
C50	Mama	0	0	0	0	2	8	19	39	54	61	64	64	62	42	29	54	498
C51	Vulva	0	0	0	0	0	0	0	0	0	2	0	2	2	0	3	9	9
C52	Vagina	0	0	0	0	0	0	0	1	1	1	0	0	2	1	3	3	12
C53	Cuello uterino	0	0	0	1	2	5	25	42	31	32	38	24	24	21	17	27	289
C54	Cuerpo uterino	0	0	0	0	1	2	2	4	4	1	7	12	10	13	8	7	71
C55	Útero	0	0	0	0	0	0	0	1	1	0	2	0	1	0	0	1	6
C56	Ovario	0	1	2	0	3	3	4	2	5	13	17	9	10	4	2	2	77
C57	Otros órganos genitales femeninos y los no especificados	0	0	0	0	0	1	0	1	0	0	1	1	0	0	0	0	4
C64	Riñón	4	0	0	0	0	0	0	0	2	2	0	6	5	6	1	4	30
C66	Uréter	0	0	0	0	0	0	0	1	0	0	0	0	0	0	0	0	1
C67	Vejiga urinaria	0	0	0	0	0	1	1	0	0	1	0	1	2	0	1	5	12
C68	Otros órganos urinarios y los no especificados	0	0	0	0	0	0	0	0	0	0	0	0	1	0	0	0	1
C69	Ojo y anexos	2	0	0	0	0	1	0	0	0	1	1	0	0	0	0	2	7
C70	Meninges	0	0	0	0	0	0	0	0	0	0	0	0	0	1	0	0	1
C71	Encéfalo	5	4	5	1	0	1	2	2	3	0	2	3	4	3	2	5	42
C73	Glándula tiroides	0	0	0	2	7	14	13	10	21	24	23	21	11	5	4	3	158
C74	Glándula suprarrenal (adrenal)	0	0	0	0	0	0	0	1	0	0	0	0	0	0	0	0	1
C76	Sitios mal definidos y otros	0	0	0	0	1	1	1	0	0	1	1	1	3	1	0	3	13
C77	Ganglios linfáticos	2	1	4	1	2	6	2	3	3	4	5	1	7	11	6	11	69
C80	Sitio primario desconocido	0	0	0	0	1	1	1	1	1	2	3	2	2	5	1	1	21
Todos los sitios		21	14	16	13	34	55	93	154	171	208	247	249	262	214	192	407	2350
Todos los sitios menos piel		21	14	15	13	31	53	87	142	154	191	221	218	222	178	147	268	1975

TASAS DE INCIDENCIA SEGÚN TIPO DE CÁNCER Y GRUPO ETARIO EN HOMBRES RESIDENTES DE GUAYAQUIL. AÑO 2016

CIE-O	LOCALIZACIÓN TOPOGRÁFICA	GRUPO DE EDAD																TASA CRUDA	TASA ESTÁNDAR ASR
		0-4	5-9	10-14	15-19	20-24	25-29	30-34	35-39	40-44	45-49	50-54	55-59	60-64	65-69	70-74	75 y más		
C01	Base de la lengua	0,00	0,00	0,00	0,00	0,00	0,00	0,00	0,00	0,00	0,00	0,00	2,04	0,00	4,09	0,00	3,84	0,23	0,28
C02	Otras partes y las no especificadas de la lengua	0,00	0,00	0,00	0,00	0,00	0,00	0,00	0,00	0,00	0,00	0,00	2,04	0,00	4,09	0,00	11,51	0,39	0,44
C03	Encía	0,00	0,00	0,00	0,00	0,00	0,00	0,00	0,00	1,27	0,00	0,00	0,00	0,00	0,00	0,00	0,00	0,08	0,08
C04	Piso de la boca	0,00	0,00	0,00	0,00	0,00	0,00	0,00	0,00	0,00	0,00	0,00	0,00	0,00	0,00	5,85	0,00	0,08	0,12
C05	Paladar	0,79	0,00	0,00	0,84	0,00	0,89	0,00	0,00	0,00	0,00	1,66	0,00	5,92	4,09	5,85	3,84	0,70	0,88
C06	Otras partes y las no especificadas de la boca	0,00	0,00	0,00	0,00	0,00	0,00	0,00	0,00	0,00	1,38	0,00	0,00	0,00	0,00	0,00	0,00	0,08	0,08
C07	Glándula parótida	0,00	0,00	0,00	0,84	0,00	0,00	0,94	0,00	0,00	0,00	0,00	0,00	0,00	8,18	5,85	3,84	0,47	0,57
C08	Otras glándulas salivales mayores y las no especificadas	0,00	0,00	0,00	0,00	0,00	0,00	0,00	1,13	0,00	0,00	0,00	0,00	2,96	4,09	0,00	0,00	0,23	0,31
C09	Amígdala	0,00	0,00	0,00	0,00	0,00	0,00	0,94	2,25	2,55	0,00	1,66	6,11	5,92	0,00	11,70	7,67	1,16	1,30
C11	Nasofaringe	0,00	0,00	0,00	0,00	0,00	0,00	0,94	1,13	0,00	0,00	0,00	2,04	2,96	4,09	0,00	0,00	0,39	0,45
C13	Hipo faringe	0,00	0,00	0,00	0,00	0,00	0,00	0,00	0,00	0,00	1,38	0,00	0,00	0,00	0,00	0,00	0,00	0,08	0,08
C15	Esófago	0,00	0,00	0,00	0,00	0,00	0,89	0,00	0,00	0,00	0,00	1,66	8,14	8,88	8,18	5,85	42,19	1,78	2,04
C16	Estomago	0,00	0,00	0,00	0,00	0,85	1,77	1,89	9,00	3,82	12,40	19,87	34,60	47,37	85,92	128,73	184,08	12,49	14,94
C17	Intestino delgado	0,00	0,00	0,00	0,00	0,00	0,89	0,00	0,00	1,27	1,38	0,00	2,04	2,96	0,00	5,85	3,84	0,54	0,62
C18	Colon	0,00	0,00	0,00	0,00	0,00	1,77	1,89	2,25	1,27	2,76	4,97	18,32	41,45	45,00	64,37	95,88	6,36	7,83
C19	Unión recto sigmoidea	0,00	0,00	0,00	0,00	0,85	0,00	0,94	1,13	1,27	5,51	1,66	6,11	5,92	8,18	0,00	3,84	1,32	1,49
C20	Recto	0,00	0,00	0,00	0,00	0,00	0,89	0,94	1,13	3,82	2,76	4,97	12,21	8,88	16,37	23,41	23,01	2,64	3,10
C21	Ano y conducto anal	0,00	0,00	0,00	0,00	0,00	0,00	0,00	0,00	0,00	2,76	0,00	4,07	0,00	4,09	5,85	3,84	0,54	0,65
C22	Hígado y conductos biliares	0,79	0,00	0,76	0,00	0,00	0,00	0,00	2,25	1,27	4,13	1,66	6,11	17,76	36,82	29,26	30,68	3,10	3,96
C23	Vesícula biliar	0,00	0,00	0,00	0,00	0,00	0,00	0,00	0,00	0,00	0,00	0,00	0,00	4,09	0,00	0,00	0,00	0,08	0,12
C24	Otras partes y las no especificadas de las vías biliares	0,00	0,00	0,00	0,00	0,00	0,00	0,00	0,00	0,00	2,76	3,31	2,04	5,92	0,00	5,85	11,51	0,85	1,00
C25	Páncreas	0,00	0,00	0,00	0,00	0,00	0,00	0,00	0,00	1,27	2,76	1,66	8,14	5,92	16,37	17,55	7,67	1,47	1,88
C26	Otros sitios y mal definidos de los órganos digestivos	0,00	0,00	0,00	0,00	0,00	0,00	0,00	0,00	1,27	0,00	0,00	2,04	0,00	4,09	0,00	7,67	0,39	0,43
C30	Cavidad nasal y oído medio	0,00	0,00	0,00	0,00	0,00	0,00	0,00	0,00	0,00	0,00	0,00	0,00	0,00	0,00	5,85	0,00	0,08	0,12
C31	Senos paranasales	0,00	0,00	0,00	0,00	0,00	0,00	0,00	0,00	0,00	0,00	0,00	2,04	0,00	4,09	0,00	0,00	0,16	0,21
C32	Laringe	0,00	0,00	0,00	0,00	0,00	0,00	0,94	1,13	0,00	2,76	4,97	10,18	11,84	12,27	17,55	3,84	1,78	2,22
C34	Bronquios y pulmón	0,00	0,00	0,00	0,00	0,00	0,00	0,00	1,13	2,55	1,38	3,31	4,07	23,69	53,19	87,77	53,69	4,50	6,01
C38	Corazón, mediastino y pleura	0,00	0,00	0,00	0,00	0,85	0,00	1,89	0,00	1,27	0,00	1,66	0,00	14,80	8,18	11,70	11,51	1,32	1,64
C40	Huesos, articulaciones y carilargos articulares de los miembros	0,00	0,00	0,00	0,84	2,56	0,00	0,00	1,13	0,00	0,00	0,00	2,04	0,00	4,09	5,85	0,00	0,62	0,67
C41	Huesos, articulaciones y carilargos articulares de otros sitios y de los no especificados	0,79	0,00	1,52	0,00	0,00	0,00	0,00	0,00	0,00	0,00	1,66	0,00	5,92	0,00	0,00	7,67	0,62	0,71
C42	Sistema hematopoyético y reticuloendotelial	6,35	4,75	3,05	3,36	2,56	4,44	2,83	2,25	6,36	17,91	21,53	10,18	47,37	32,73	70,22	99,71	10,31	11,89

Tasas por cada 100.000 habitantes

TASAS DE INCIDENCIA SEGÚN TIPO DE CÁNCER Y GRUPO ETARIO EN HOMBRES RESIDENTES DE GUAYAQUIL. AÑO 2016

CIE-O	LOCALIZACIÓN TOPOGRÁFICA	GRUPO DE EDAD																TASA CRUDA	TASA ESTÁNDAR ASR
		0-4	5-9	10-14	15-19	20-24	25-29	30-34	35-39	40-44	45-49	50-54	55-59	60-64	65-69	70-74	75 y más		
C44	Piel	0,00	0,00	0,00	0,84	0,00	1,77	9,44	14,63	17,82	24,80	43,06	65,12	168,76	192,29	292,57	498,56	31,02	37,32
C47	Nervios periféricos y sistema nervioso autónomo	0,00	0,00	0,00	0,00	0,00	0,00	0,00	0,00	1,13	0,00	0,00	0,00	0,00	0,00	0,00	0,00	0,08	0,07
C48	Peritoneo y retroperitoneal	0,00	0,00	0,00	0,84	0,00	0,00	0,00	0,00	1,27	0,00	3,31	2,04	8,88	0,00	11,70	7,67	0,93	1,14
C49	Tejido conjuntivo, subcutáneo y de otros tejidos blandos	0,00	0,00	0,00	0,84	1,71	2,66	2,83	3,38	2,55	4,13	9,94	10,18	11,84	16,37	0,00	15,34	3,10	3,38
C50	Mama	0,00	0,00	0,00	0,00	0,00	0,00	0,00	0,00	0,00	0,00	0,00	0,00	5,92	0,00	0,00	0,00	0,16	0,24
C60	Pene	0,00	0,79	0,00	0,00	0,85	0,00	0,00	2,25	2,55	0,00	0,00	4,07	8,88	12,27	5,85	15,34	1,47	1,75
C61	Glándula prostática	0,00	0,00	0,00	0,00	0,00	0,00	0,00	0,00	1,27	2,76	9,94	38,67	127,31	135,01	275,01	364,33	19,08	24,22
C62	Testículos	0,00	0,00	0,00	2,52	1,71	7,10	9,44	3,38	0,00	0,00	0,00	2,04	5,92	0,00	0,00	3,84	2,33	2,10
C63	Otros órganos genitales masculinos y los no especificados	0,00	0,00	0,00	0,00	0,00	0,00	0,00	0,00	0,00	0,00	0,00	0,00	0,00	0,00	0,00	3,84	0,08	0,08
C64	Riñón	1,59	0,79	0,00	0,00	0,00	0,00	0,00	1,13	6,36	6,89	8,28	28,49	20,72	45,00	23,41	15,34	4,58	5,64
C67	Vejiga urinaria	0,00	0,00	0,00	0,00	0,00	0,00	0,00	3,38	0,00	0,00	0,00	6,11	11,84	32,73	29,26	38,35	2,56	3,26
C68	Otros órganos urinarios y los no especificados	0,00	0,00	0,00	0,00	0,00	0,00	0,00	0,00	0,00	0,00	0,00	0,00	0,00	0,00	0,00	7,67	0,16	0,15
C69	Ojo y anexos	1,59	0,79	0,00	0,84	0,00	0,00	0,00	1,13	0,00	0,00	0,00	8,14	0,00	0,00	0,00	11,51	0,93	0,97
C70	Meninges	0,00	0,00	0,00	0,00	0,00	0,00	0,00	0,00	1,27	0,00	0,00	0,00	0,00	0,00	5,85	0,00	0,16	0,19
C71	Encéfalo	2,38	7,91	0,76	1,68	1,71	7,10	1,89	2,25	3,82	4,13	8,28	6,11	2,96	20,46	40,96	11,51	4,65	5,17
C72	Medula espinal, nervios craneales y de otras partes del sistema nervioso central	0,00	0,00	0,00	0,00	0,00	0,00	0,94	0,00	0,00	0,00	0,00	0,00	0,00	4,09	0,00	0,00	0,16	0,18
C73	Glándula tiroides	0,00	0,00	0,76	0,00	0,85	0,00	0,00	10,13	2,55	5,51	3,31	8,14	11,84	12,27	5,85	3,84	2,48	2,76
C74	Glándula suprarrenal (adrenal)	0,00	0,00	0,00	0,00	0,00	0,00	0,00	0,00	0,00	0,00	1,66	0,00	0,00	0,00	0,00	0,00	0,08	0,08
C76	Sitios mal definidos y otros	0,00	0,00	0,00	0,00	0,00	0,00	0,00	0,00	1,27	1,38	3,31	2,04	2,96	0,00	5,85	3,84	0,62	0,72
C77	Ganglios linfáticos	2,38	0,79	1,52	0,84	1,71	4,44	4,72	6,75	1,27	11,02	9,94	14,25	41,45	12,27	40,96	15,34	5,82	6,71
C80	Sitio primario desconocido	0,00	0,00	0,00	0,00	0,00	0,00	0,00	1,13	0,00	0,00	0,00	8,14	5,92	16,37	23,41	7,67	1,32	1,74
Todos los sitios		16,66	15,82	8,39	14,28	16,21	34,60	43,41	76,54	71,27	122,60	177,19	347,99	701,68	871,45	1275,60	1645,25	136,57	163,92
Todos los sitios menos c44		16,66	15,82	8,39	13,44	16,21	32,83	33,98	61,91	53,45	97,80	134,14	282,87	532,92	679,16	983,03	1146,69	105,55	126,61

Tasas por cada 100.000 habitantes

TASAS DE INCIDENCIA SEGÚN TIPO DE CÁNCER Y GRUPO ETARIO EN MUJERES RESIDENTES DE GUAYAQUIL. AÑO 2016

CIE-O	LOCALIZACIÓN TOPOGRÁFICA	GRUPO DE EDAD															TASA CRUDA	TASA ESTÁNDAR ASR	
		0-4	5-9	10-14	15-19	20-24	25-29	30-34	35-39	40-44	45-49	50-54	55-59	60-64	65-69	70-74			75 y más
C01	Base de la lengua	0,00	0,00	0,00	0,00	0,00	0,00	0,00	0,00	0,00	1,28	1,56	0,00	0,00	0,00	0,00	0,00	0,15	0,16
C02	Otras partes y las no especificadas de la lengua	0,00	0,00	0,00	0,00	0,00	0,00	0,00	0,00	0,00	1,28	1,56	0,00	8,05	0,00	14,66	8,60	0,83	0,94
C03	Encía	0,00	0,00	0,00	0,00	0,00	0,00	0,00	0,00	0,00	0,00	0,00	0,00	0,00	0,00	4,89	0,00	0,08	0,10
C04	Piso de la boca	0,00	0,00	0,00	0,00	0,00	0,00	0,00	0,00	0,00	0,00	0,00	0,00	0,00	0,00	0,00	2,87	0,08	0,06
C05	Paladar	0,00	0,00	0,00	0,83	0,00	0,00	0,00	0,00	1,21	1,28	0,00	0,00	0,00	3,57	4,89	2,87	0,45	0,49
C06	Otras partes y las no especificadas de la boca	0,00	0,00	0,00	0,00	0,00	0,00	0,00	0,00	0,00	0,00	0,00	0,00	0,00	0,00	9,77	0,00	0,15	0,20
C07	Glándula parótida	0,00	0,00	0,00	0,00	0,00	1,73	0,00	0,00	0,00	0,00	0,00	0,00	0,00	0,00	4,89	0,00	0,23	0,24
C08	Otras glándulas salivales mayores y las no especificadas	0,00	0,00	0,00	0,00	0,00	0,00	0,00	0,00	1,28	0,00	0,00	0,00	0,00	0,00	0,00	0,00	0,08	0,08
C09	Amígdala	0,00	0,00	0,00	0,00	0,00	0,00	0,00	1,08	1,21	0,00	0,00	1,91	0,00	3,57	0,00	0,00	0,30	0,32
C11	Nasofaringe	0,00	0,00	0,00	0,00	0,83	0,00	0,00	0,00	1,21	1,28	0,00	0,00	0,00	0,00	0,00	0,00	0,23	0,22
C14	Otros sitios y mal definidos del labio, la cavidad bucal y la faringe	0,00	0,00	0,00	0,00	0,00	0,00	0,00	0,00	0,00	1,28	0,00	0,00	0,00	0,00	0,00	0,00	0,08	0,08
C15	Esófago	0,00	0,00	0,00	0,00	0,00	0,00	0,00	1,08	0,00	0,00	1,56	1,91	0,00	0,00	4,89	0,00	0,30	0,32
C16	Estomago	0,00	0,00	0,00	0,00	0,00	0,86	0,92	8,67	2,42	10,26	14,08	20,96	29,52	39,24	39,09	60,18	6,85	7,29
C17	Intestino delgado	0,00	0,81	0,00	0,00	0,00	0,00	0,92	1,08	0,00	1,28	3,13	3,81	2,68	0,00	9,77	2,87	0,90	0,95
C18	Colon	0,00	0,00	0,00	1,65	1,66	0,86	1,84	5,42	2,42	10,26	15,65	28,58	29,52	46,38	78,18	68,78	8,36	8,98
C19	Unión recto sigmoidea	0,00	0,00	0,00	0,00	0,00	0,00	0,00	2,17	0,00	1,28	3,13	3,81	8,05	0,00	4,89	20,06	1,36	1,34
C20	Recto	0,00	0,00	0,00	0,00	0,00	0,86	3,68	0,00	0,00	5,13	7,82	17,15	13,42	14,27	4,89	37,26	3,46	3,48
C21	Ano y conducto anal	0,00	0,00	0,00	0,00	0,00	0,00	0,92	1,08	2,42	0,00	0,00	3,81	5,37	7,13	14,66	17,20	1,43	1,48
C22	Hígado y conductos biliares	0,00	0,81	0,00	0,00	1,66	0,00	0,00	1,08	0,00	1,28	3,13	1,91	13,42	7,13	14,66	37,26	2,33	2,38
C23	Vesícula biliar	0,00	0,00	0,00	0,00	0,00	0,00	0,00	0,00	1,21	2,56	7,82	1,91	8,05	7,13	9,77	2,87	1,28	1,48
C24	Otras partes y las no especificadas de las vías biliares	0,00	0,00	0,00	0,00	0,00	0,86	0,92	0,00	0,00	0,00	0,00	1,91	8,05	0,00	0,00	5,73	0,60	0,64
C25	Páncreas	0,00	0,00	0,00	0,83	0,83	0,00	0,00	0,00	2,42	0,00	1,56	1,91	8,05	14,27	19,55	11,46	1,58	1,81
C26	Otros sitios y mal definidos de los órganos digestivos	0,00	0,00	0,00	0,00	0,00	0,00	0,00	0,00	1,21	0,00	0,00	0,00	0,00	0,00	2,87	0,15	0,13	
C30	Cavidad nasal y oído medio	0,00	0,00	0,00	0,00	0,00	0,00	0,00	0,00	0,00	0,00	1,56	1,91	2,68	0,00	0,00	2,87	0,30	0,32
C31	Senos paranasales	0,00	0,00	0,00	0,00	0,00	0,00	0,00	0,00	0,00	1,28	0,00	0,00	0,00	0,00	4,89	0,00	0,15	0,18
C32	Laringe	0,00	0,00	0,00	0,00	0,00	0,00	0,00	0,00	0,00	0,00	1,56	0,00	0,00	3,57	0,00	2,87	0,23	0,24
C34	Bronquios y pulmón	0,00	0,00	0,00	0,00	0,00	0,86	0,00	3,25	2,42	2,56	7,82	15,25	16,10	24,97	29,32	22,93	3,61	4,00
C38	Corazón, mediastino y pleura	0,00	0,00	0,00	0,00	0,00	0,00	1,84	1,08	0,00	1,28	0,00	5,72	2,68	14,27	0,00	14,33	1,28	1,30
C40	Huesos, articulaciones y carilargos articulares de los miembros	0,82	0,81	0,00	0,00	0,00	0,00	0,00	0,00	1,21	1,28	1,56	1,91	5,37	0,00	0,00	0,00	0,60	0,70
C41	Huesos, articulaciones y carilargos articulares de otros sitios y de los no especificados	0,00	0,00	0,00	0,00	0,83	0,00	0,00	2,17	0,00	1,28	0,00	3,81	0,00	0,00	4,89	0,00	0,53	0,52
C42	Sistema hematopoyético y reticuloendotelial	4,93	3,24	1,57	3,30	2,50	1,73	0,92	6,50	10,91	8,97	9,39	13,34	34,89	35,67	73,30	48,72	8,43	9,24

Tasas por cada 100.000 habitantes

TASAS DE INCIDENCIA SEGÚN TIPO DE CÁNCER Y GRUPO ETARIO EN MUJERES RESIDENTES DE GUAYAQUIL. AÑO 2016

CIE-O	LOCALIZACIÓN TOPOGRÁFICA	GRUPO DE EDAD																TASA CRUDA	TASA ESTÁNDAR ASR
		0-4	5-9	10-14	15-19	20-24	25-29	30-34	35-39	40-44	45-49	50-54	55-59	60-64	65-69	70-74	75 y más		
C44	Piel	0,00	0,00	0,79	0,00	2,50	1,73	5,52	13,01	20,61	21,79	40,68	59,07	107,36	128,42	219,89	398,36	28,24	28,97
C47	Nervios periféricos y sistema nervioso autónomo	0,82	0,00	0,00	0,00	0,83	0,00	0,00	0,00	0,00	0,00	0,00	0,00	0,00	0,00	0,00	2,87	0,23	0,22
C48	Peritoneo y retroperitoneal	0,00	0,81	0,79	0,00	0,00	0,00	0,92	1,08	2,42	2,56	1,56	0,00	0,00	3,57	0,00	5,73	0,90	0,87
C49	Tejido conjuntivo, subcutáneo y de otros tejidos blandos	0,00	0,00	0,79	0,00	0,83	0,00	2,76	1,08	1,21	2,56	1,56	7,62	8,05	0,00	4,89	11,46	1,66	1,63
C50	Mama	0,00	0,00	0,00	0,00	1,66	6,92	17,47	42,28	65,46	78,20	100,13	121,96	166,41	149,83	141,71	154,76	37,50	39,86
C51	Vulva	0,00	0,00	0,00	0,00	0,00	0,00	0,00	0,00	0,00	0,00	3,13	0,00	5,37	7,13	0,00	8,60	0,68	0,76
C52	Vagina	0,00	0,00	0,00	0,00	0,00	0,00	0,00	1,08	1,21	1,28	0,00	0,00	5,37	3,57	14,66	8,60	0,90	1,00
C53	Cuello uterino	0,00	0,00	0,00	0,83	1,66	4,32	22,99	45,53	37,58	41,02	59,45	45,74	64,42	74,91	83,07	77,38	21,76	22,22
C54	Cuerpo uterino	0,00	0,00	0,00	0,00	0,83	1,73	1,84	4,34	4,85	1,28	10,95	22,87	26,84	46,38	39,09	20,06	5,35	6,05
C55	Útero	0,00	0,00	0,00	0,00	0,00	0,00	0,00	1,08	1,21	0,00	3,13	0,00	2,68	0,00	0,00	2,87	0,45	0,46
C56	Ovario	0,00	0,81	1,57	0,00	2,50	2,59	3,68	2,17	6,06	16,67	26,60	17,15	26,84	14,27	9,77	5,73	5,80	6,17
C57	Otros órganos genitales femeninos y los no especificados	0,00	0,00	0,00	0,00	0,00	0,86	0,00	1,08	0,00	0,00	1,56	1,91	0,00	0,00	0,00	0,00	0,30	0,29
C64	Riñón	3,29	0,00	0,00	0,00	0,00	0,00	0,00	0,00	2,42	2,56	0,00	11,43	13,42	21,40	4,89	11,46	2,26	2,66
C66	Uréter	0,00	0,00	0,00	0,00	0,00	0,00	0,00	1,08	0,00	0,00	0,00	0,00	0,00	0,00	0,00	0,00	0,08	0,07
C67	Vejiga urinaria	0,00	0,00	0,00	0,00	0,00	0,86	0,92	0,00	0,00	1,28	0,00	1,91	5,37	0,00	4,89	14,33	0,90	0,88
C68	Otros órganos urinarios y los no especificados	0,00	0,00	0,00	0,00	0,00	0,00	0,00	0,00	0,00	0,00	0,00	0,00	2,68	0,00	0,00	0,00	0,08	0,11
C69	Ojo y anexos	1,64	0,00	0,00	0,00	0,00	0,86	0,00	0,00	0,00	1,28	1,56	0,00	0,00	0,00	0,00	5,73	0,53	0,54
C70	Meninges	0,00	0,00	0,00	0,00	0,00	0,00	0,00	0,00	0,00	0,00	0,00	0,00	0,00	3,57	0,00	0,00	0,08	0,11
C71	Encéfalo	4,11	3,24	3,93	0,83	0,00	0,86	1,84	2,17	3,64	0,00	3,13	5,72	10,74	10,70	9,77	14,33	3,16	3,39
C73	Glándula tiroides	0,00	0,00	0,00	1,65	5,83	12,11	11,95	10,84	25,45	30,77	35,99	40,02	29,52	17,84	19,55	8,60	11,90	12,00
C74	Glándula suprarrenal (adrenal)	0,00	0,00	0,00	0,00	0,00	0,00	0,00	1,08	0,00	0,00	0,00	0,00	0,00	0,00	0,00	0,00	0,08	0,07
C76	Sitios mal definidos y otros	0,00	0,00	0,00	0,00	0,83	0,86	0,92	0,00	0,00	1,28	1,56	1,91	8,05	3,57	0,00	8,60	0,98	1,02
C77	Ganglios linfáticos	1,64	0,81	3,14	0,83	1,66	5,19	1,84	3,25	3,64	5,13	7,82	1,91	18,79	39,24	29,32	31,52	5,20	5,63
C80	Sitio primario desconocido	0,00	0,00	0,00	0,00	0,83	0,86	0,92	1,08	1,21	2,56	4,69	3,81	5,37	17,84	4,89	2,87	1,58	1,77
Todos los sitios		17,26	11,34	12,58	10,73	28,30	47,57	85,51	166,95	207,28	266,66	386,45	474,50	703,22	763,41	938,19	1166,42	176,98	186,38
Todos los sitios menos piel		17,26	11,34	11,79	10,73	25,81	45,84	80,00	153,94	186,67	244,87	345,77	415,43	595,86	634,99	718,30	768,06	148,73	157,41

Tasas por cada 100.000 habitantes

LOCALIZACIÓN TOPOGRÁFICA SEGÚN DIAGNÓSTICO HISTOLÓGICO Y SEXO. RESIDENTES EN GUAYAQUIL 2016

CIE-O	Localización topográfica	Morfología			Hombre		Mujer		Total		
					No.	%	No.	%	No.	%	
C01	Base de la lengua	807	0	3	Carcinoma epidermoide, SAI	1	33%		0%	1	20%
		807	1	3	Carcinoma epidermoide, tipo queratinizante, SAI	2	67%	2	100%	4	80%
Total					3	100%	2	100%	5	100%	
C02	Otras y las no especificadas de la lengua	805	1	3	Carcinoma verrugoso, SAI		0%	1	9%	1	6%
		807	0	3	Carcinoma epidermoide, SAI	3	60%	4	36%	7	44%
		807	1	3	Carcinoma epidermoide, tipo queratinizante, SAI	1	20%	6	55%	7	44%
		814	0	3	Adenocarcinoma, SAI	1	20%		0%	1	6%
Total					5	100%	11	100%	16	100%	
C03	Encía	807	1	3	Carcinoma epidermoide, tipo queratinizante, SAI	1	100%		0%	1	50%
		820	0	3	Carcinoma adenoide quístico		0%	1	100%	1	50%
Total					1	100%	1	100%	2	100%	
C04	Piso de la boca	807	0	3	Carcinoma epidermoide, SAI	1	100%		0%	1	50%
		807	1	3	Carcinoma epidermoide, tipo queratinizante, SAI		0%	1	100%	1	50%
Total					1	100%	1	100%	2	100%	
C05	Paladar	800	0	3	Neoplasia maligna		0%	1	17%	1	7%
		807	0	3	Carcinoma epidermoide, SAI	2	22%		0%	2	13%
		807	1	3	Carcinoma epidermoide, tipo queratinizante, SAI	4	44%	1	17%	5	33%
		820	0	3	Carcinoma adenoide quístico		0%	1	17%	1	7%
		843	0	3	Carcinoma mucoepidermoide	1	11%	3	50%	4	27%
		894	0	3	Tumor mixto maligno, SAI	1	11%		0%	1	7%
		968	0	3	Linfoma maligno difuso tipo B de células grandes, SAI	1	11%		0%	1	7%
Total					9	100%	6	100%	15	100%	
C06	Otras y las no especificadas de la boca	807	0	3	Carcinoma epidermoide, SAI		0%	2	100%	2	67%
		807	1	3	Carcinoma epidermoide, tipo queratinizante, SAI	1	100%		0%	1	33%
Total					1	100%	2	100%	3	100%	
C07	Glándula parótida	800	0	3	Neoplasia maligna	1	17%	1	33%	2	22%
		807	0	3	Carcinoma epidermoide, SAI		0%	1	33%	1	11%
		814	7	3	Adenocarcinoma basocelular	1	17%		0%	1	11%
		820	0	3	Carcinoma adenoide quístico	1	17%	1	33%	2	22%
		843	0	3	Carcinoma mucoepidermoide	3	50%		0%	3	33%
Total					6	100%	3	100%	9	100%	
C08	Otras glándulas salivales	801	0	3	Carcinoma, SAI	1	33%		0%	1	25%
		808	2	3	Carcinoma linfoepitelial	1	33%		0%	1	25%
		820	0	3	Carcinoma adenoide quístico		0%	1	100%	1	25%
		843	0	3	Carcinoma mucoepidermoide	1	33%		0%	1	25%
Total					3	100%	1	100%	4	100%	
C09	Amígdala	800	0	3	Neoplasia maligna		0%	1	25%	1	5%
		807	0	3	Carcinoma epidermoide, SAI	10	67%	1	25%	11	58%
		807	1	3	Carcinoma epidermoide, tipo queratinizante, SAI	1	7%		0%	1	5%
		807	2	3	Carcinoma epidermoide de células grandes, tipo no queratinizante, SAI	3	20%		0%	3	16%
		968	0	3	Linfoma maligno difuso tipo B de células grandes, SAI	1	7%	2	50%	3	16%
Total					15	100%	4	100%	19	100%	
C11	Nasofaringe	807	0	3	Carcinoma epidermoide, SAI	2	40%	1	33%	3	38%
		807	2	3	Carcinoma epidermoide de células grandes, tipo no queratinizante, SAI	3	60%	1	33%	4	50%
		808	2	3	Carcinoma linfoepitelial		0%	1	33%	1	13%
Total					5	100%	3	100%	8	100%	
C13	Hipofaringe	807	1	3	Carcinoma epidermoide, tipo queratinizante, SAI	1	100%			1	100%
		Total					1	100%			1
C14	Otros sitios y los mal definidos del labio, la cavidad bucal y la faringe	807	0	3	Carcinoma epidermoide, SAI			1	100%	1	100%
		Total							1	100%	1
C15	Esófago	800	0	3	Neoplasia maligna	2	9%		0%	2	7%
		802	0	3	Carcinoma indiferenciado, SAI	1	4%		0%	1	4%
		807	0	3	Carcinoma epidermoide, SAI	3	13%		0%	3	11%
		807	1	3	Carcinoma epidermoide, tipo queratinizante, SAI	2	9%		0%	2	7%
		807	2	3	Carcinoma epidermoide de células grandes, tipo no queratinizante, SAI	2	9%		0%	2	7%
		814	0	3	Adenocarcinoma, SAI	7	30%	3	75%	10	37%
		814	4	3	Adenocarcinoma, tipo intestinal	2	9%		0%	2	7%
		821	1	3	Adenocarcinoma tubular	2	9%		0%	2	7%
		849	0	3	Carcinoma de células en anillo de sello	1	4%	1	25%	2	7%
		856	0	3	Carcinoma adenoescamoso	1	4%		0%	1	4%
Total					23	100%	4	100%	27	100%	

CIE-O	Localización topográfica	Morfología		Hombre		Mujer		Total			
				No.	%	No.	%	No.	%		
C16	Estómago	800	0	3	Neoplasia maligna	6	4%	9	10%	15	6%
		800	2	3	Tumor maligno de células pequeñas	1	1%		0%	1	0%
		801	0	3	Carcinoma, SAI	3	2%	4	4%	7	3%
		807	0	3	Carcinoma epidermoide, SAI		0%	1	1%	1	0%
		814	0	3	Adenocarcinoma, SAI	34	21%	9	10%	43	17%
		814	4	3	Adenocarcinoma, tipo intestinal	59	37%	30	33%	89	35%
		814	5	3	Carcinoma, tipo difuso	9	6%	11	12%	20	8%
		821	1	3	Adenocarcinoma tubular	8	5%	5	5%	13	5%
		824	0	3	Tumor carcinoide, SAI	1	1%		0%	1	0%
		824	6	3	Carcinoma neuroendocrino, SAI	1	1%		0%	1	0%
		826	3	3	Adenocarcinoma en adenoma tubulovelloso	1	1%		0%	1	0%
		848	0	3	Adenocarcinoma mucinoso	3	2%	1	1%	4	2%
		849	0	3	Carcinoma de células en anillo de sello	30	19%	21	23%	51	20%
		856	0	3	Carcinoma adenoescamoso	1	1%		0%	1	0%
		893	6	3	Sarcoma del estroma gastrointestinal	1	1%		0%	1	0%
		914	0	3	Sarcoma de Kaposi	1	1%		0%	1	0%
		959	1	3	Linfoma maligno no Hodgkin, SAI	1	1%		0%	1	0%
		968	0	3	Linfoma maligno difuso tipo B de células grandes, SAI	1	1%		0%	1	0%
Total						161	100%	91	100%	252	100%
C17	Intestino delgado	800	0	3	Neoplasia maligna	1	14%	1	8%	2	11%
		814	0	3	Adenocarcinoma, SAI	4	57%	7	58%	11	58%
		814	4	3	Adenocarcinoma, tipo intestinal		0%	1	8%	1	5%
		824	0	3	Tumor carcinoide, SAI	1	14%		0%	1	5%
		824	6	3	Carcinoma neuroendocrino, SAI		0%	1	8%	1	5%
		967	0	3	Linfoma maligno de linfocitos B pequeños, SAI	1	14%	1	8%	2	11%
		968	0	3	Linfoma maligno difuso tipo B de células grandes, SAI		0%	1	8%	1	5%
Total						7	100%	12	100%	19	100%
C18	Colón	800	0	3	Neoplasia maligna	1	1%	5	5%	6	3%
		801	0	3	Carcinoma, SAI	1	1%	1	1%	2	1%
		814	0	3	Adenocarcinoma, SAI	53	65%	72	65%	125	65%
		814	4	3	Adenocarcinoma, tipo intestinal	13	16%	7	6%	20	10%
		821	0	3	Adenocarcinoma en pólipo adenomatoso	1	1%	1	1%	2	1%
		821	1	3	Adenocarcinoma tubular	3	4%	8	7%	11	6%
		824	0	3	Tumor carcinoide, SAI	1	1%	4	4%	5	3%
		824	6	3	Carcinoma neuroendocrino, SAI	1	1%	1	1%	2	1%
		826	2	3	Adenocarcinoma velloso		0%	1	1%	1	1%
		848	0	3	Adenocarcinoma mucinoso	4	5%	8	7%	12	6%
		848	1	3	Adenocarcinoma productor de mucina		0%	1	1%	1	1%
		849	0	3	Carcinoma de células en anillo de sello	1	1%		0%	1	1%
		885	0	3	Liposarcoma, SAI	1	1%		0%	1	1%
		889	0	3	Leiomiomasarcoma, SAI		0%	2	2%	2	1%
		968	0	3	Linfoma maligno difuso tipo B de células grandes, SAI	2	2%		0%	2	1%
Total						82	100%	111	100%	193	100%
C19	Unión Recto sigmoidea	800	1	3	Células tumorales malignas	1	6%		0%	1	3%
		801	0	3	Carcinoma, SAI	1	6%	1	6%	2	6%
		814	0	3	Adenocarcinoma, SAI	10	59%	13	72%	23	66%
		814	4	3	Adenocarcinoma, tipo intestinal	2	12%	2	11%	4	11%
		821	0	3	Adenocarcinoma en pólipo adenomatoso	1	6%		0%	1	3%
		824	6	3	Carcinoma neuroendocrino, SAI		0%	1	6%	1	3%
		826	3	3	Adenocarcinoma en adenoma tubulovelloso		0%	1	6%	1	3%
		848	0	3	Adenocarcinoma mucinoso	1	6%		0%	1	3%
		968	0	3	Linfoma maligno difuso tipo B de células grandes, SAI	1	6%		0%	1	3%
Total						17	100%	18	100%	35	100%
C20	Recto	800	0	3	Neoplasia maligna	3	9%	2	4%	5	6%
		807	0	3	Carcinoma epidermoide, SAI		0%	8	17%	8	10%
		807	1	3	Carcinoma epidermoide, tipo queratinizante, SAI		0%	1	2%	1	1%
					Carcinoma epidermoide de células grandes, tipo no queratinizante, SAI		0%	1	2%	1	1%
		807	2	3	Carcinoma cloacogénico		0%	1	2%	1	1%
		812	4	3	Adenocarcinoma, SAI	21	62%	23	50%	44	55%
		814	4	3	Adenocarcinoma, tipo intestinal	6	18%	4	9%	10	13%
		821	1	3	Adenocarcinoma tubular	2	6%	1	2%	3	4%
		824	0	3	Tumor carcinoide, SAI	1	3%	2	4%	3	4%
		826	2	3	Adenocarcinoma velloso		0%	1	2%	1	1%
		848	0	3	Adenocarcinoma mucinoso		0%	1	2%	1	1%
		849	0	3	Carcinoma de células en anillo de sello	1	3%	1	2%	2	3%
		Total						34	100%	46	100%

CIE-O	Localización topográfica	Morfología		Hombre		Mujer		Total			
				No.	%	No.	%	No.	%		
C21	Año y conducto anal	807	0	3	Carcinoma epidermoide, SAI	2	29%	7	37%	9	35%
		807	1	3	Carcinoma epidermoide, tipo queratinizante, SAI		0%	3	16%	3	12%
		807	2	3	Carcinoma epidermoide de células grandes, tipo no queratinizante, SAI		0%	2	11%	2	8%
		807	3	3	Carcinoma epidermoide de células pequeñas, tipo no queratinizante		0%	1	5%	1	4%
		812	3	3	Carcinoma basaloide		0%	1	5%	1	4%
		812	4	3	Carcinoma cloacogénico	1	14%	3	16%	4	15%
		814	0	3	Adenocarcinoma, SAI	4	57%	2	11%	6	23%
		Total					7	100%	19	100%	26
C22	Hígado y vías biliares intrahepáticas	800	0	3	Neoplasia maligna	11	28%	10	32%	21	30%
		801	0	3	Carcinoma, SAI		0%	4	13%	4	6%
		814	0	3	Adenocarcinoma, SAI	2	5%	2	6%	4	6%
		816	0	3	Colangiocarcinoma	1	3%	2	6%	3	4%
		817	0	3	Carcinoma hepatocelular, SAI	23	58%	12	39%	35	49%
		824	6	3	Carcinoma neuroendocrino, SAI		0%	1	3%	1	1%
		848	1	3	Adenocarcinoma productor de mucina	1	3%		0%	1	1%
		897	0	3	Hepatoblastoma	1	3%		0%	1	1%
		968	0	3	Linfoma maligno difuso tipo B de células grandes, SAI	1	3%		0%	1	1%
Total					40	100%	31	100%	71	100%	
C23	Vesícula biliar	800	1	3	Células tumorales malignas	1	100%		0%	1	6%
		801	0	3	Carcinoma, SAI		0%	2	12%	2	11%
		814	0	3	Adenocarcinoma, SAI		0%	15	88%	15	83%
Total					1	100%	17	100%	18	100%	
C24	Otras y las no especificadas de las vías biliares	800	0	3	Neoplasia maligna	3	27%	1	13%	4	21%
		814	0	3	Adenocarcinoma, SAI	4	36%	6	75%	10	53%
		816	0	3	Colangiocarcinoma	2	18%		0%	2	11%
		816	3	3	Carcinoma de tipo pancreatobiliar	1	9%		0%	1	5%
		826	3	3	Adenocarcinoma en adenoma tubulovelloso	1	9%		0%	1	5%
		848	0	3	Adenocarcinoma mucinoso		0%	1	13%	1	5%
Total					11	100%	8	100%	19	100%	
C25	Páncreas	800	0	3	Neoplasia maligna	4	0,21053	4	19%	8	20%
		800	2	3	Tumor maligno de células pequeñas		0%	1	5%	1	3%
		801	0	3	Carcinoma, SAI		0%	1	5%	1	3%
		802	0	3	Carcinoma indiferenciado, SAI		0%	1	5%	1	3%
		814	0	3	Adenocarcinoma, SAI	9	47%	9	43%	18	45%
		815	0	3	Tumor endocrino pancreático maligno		0%	1	5%	1	3%
		821	1	3	Adenocarcinoma tubular	1	5%		0%	1	3%
		824	6	3	Carcinoma neuroendocrino, SAI	1	5%	1	5%	2	5%
		850	0	3	Carcinoma ductal infiltrante, SAI	3	16%	3	14%	6	15%
		856	0	3	Carcinoma adenoescamoso	1	5%		0%	1	3%
Total					19	100%	21	100%	40	100%	
C26	Otros y los mal definidos de los órganos digestivos	814	0	2	Adenocarcinoma in situ, SAI	3	60%	2	100%	5	71%
		814	0	3	Adenocarcinoma, SAI	2	40%			2	29%
		Total					5	100%	2	100%	7
C30	Fosas nasales y del oído medio	807	1	3	Carcinoma epidermoide, tipo queratinizante, SAI	1	100%	1	25%	2	40%
		814	0	3	Adenocarcinoma, SAI		0%	1	25%	1	20%
		821	0	3	Adenocarcinoma en pólipo adenomatoso		0%	2	50%	2	40%
Total					1	100%	4	100%	5	100%	
C31	Senos paranasales	807	0	3	Carcinoma epidermoide, SAI	1	50%	1	50%	2	50%
		807	1	3	Carcinoma epidermoide, tipo queratinizante, SAI	1	50%	1	50%	2	50%
Total					2	100%	2	100%	4	100%	
C32	Laringe	800	0	3	Neoplasia maligna	3	13%		0%	3	12%
		807	0	3	Carcinoma epidermoide, SAI	9	39%	2	67%	11	42%
		807	1	3	Carcinoma epidermoide, tipo queratinizante, SAI	9	39%	1	33%	10	38%
		807	2	3	Carcinoma epidermoide de células grandes, tipo no queratinizante, SAI	2	9%		0%	2	8%
Total					23	100%	3	100%	26	100%	
C34	Bronquios y pulmón	800	0	3	Neoplasia maligna	9	16%	10	21%	19	18%
		801	0	3	Carcinoma, SAI	3	5%	3	6%	6	6%
		801	2	3	Carcinoma de células grandes, SAI	1	2%	1	2%	2	2%
		803	4	3	Carcinoma de células poligonales	1	2%		0%	1	1%
		804	1	3	Carcinoma de células pequeñas, SAI	3	5%	1	2%	4	4%
		805	0	3	Carcinoma papilar, SAI		0%	1	2%	1	1%
		807	0	2	Carcinoma epidermoide in situ, SAI		0%	1	2%	1	1%
		807	0	3	Carcinoma epidermoide, SAI	3	5%	1	2%	4	4%
		807	1	3	Carcinoma epidermoide, tipo queratinizante, SAI	1	2%	1	2%	2	2%
		Total					23	100%	26	100%	49

CIE-O	Localización topográfica	Morfología			Hombre		Mujer		Total				
					No.	%	No.	%	No.	%			
C34	Bronquios y pulmón	807	2	3	Carcinoma epidermoide de células grandes, tipo no queratinizante, SAI			2	3%	1	2%	3	3%
		814	0	3	Adenocarcinoma, SAI			27	47%	22	47%	49	47%
		824	0	3	Tumor carcinoide, SAI				0%	2	4%	2	2%
		824	6	3	Carcinoma neuroendocrino, SAI			1	2%		0%	1	1%
		825	0	3	Adenocarcinoma bronquiolo-alveolar, SAI			3	5%	1	2%	4	4%
		826	0	3	Adenocarcinoma papilar, SAI			1	2%		0%	1	1%
		826	3	3	Adenocarcinoma en adenoma tubulovelloso				0%	2	4%	2	2%
		849	0	3	Carcinoma de células en anillo de sello			1	2%		0%	1	1%
		880	0	3	Sarcoma, SAI				0%	1	2%	1	1%
		905	0	3	Mesotelioma maligno			2	3%		0%	2	2%
Total					58	100%	48	100%	106	100%			
C38	Corazón, mediastino y la pleura	800	0	3	Neoplasia maligna			5	29%	5	29%	10	29%
		800	1	3	Células tumorales malignas				0%	1	6%	1	3%
		801	0	3	Carcinoma, SAI			1	6%		0%	1	3%
		803	4	3	Carcinoma de células poligonales			1	6%		0%	1	3%
		805	0	3	Carcinoma papilar, SAI				0%	1	6%	1	3%
		814	0	3	Adenocarcinoma, SAI			7	41%	6	35%	13	38%
		889	0	3	Leiomiomasarcoma, SAI			1	6%		0%	1	3%
		905	0	3	Mesotelioma maligno				0%	2	12%	2	6%
		967	1	3	Linfoma maligno linfoplasmocítico			1	6%	1	6%	2	6%
		967	9	3	Linfoma mediastino tipo B de células grandes			1	6%	1	6%	2	6%
Total					17	100%	17	100%	34	100%			
C40	Huesos, Articulaciones y cartílago articular	814	0	3	Adenocarcinoma, SAI				0%	1	13%	1	6%
		880	3	3	Sarcoma de células pequeñas				0%	1	13%	1	6%
		880	5	3	Sarcoma indiferenciado			1	13%		0%	1	6%
		885	4	3	Liposarcoma pleomorfo			1	13%		0%	1	6%
		918	0	3	Osteosarcoma, SAI			5	63%	1	13%	6	38%
		922	0	3	Condrosarcoma, SAI				0%	1	13%	1	6%
		925	0	3	Tumor maligno de células gigantes del hueso				0%	3	38%	3	19%
		926	0	3	Sarcoma de Ewing			1	13%	1	13%	2	13%
		Total					8	100%	8	100%	16	100%	
C41	Huesos, Articulaciones y cartílagos articulares de otros sitios y de los no especificados	800	0	3	Neoplasia maligna			1	13%		0%	1	7%
		801	0	3	Carcinoma, SAI				0%	1	14%	1	7%
		881	0	3	Fibrosarcoma, SAI				0%	1	14%	1	7%
		904	1	3	Sarcoma sinovial, tipo fusocelular			1	13%		0%	1	7%
		918	0	3	Osteosarcoma, SAI				0%	4	57%	4	27%
		922	0	3	Condrosarcoma, SAI				0%	1	14%	1	7%
		937	0	3	Cordoma, SAI			1	13%		0%	1	7%
		973	1	3	Plasmocitoma, SAI			2	25%		0%	2	13%
		975	0	3	Histiocitosis maligna			3	38%		0%	3	20%
Total					8	100%	7	100%	15	100%			

CIE-O	Localización topográfica	Morfología			Hombre		Mujer		Total		
					No.	%	No.	%	No.	%	
C42	Sistema Hematopoyético y reticuloendotelial	800	0	3	Neoplasia maligna	13	10%	6	5%	19	8%
		959	1	3	Linfoma maligno no Hodgkin, SAI	3	2%	3	3%	6	2%
		967	3	3	Linfoma de células del manto	1	1%		0%	1	0%
		967	5	3	Linfoma maligno difuso mixto de células grandes y pequeñas	1	1%	1	1%	2	1%
		968	0	3	Linfoma maligno difuso tipo B de células grandes, SAI	1	1%		0%	1	0%
		968	9	3	Linfoma de células B de zona marginal esplénica	1	1%		0%	1	0%
		969	0	3	Linfoma folicular, SAI		0%	1	1%	1	0%
		973	1	3	Plasmocitoma, SAI	5	4%		0%	5	2%
		973	2	3	Mieloma múltiple	18	14%	19	17%	37	15%
		973	3	3	Leucemia de células plasmáticas	2	2%		0%	2	1%
		980	0	3	Leucemia, SAI	3	2%	1	1%	4	2%
		980	1	3	Leucemia aguda, SAI	2	2%	1	1%	3	1%
		982	0	3	Leucemia linfoide, SAI	1	1%		0%	1	0%
		982	3	3	Leucemia linfocítica crónica de células B / linfoma linfocítico de células pequeñas	8	6%		0%	8	3%
		982	6	3	Leucemia de células de Burkitt	1	1%		0%	1	0%
		982	7	3	Leucemia/linfoma de células T adultas (HTLV-1 positivo)		0%	1	1%	1	0%
		983	5	3	Leucemia linfoblástica de células precursoras, SAI	7	5%	12	11%	19	8%
		983	6	3	Leucemia linfoblástica de células B precursoras	15	11%	11	10%	26	11%
		984	0	3	Leucemia mieloide aguda tipo M6		0%	1	1%	1	0%
		986	0	3	Leucemia mieloide, SAI	3	2%	2	2%	5	2%
		986	1	3	Leucemia mieloide aguda, SAI	7	5%	7	6%	14	6%
		986	3	3	Leucemia mieloide crónica, SAI	6	5%	3	3%	9	4%
		986	6	3	Leucemia promielocítica aguda t(15;17)(q22;q11-12)	1	1%	1	1%	2	1%
		986	7	3	Leucemia mielomonocítica aguda		0%	2	2%	2	1%
		987	5	3	Leucemia mielógena crónica con BCR/ABL positivo	1	1%		0%	1	0%
		989	5	3	Leucemia mieloide aguda con cambios relacionados con mielodisplasia	1	1%		0%	1	0%
		996	0	3	Neoplasia mieloproliferativa, SAI	5	4%	6	5%	11	4%
		996	2	3	Trombocitemia esencial	1	1%	2	2%	3	1%
		998	9	3	Síndrome mielodisplásico, SAI	26	20%	32	29%	58	24%
		Total					133	100%	112	100%	245
C44	Piel	800	0	3	Neoplasia maligna	3	1%	6	2%	9	1%
		801	0	2	Carcinoma in situ, SAI	1	0%	2	1%	3	0%
		801	0	3	Carcinoma, SAI	3	1%	1	0%	4	1%
		803	2	3	Carcinoma de células fusiformes, SAI	1	0%		0%	1	0%
		805	1	3	Carcinoma verrugoso, SAI	2	1%		0%	2	0%
		807	0	2	Carcinoma epidermoide in situ, SAI	6	2%	12	3%	18	2%
		807	0	3	Carcinoma epidermoide, SAI	49	13%	34	9%	83	11%
		807	1	3	Carcinoma epidermoide, tipo queratinizante, SAI	17	4%	11	3%	28	4%
		808	1	2	Enfermedad de Bowen	5	1%	3	1%	8	1%
		809	0	3	Carcinoma basocelular, SAI	247	64%	258	72%	505	68%
		809	1	3	Carcinoma basocelular superficial multifocal	1	0%	4	1%	5	1%
		809	2	3	Carcinoma basocelular infiltrante, SAI	2	1%	2	1%	4	1%
		809	4	3	Carcinoma de células basales y escamosas	1	0%	1	0%	2	0%
		809	7	3	Carcinoma basocelular, tipo nodular	10	3%	13	4%	23	3%
		809	8	3	Carcinoma basal adenoideo	2	1%		0%	2	0%
		814	0	3	Adenocarcinoma, SAI	4	1%		0%	4	1%
		824	7	3	Carcinoma de células de Merkel	1	0%	1	0%	2	0%
		840	1	3	Adenocarcinoma apocrino		0%	1	0%	1	0%
		843	0	3	Carcinoma mucoepidermoide	1	0%		0%	1	0%
		872	0	2	Melanoma in situ	1	0%		0%	1	0%
		872	0	3	Melanoma maligno, SAI	14	4%	14	4%	28	4%
		872	1	3	Melanoma nodular	1	0%		0%	1	0%
		874	4	3	Melanoma maligno lentiginoso acral	2	1%	2	1%	4	1%
		880	0	3	Sarcoma, SAI	1	0%		0%	1	0%
		883	2	3	Dermatofibrosarcoma, SAI	3	1%	3	1%	6	1%
		889	0	3	Leiomiomasarcoma, SAI		0%	1	0%	1	0%
		912	0	3	Hemangiosarcoma		0%	1	0%	1	0%
		914	0	3	Sarcoma de Kaposi	21	5%	2	1%	23	3%
		970	0	3	Micosis fungoide		0%	2	1%	2	0%
		970	9	3	Linfoma cutáneo de células T, SAI	1	0%	1	0%	2	0%
Total					400	100%	375	100%	775	100%	

CIE-O	Localización topográfica				Morfología	Hombre		Mujer		Total	
						No.	%	No.	%	No.	%
C47	Nervios periféricos y sistema nervioso autónomo	800	0	3	Neoplasia maligna		0%	1	33%	1	25%
		880	0	3	Sarcoma, SAI	1	100%		0%	1	25%
		950	0	3	Neuroblastoma, SAI		0%	1	33%	1	25%
		968	0	3	Linfoma maligno difuso tipo B de células grandes, SAI		0%	1	33%	1	25%
	Total					1	100%	3	100%	4	100%
C48	Peritoneo y del retroperitoneo	800	0	3	Neoplasia maligna	1	8%	1	9%	2	9%
		800	1	3	Células tumorales malignas		0%	1	9%	1	4%
		801	0	9	Carcinomatosis		0%	1	8%	1	4%
		814	0	3	Adenocarcinoma, SAI	3	25%		0%	3	13%
		814	4	3	Adenocarcinoma, tipo intestinal		0%	1	9%	1	4%
		846	1	3	Carcinoma papilar de superficie serosa		0%	1	9%	1	4%
		880	0	3	Sarcoma, SAI	1	8%	2	18%	3	13%
		880	2	3	Sarcoma de células gigantes		0%	1	9%	1	4%
		881	0	3	Fibrosarcoma, SAI	1	8%		0%	1	4%
		883	0	3	Histiocitoma fibroso maligno	1	8%		0%	1	4%
		885	1	3	Liposarcoma bien diferenciado	1	8%		0%	1	4%
		885	2	3	Liposarcoma mixoide	1	8%	1	9%	2	9%
		907	1	3	Tumor del saco vitelino		0%	1	9%	1	4%
		959	1	3	Linfoma maligno no Hodgkin, SAI	1	8%		0%	1	4%
	968	0	3	Linfoma maligno difuso tipo B de células grandes, SAI	2	17%	2	18%	4	17%	
Total					12	100%	12	100%	24	100%	
C49	Otros tejidos conjuntivos y blandos	800	0	3	Neoplasia maligna	4	10%	1	5%	5	8%
		814	0	3	Adenocarcinoma, SAI	1	3%		0%	1	2%
		880	0	3	Sarcoma, SAI	1	3%	2	9%	3	5%
		880	1	3	Sarcoma fusocelular, SAI	4	10%	3	14%	7	11%
		880	2	3	Sarcoma de células gigantes	1	3%		0%	1	2%
		880	5	3	Sarcoma indiferenciado	1	3%		0%	1	2%
		881	0	3	Fibrosarcoma, SAI	3	8%		0%	3	5%
		883	0	3	Histiocitoma fibroso maligno	3	8%		0%	3	5%
		883	2	3	Dermatofibrosarcoma, SAI		0%	1	5%	1	2%
		885	0	3	Liposarcoma, SAI	3	8%	1	5%	4	6%
		885	1	3	Liposarcoma bien diferenciado	3	8%	4	18%	7	11%
		885	2	3	Liposarcoma mixoide	2	5%	1	5%	3	5%
		885	4	3	Liposarcoma pleomorfo	2	5%	1	5%	3	5%
		889	0	3	Leiomiomasarcoma, SAI	5	13%	1	5%	6	10%
		904	0	3	Sarcoma sinovial, SAI	2	5%	2	9%	4	6%
		904	4	3	Sarcoma de células claras, SAI	1	3%	1	5%	2	3%
		915	0	3	Hemangiopericitoma maligno		0%	1	5%	1	2%
		926	0	3	Sarcoma de Ewing		0%	1	5%	1	2%
		947	3	3	Tumor neuroectodérmico primitivo, SAI	1	3%		0%	1	2%
		953	0	3	Meningioma maligno	1	3%		0%	1	2%
	965	2	3	Linfoma de Hodgkin, celularidad mixta, SAI	1	3%		0%	1	2%	
968	0	3	Linfoma maligno difuso tipo B de células grandes, SAI	1	3%	1	5%	2	3%		
969	8	3	Linfoma folicular grado 3		0%	1	5%	1	2%		
Total					40	100%	22	100%	62	100%	
C50	Mama	800	0	3	Neoplasia maligna		0%	13	3%	13	3%
		801	0	2	Carcinoma in situ, SAI		0%	1	0%	1	0%
		801	0	3	Carcinoma, SAI		0%	5	1%	5	1%
		805	0	3	Carcinoma papilar, SAI		0%	2	0%	2	0%
		807	0	3	Carcinoma epidermoide, SAI		0%	2	0%	2	0%
		814	0	3	Adenocarcinoma, SAI		0%	3	1%	3	1%
		820	1	3	Carcinoma cribiforme, SAI		0%	1	0%	1	0%
		821	1	3	Adenocarcinoma tubular		0%	2	0%	2	0%
		823	0	3	Carcinoma sólido, SAI		0%	1	0%	1	0%
		848	0	3	Adenocarcinoma mucinoso	1	50%	6	1%	7	1%
		850	0	2	Carcinoma intraductal no infiltrante, SAI		0%	7	1%	7	1%
		850	0	3	Carcinoma ductal infiltrante, SAI	1	50%	419	86%	420	86%
		850	1	2	Comedocarcinoma no infiltrante		0%	1	0%	1	0%
		850	1	3	Comedocarcinoma, SAI		0%	4	1%	4	1%
		850	3	3	Adenocarcinoma papilar intraductal con invasión		0%	2	0%	2	0%
		851	0	3	Carcinoma medular, SAI		0%	5	1%	5	1%
		852	0	2	Carcinoma lobulillar in situ, SAI		0%	1	0%	1	0%
		852	0	3	Carcinoma lobulillar, SAI		0%	17	3%	17	3%
		852	2	3	Carcinoma ductal y lobulillar infiltrante		0%	3	1%	3	1%
	880	2	3	Sarcoma de células gigantes		0%	1	0%	1	0%	
898	0	3	Carcinosarcoma, SAI		0%	1	0%	1	0%		
902	0	3	Tumor filodes maligno		0%	1	0%	1	0%		
Total					2	100%	498	100%	500	100%	

CIE-O	Localización topográfica	Morfología			Hombre		Mujer		Total		
					No.	%	No.	%	No.	%	
C51	Vulva	800	0	3	Neoplasia maligna			1	11%	1	11%
		807	0	3	Carcinoma epidermoide, SAI			5	56%	5	56%
		807	1	3	Carcinoma epidermoide, tipo queratinizante, SAI			1	11%	1	11%
		872	1	3	Melanoma nodular			1	11%	1	11%
		885	0	3	Liposarcoma, SAI			1	11%	1	11%
	Total						9	100%	9	100%	
C52	Vagina	807	0	3	Carcinoma epidermoide, SAI			7	58%	7	58%
		807	2	3	Carcinoma epidermoide de células grandes, tipo no queratinizante, SAI			2	17%	2	17%
		814	0	3	Adenocarcinoma, SAI			2	17%	2	17%
		872	0	3	Melanoma maligno, SAI			1	8%	1	8%
	Total						12	100%	12	100%	
C53	Cuello del útero	800	0	3	Neoplasia maligna			4	2%	4	2%
		801	0	2	Carcinoma in situ, SAI			4	6%	4	6%
		801	0	3	Carcinoma, SAI			4	2%	4	2%
		801	3	3	Carcinoma neuroendocrino de células grandes			1	0%	1	0%
		804	1	3	Carcinoma de células pequeñas, SAI			1	0%	1	0%
		807	0	2	Carcinoma epidermoide in situ, SAI			63	93%	63	93%
		807	0	3	Carcinoma epidermoide, SAI			94	43%	94	43%
		807	1	3	Carcinoma epidermoide, tipo queratinizante, SAI			22	10%	22	10%
		807	2	3	Carcinoma epidermoide de células grandes, tipo no queratinizante, SAI			36	16%	36	16%
		807	3	3	Carcinoma epidermoide de células pequeñas, tipo no queratinizante			2	1%	2	1%
		807	6	3	Carcinoma epidermoide microinvasor			2	1%	2	1%
		814	0	2	Adenocarcinoma in situ, SAI			1	1%	1	1%
		814	0	3	Adenocarcinoma, SAI			45	20%	45	20%
		826	0	3	Adenocarcinoma papilar, SAI			1	0%	1	0%
		826	2	3	Adenocarcinoma vellosos			1	0%	1	0%
		838	0	3	Adenocarcinoma endometrioide, SAI			5	2%	5	2%
		850	0	3	Carcinoma ductal infiltrante, SAI			1	0%	1	0%
856	0	3	Carcinoma adenoescamoso			1	0%	1	0%		
889	0	3	Leiomiomasarcoma, SAI			1	0%	1	0%		
	Total						289	100%	289	100%	
C54	Cuerpo del útero	801	0	3	Carcinoma, SAI			4	6%	4	6%
		807	1	3	Carcinoma epidermoide, tipo queratinizante, SAI			1	1%	1	1%
		814	0	3	Adenocarcinoma, SAI			9	13%	9	13%
		838	0	3	Adenocarcinoma endometrioide, SAI			46	65%	46	65%
		838	2	3	Adenocarcinoma endometrioide, variante secretora			1	1%	1	1%
		856	0	3	Carcinoma adenoescamoso			1	1%	1	1%
		880	1	3	Sarcoma fusocelular, SAI			1	1%	1	1%
		880	3	3	Sarcoma de células pequeñas			1	1%	1	1%
		889	0	3	Leiomiomasarcoma, SAI			1	1%	1	1%
		893	0	3	Sarcoma del estroma endometrial, SAI			2	3%	2	3%
		893	1	3	Sarcoma del estroma endometrial de bajo grado			3	4%	3	4%
		895	0	3	Tumor mülleriano mixto			1	1%	1	1%
	Total						71	100%	71	100%	
C55	Útero, parte no especificada	800	0	3	Neoplasia maligna			3	50%	3	50%
		807	0	3	Carcinoma epidermoide, SAI			1	17%	1	17%
		807	2	3	Carcinoma epidermoide de células grandes, tipo no queratinizante, SAI			1	17%	1	17%
		889	0	3	Leiomiomasarcoma, SAI			1	17%	1	17%
	Total						6	100%	6	100%	

CIE-O	Localización topográfica	Morfología			Hombre		Mujer		Total		
					No.	%	No.	%	No.	%	
C56	Ovario	800	0	3	Neoplasia maligna			4	5%	4	5%
		801	3	3	Carcinoma neuroendocrino de células grandes			1	1%	1	1%
		805	0	3	Carcinoma papilar, SAI			1	1%	1	1%
		807	0	3	Carcinoma epidermoide, SAI			2	3%	2	3%
		814	0	3	Adenocarcinoma, SAI			1	1%	1	1%
		814	1	3	Adenocarcinoma escirro			1	1%	1	1%
		826	0	3	Adenocarcinoma papilar, SAI			1	1%	1	1%
		838	0	3	Adenocarcinoma endometriode, SAI			5	6%	5	6%
		844	0	3	Cistadenocarcinoma, SAI			1	1%	1	1%
		844	1	3	Cistadenocarcinoma seroso, SAI			6	8%	6	8%
		845	0	3	Cistadenocarcinoma papilar, SAI			12	16%	12	16%
		846	0	3	Cistadenocarcinoma seroso papilar			17	22%	17	22%
		846	1	3	Carcinoma papilar de superficie serosa			3	4%	3	4%
		847	0	3	Cistadenocarcinoma mucinoso, SAI			6	8%	6	8%
		847	1	3	Cistadenocarcinoma mucinoso papilar			2	3%	2	3%
		848	0	3	Adenocarcinoma mucinoso			3	4%	3	4%
		849	0	3	Carcinoma de células en anillo de sello			2	3%	2	3%
		862	0	3	Tumor maligno de células de la granulosa			1	1%	1	1%
		906	0	3	Disgerminoma			1	1%	1	1%
		906	4	3	Germinoma			3	4%	3	4%
907	1	3	Tumor del saco vitelino			1	1%	1	1%		
908	0	3	Teratoma maligno, SAI			2	3%	2	3%		
968	0	3	Linfoma maligno difuso tipo B de células grandes, SAI			1	1%	1	1%		
	Total							77	100%	77	100%
C57	Otros órganos Genitales Femeninos y los no especificados	800	0	3	Neoplasia maligna			1	25%	1	25%
		814	0	3	Adenocarcinoma, SAI			2	50%	2	50%
		889	0	3	Leiomiocarcinoma, SAI			1	25%	1	25%
	Total							4	100%	4	100%
C60	Pene	801	0	3	Carcinoma, SAI	1	6%			1	6%
		807	0	2	Carcinoma epidermoide in situ, SAI	2	67%			2	67%
		807	0	3	Carcinoma epidermoide, SAI	11	69%			11	69%
		807	1	3	Carcinoma epidermoide, tipo queratinizante, SAI	3	19%			3	19%
		808	0	2	Eritroplasia de Queyrat	1	33%			1	33%
		891	0	3	Rabdomiosarcoma embrionario	1	6%			1	6%
			Total				19	100%			19
C61	Glándula Prostática	800	0	3	Neoplasia maligna	12	5%			12	5%
		814	0	3	Adenocarcinoma, SAI	223	90%			223	90%
		849	0	3	Carcinoma de células en anillo de sello	1	0%			1	0%
		855	0	3	Carcinoma de células acinosas	11	4%			11	4%
			Total				247	100%			247
C62	Testículos	800	0	3	Neoplasia maligna	1	3%			1	3%
		801	0	3	Carcinoma, SAI	1	3%			1	3%
		814	0	2	Adenocarcinoma in situ, SAI	1	3%			1	3%
		814	0	3	Adenocarcinoma, SAI	1	3%			1	3%
		906	1	3	Seminoma, SAI	13	43%			13	43%
		907	0	3	Carcinoma embrionario, SAI	4	13%			4	13%
		907	1	3	Tumor del saco vitelino	1	3%			1	3%
		908	0	3	Teratoma maligno, SAI	4	13%			4	13%
		908	5	3	Tumor mixto de células germinales	3	10%			3	10%
		910	0	3	Coriocarcinoma, SAI	1	3%			1	3%
	Total				30	100%			30	100%	
C63	Otros órganos genitales masculinos y los no especificados	880	0	3	Sarcoma, SAI	1	100%			1	100%
			Total				1	100%			1
C64	Riñón, excepto de la pelvis renal	800	0	3	Neoplasia maligna	3	5%	3	10%	6	7%
		801	0	3	Carcinoma, SAI	3	5%		0%	3	3%
		812	0	3	Carcinoma de células transicionales, SAI		0%	1	3%	1	1%
		813	0	3	Carcinoma papilar de células transicionales		0%	1	3%	1	1%
		814	0	3	Adenocarcinoma, SAI	1	2%		0%	1	1%
		826	0	3	Adenocarcinoma papilar, SAI	2	3%		0%	2	2%
		831	0	3	Adenocarcinoma de células claras, SAI	11	19%	3	10%	14	16%
		831	2	3	Carcinoma de células renales, SAI	36	61%	19	63%	55	62%
		896	0	3	Nefroblastoma, SAI	3	5%	3	10%	6	7%
	Total				59	100%	30	100%	89	100%	
C66	Uréter	800	0	3	Neoplasia maligna			1	100%	1	100%
			Total					1	100%	1	100%

CIE-O	Localización topográfica	Morfología			Hombre		Mujer		Total		
					No.	%	No.	%	No.	%	
C67	Vejiga urinaria	805	0	3	Carcinoma papilar, SAI	2	6%	1	8%	3	7%
		807	0	3	Carcinoma epidermoide, SAI		0%	1	8%	1	2%
		807	1	3	Carcinoma epidermoide, tipo queratinizante, SAI	1	3%		0%	1	2%
		812	0	3	Carcinoma de células transicionales, SAI	13	39%	2	17%	15	33%
		812	2	3	Carcinoma de células transicionales, tipo fusocelular	1	3%		0%	1	2%
		813	0	3	Carcinoma papilar de células transicionales	14	42%	6	50%	20	44%
		814	0	3	Adenocarcinoma, SAI	2	6%	1	8%	3	7%
		848	0	3	Adenocarcinoma mucinoso		0%	1	8%	1	2%
	Total				33	100%	12	100%	45	100%	
C68	Otros órganos urinarios y no especificados	800	0	3	Neoplasia maligna	1	50%	1	100%	2	67%
		813	0	3	Carcinoma papilar de células transicionales	1	50%		0%	1	33%
			Total				2	100%	1	100%	3
C69	Ojo y sus anexos	807	0	2	Carcinoma epidermoide in situ, SAI			2	100%	2	100%
		807	0	3	Carcinoma epidermoide, SAI	3	25%	1	20%	4	24%
		807	1	3	Carcinoma epidermoide, tipo queratinizante, SAI	3	25%		0%	3	18%
		807	6	3	Carcinoma epidermoide microinvasor	1	8%		0%	1	6%
		872	0	3	Melanoma maligno, SAI	3	25%		0%	3	18%
		877	3	3	Melanoma de células fusiformes, tipo A		0%	1	20%	1	6%
		951	0	3	Retinoblastoma, SAI	2	17%	2	40%	4	24%
		971	9	3	Linfoma de células NK/T, nasal y de tipo nasal		0%	1	20%	1	6%
	Total				12	100%	7	100%	19	100%	
C70	Meninges	800	0	3	Neoplasia maligna	1	50%		0%	1	33%
		953	0	3	Meningioma maligno	1	50%	1	100%	2	67%
			Total				2	100%	1	100%	3
C71	Encéfalo	800	0	3	Neoplasia maligna	14	23%	5	12%	19	19%
		938	2	3	Glioma mixto	1	2%		0%	1	1%
		939	1	3	Ependimoma, SAI		0%	2	5%	2	2%
		940	0	3	Astrocitoma, SAI	8	13%	12	29%	20	20%
		940	1	3	Astrocitoma anaplásico	5	8%	4	10%	9	9%
		942	0	3	Astrocitoma fibrilar	6	10%	2	5%	8	8%
		942	4	3	Xantastrocitoma pleomorfo		0%	1	2%	1	1%
		944	0	3	Glioblastoma	13	22%	6	14%	19	19%
		944	2	3	Gliosarcoma	1	2%		0%	1	1%
		945	0	3	Oligodendroglioma, SAI	2	3%		0%	2	2%
		945	1	3	Oligodendroglioma anaplásico	4	7%		0%	4	4%
		947	0	3	Meduloblastoma, SAI	2	3%	3	7%	5	5%
		947	1	3	Meduloblastoma nodular desmoplásico	1	2%		0%	1	1%
		947	3	3	Tumor neuroectodérmico primitivo, SAI		0%	1	2%	1	1%
		947	4	3	Meduloblastoma de células grandes	1	2%	1	2%	2	2%
		953	0	3	Meningioma maligno	2	3%	2	5%	4	4%
		953	8	3	Meningioma papilar		0%	1	2%	1	1%
		956	0	3	Neurilemoma maligno		0%	1	2%	1	1%
967	0	3	Linfoma maligno de linfocitos B pequeños, SAI		0%	1	2%	1	1%		
	Total				60	100%	42	100%	102	100%	
C72	Médula espinal y sistema nervioso central	800	0	3	Neoplasia maligna	1	50%			1	50%
		968	8	3	Linfoma tipo B de células grandes, rico en células T/histiocitos	1	50%			1	50%
			Total				2	100%			2
C73	Glándula tiroides	800	0	3	Neoplasia maligna	1	3%	2	1%	3	2%
		801	0	3	Carcinoma, SAI	2	6%	1	1%	3	2%
		805	0	3	Carcinoma papilar, SAI	3	9%	23	15%	26	14%
		807	0	3	Carcinoma epidermoide, SAI	1	3%		0%	1	1%
		814	0	3	Adenocarcinoma, SAI	1	3%		0%	1	1%
		826	0	3	Adenocarcinoma papilar, SAI	17	53%	111	70%	128	67%
		833	0	3	Adenocarcinoma folicular, SAI		0%	2	1%	2	1%
		834	0	3	Carcinoma papilar, variante folicular	7	22%	15	9%	22	12%
		834	7	3	Carcinoma mixto medular-papilar		0%	1	1%	1	1%
		843	0	3	Carcinoma mucoepidermoide		0%	1	1%	1	1%
		851	0	3	Carcinoma medular, SAI		0%	1	1%	1	1%
		966	3	3	Linfoma de Hodgkin tipo esclerosis nodular, SAI		0%	1	1%	1	1%
	Total				32	100%	158	100%	190	100%	
C74	Glándula suprarrenal (Adrenal)	837	0	3	Carcinoma de la corteza suprarrenal		0%	1	100%	1	50%
		959	1	3	Linfoma maligno no Hodgkin, SAI	1	100%		0%	1	50%
			Total				1	100%	1	100%	2

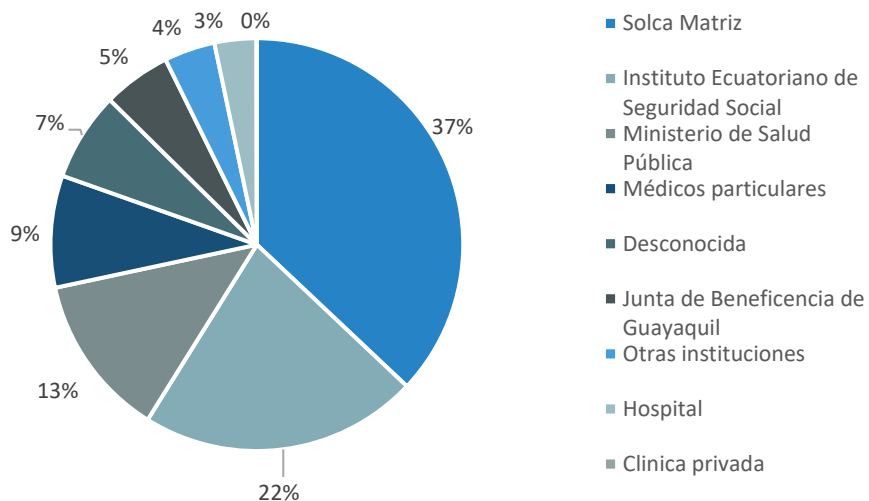
CIE-O	Localización topográfica	Morfología			Hombre		Mujer		Total		
					No.	%	No.	%	No.	%	
C76	Otros sitios y de los sitios mal definidos	800	0	3	Neoplasia maligna	2	25%	5	38%	7	33%
		809	0	3	Carcinoma basocelular, SAI	1	13%	1	8%	2	10%
		814	0	3	Adenocarcinoma, SAI	1	13%	3	23%	4	19%
		824	6	3	Carcinoma neuroendocrino, SAI	1	13%		0%	1	5%
		826	0	3	Adenocarcinoma papilar, SAI		0%	1	8%	1	5%
		849	0	3	Carcinoma de células en anillo de sello	1	13%		0%	1	5%
		883	0	3	Histiocitoma fibroso maligno	1	13%		0%	1	5%
		885	2	3	Liposarcoma mixoide		0%	1	8%	1	5%
		885	8	3	Liposarcoma indiferenciado	1	13%		0%	1	5%
		967	0	3	Linfoma maligno de linfocitos B pequeños, SAI		0%	1	8%	1	5%
968	0	3	Linfoma maligno difuso tipo B de células grandes, SAI		0%	1	8%	1	5%		
	Total				8	100%	13	100%	21	100%	
C77	Ganglios linfáticos	800	0	3	Neoplasia maligna	3	4%	4	6%	7	5%
		801	0	3	Carcinoma, SAI		0%	1	1%	1	1%
		807	0	3	Carcinoma epidermoide, SAI	2	3%		0%	2	1%
		914	0	3	Sarcoma de Kaposi	1	1%		0%	1	1%
		959	0	3	Linfoma maligno, SAI	5	7%	6	9%	11	8%
		959	1	3	Linfoma maligno no Hodgkin, SAI	11	15%	7	10%	18	13%
		965	0	3	Linfoma de Hodgkin, SAI	1	1%	2	3%	3	2%
		965	2	3	Linfoma de Hodgkin, celularidad mixta, SAI	7	9%	6	9%	13	9%
		966	3	3	Linfoma de Hodgkin tipo esclerosis nodular, SAI	9	12%	8	12%	17	12%
		966	4	3	Linfoma de Hodgkin, esclerosis nodular, fase celular	1	1%		0%	1	1%
		966	5	3	Linfoma de Hodgkin, esclerosis nodular, grado 1	1	1%	2	3%	3	2%
		966	7	3	Linfoma de Hodgkin, esclerosis nodular, grado 2		0%	1	1%	1	1%
		967	0	3	Linfoma maligno de linfocitos B pequeños, SAI	3	4%	1	1%	4	3%
		967	1	3	Linfoma maligno linfoplasmocítico		0%	1	1%	1	1%
		967	5	3	Linfoma maligno difuso mixto de células grandes y pequeñas	1	1%	1	1%	2	1%
		968	0	3	Linfoma maligno difuso tipo B de células grandes, SAI	20	27%	19	28%	39	27%
		968	7	3	Linfoma de Burkitt, SAI		0%	2	3%	2	1%
		969	0	3	Linfoma folicular, SAI	4	5%	1	1%	5	3%
		969	1	3	Linfoma folicular, grado 2	3	4%	1	1%	4	3%
		969	5	3	Linfoma folicular grado 1	1	1%	2	3%	3	2%
969	9	3	Linfoma de células B de zona marginal, SAI		0%	2	3%	2	1%		
970	5	3	Linfoma de células T angioinmunoblástico	1	1%	1	1%	2	1%		
971	9	3	Linfoma de células NK/T, nasal y de tipo nasal		0%	1	1%	1	1%		
972	7	3	Linfoma linfoblástico de células precursoras, SAI	1	1%		0%	1	1%		
	Total				75	100%	69	100%	144	100%	
C80	Sitio primario desconocido	800	0	3	Neoplasia maligna	4	80%	3	100%	7	88%
		801	0	6	Carcinoma metastásico, SAI	2	17%	6	33%	8	27%
		807	0	6	Carcinoma metastásico de células escamosas, SAI	1	8%	1	6%	2	7%
		814	0	6	Adenocarcinoma metastásico, SAI	9	75%	11	61%	20	67%
		848	1	3	Adenocarcinoma productor de mucina	1	20%		0%	1	13%
	Total				17	100%	21	100%	38	100%	
	Total general				1762	100%	2350	100%	4112	100%	

INCIDENCIA DE CÁNCER DETERMINADO POR INSTITUCIÓN Y POR SEXO

INSTITUCIÓN	HOMBRE		MUJER		TOTAL	
	CASOS	PORCENTAJE	CASOS	PORCENTAJE	CASOS	PORCENTAJE
Solca Matriz	570	32,35%	953	40,55%	1523	37,04%
Instituto Ecuatoriano de Seguridad Social	439	24,91%	459	19,53%	898	21,84%
Ministerio de Salud Pública	180	10,22%	345	14,68%	525	12,77%
Médicos particulares	173	9,82%	188	8,00%	361	8,78%
Desconocida	142	8,06%	144	6,13%	286	6,96%
Junta de Beneficencia de Guayaquil	103	5,85%	116	4,94%	219	5,33%
Otras instituciones	76	4,31%	88	3,74%	164	3,99%
Hospital	79	4,48%	56	2,38%	135	3,28%
Clinica privada		0,00%	1	0,04%	1	0,02%
Total general	1762	100%	2350	100%	4112	100%

Fuente: Registro de tumores SOLCA – Guayaquil

Gráfico de Incidencias por Instituciones



Fuente: Registro de tumores SOLCA – Guayaquil

TRABAJOS, PÓSTERES Y CONTRIBUCIONES CIENTÍFICAS REALIZADAS

ARTÍCULOS:

Real-Cotto Jhony Joe; Quinto-Briones Rina Mariuxi; Tanca-Campozano Juan Pablo; Puga-Peña Gonzalo Rafael; Jaramillo-Feijoo Leyda Elizabeth. 2022. Aspectos epidemiológicos del tumor maligno de la glándula tiroides en Guayaquil, período 2001 – 2015. Revista cubana de medicina general integral. VOLUMEN 38, NÚMERO 1, enero-marzo de 2022

Real-Cotto Jhony Joe, Jaramillo-Feijoo Leyda Elizabeth, Real-Roby Roddy Andrés; Ordoñez-Sánchez Joe Luis. 2021. Aspectos epidemiológicos de tumores malignos atendidos en el hospital de Solca - Guayaquil, periodo 2015 – 2019. Journal of health an medical sciences. Revista de la Facultad de ciencias de la Salud de la Universidad de Tarapacá, Chile. Volumen 7, Fascículo 4: 239-243, 2021.

Real-Cotto Jhony Joe; Tanca-Campozano Juan Pablo; Jaramillo-Feijoo Leyda Elizabeth, Puga-Peña Gonzalo Rafael; Quinto-Briones Rina Mariuxi. 2021. Caracterización epidemiológica de las Neoplasias del Tejido Hematopoyético y Linfóide atendidos en el Instituto Oncológico Nacional-SOLCA Guayaquil. Revista Oncológica SOLCA Guayaquil. Vol. 31 Núm. 1 (2021): Abril del 2021

Real-Cotto Jhony Joe; Jaramillo-Feijoo Leyda Elizabeth; Tanca-Campozano Juan Pablo; Puga-Peña Gonzalo Rafael; Quinto-Briones Rina Mariuxi; Roha-Ochoa Ana Carolina. Incidencia y mortalidad del cáncer de piel no melanoma en Guayaquil. 2020. Journal of health an medical sciences. Revista de la Facultad de ciencias de la Salud de la Universidad de Tarapacá, Chile. Volumen 6, Fascículo 4: 277-281, 2020.

Jhony Joe Real Cotto; Leyda Elizabeth Jaramillo Feijoo; Rina Mariuxi Quinto Briones; Roddy Andrés Real Roby. Journal of Science and Research: Revista Ciencia e Investigación. Universidad Técnica de Babahoyo, Ecuador. VOL. 5 NÚM. CININGEC (2020). I Congreso internacional de investigación, innovación y gestión del conocimiento, 433 - 442.

Jaramillo-Feijoo Leyda Elizabeth; Quinto-Briones Rina Mariuxi; Tanca-Campozano Juan Pablo; Puga-Peña Gonzalo Rafael; Real-Cotto Jhony Joe. 2020. Incidencia y mortalidad del cáncer en hospital SOLCA – Guayaquil. Journal of health an medical sciences. Revista de la Facultad de ciencias de la Salud de la Universidad de Tarapacá, Chile. Volumen 6, Fascículo 3, julio - septiembre 2020

Jaramillo-Feijoo Leyda Elizabeth; Galindo-Villardón María Purificación; Real-Cotto Jhony Joe; González-Rugel José Luis, Idrovo-Madeco Segundo Enrique. 2020. "Clúster espacial de mortalidad por cáncer de mama en Ecuador". Revista de la Facultad de ciencias de la Salud de la Universidad de Tarapacá, Chile. Volumen 6, Fascículo 1, 2020

Jaramillo-Feijoo Leyda, Galindo-Villardón Purificación, Real-Cotto Jhony. 2020. Análisis clúster para Big data: una aplicación con variables demográficas en provincias del Ecuador. Journal of health an medical sciences. Revista de la Facultad de ciencias de la Salud de la Universidad de Tarapacá, Chile. Volumen 6, Fascículo 1, 2020

Tanca-Campozano Juan; Puga-Peña Gonzalo; Quinto-Briones Rina, Real-Cotto Jhony; Jaramillo-Feijoo Leyda. 2019. Mortalidad y años de vida potencialmente perdidos en cáncer de mama y cérvix en Guayaquil. Revista Ecuatoriana de Ciencia, Tecnología e Innovación en Salud Pública. Revista electrónica. Volumen 3, número 1, enero - junio de 2019

Real-Cotto Jhony Joe; Quinto-Briones Rina Mariuxi; Tanca-Campozano Juan Pablo; Puga-Peña Gonzalo Rafael; Jaramillo-Feijoo Leyda Elizabeth. 2018. "Incidencia de cáncer en hospital de SOLCA Guayaquil" 2013-2017". Revista cubana de medicina general integral. Volumen 35, número 2, abril - junio de 2019

Allemani C., et. al (2018). Global surveillance of trends in cancer survival 2000–2014 (CONCORD-3): analysis of individual records for 37 513 025 patients diagnosed with one of 18 cancers from 322 population-based registries in 71 countries. Lancet, 1023-1075

Quinto R., (2016). Caracterización del cáncer infantil en la región de Guayas-Ecuador: Un enfoque multivariante. Maestría en Análisis avanzado de datos multivariantes (Tesis no publicada). Universidad de Salamanca, Salamanca-España.

Allemani C., et. al (2015). Global surveillance of cancer survival 1995-2009: analysis of individual data for 25'676.887 patients from 279 population-based registries in 67 countries (CONCORD-2). Lancet, 977-1010.

PÓSTERES:

Jaramillo L., Roha A., Jaramillo A., Quinto R., Real J., (2018, noviembre). Spatial distribution of the most frequent cancers in Guayaquil. Presentado en la 40th IACR Annual Scientific Conference, Arequipa-Perú.

Quinto R., Jaramillo L., Real J., (noviembre 2018). Pediatric cancer incidence in SOLCA Guayaquil, 2000-2017. Presentado en la 40th IACR Annual Scientific Conference, Arequipa-Perú.

Quinto R., Jaramillo L., Real J., (noviembre 2018). Epidemiological profile of cancer in Guayaquil, 2008-2012. Presentado en la 40th IACR Annual Scientific Conference, Arequipa-Perú.

La información de los trabajos y pósteres realizados con datos de los registros de cáncer de base poblacional y hospitalaria, lo pueden encontrar visitando el siguiente link: www.estadisticas.med.ec